

دانشگاه صنعتی امیرکبیر

دانشکده مهندسی کامپیوتر و فناوری اطلاعات

گزارش فنی

بررسی شبکه باور عمیق و ارائه یک جعبه ابزار شیء گرا در  
**(DeeBNet Ver2.1) MATLAB**

نگارش:

محمدعلی کیوانراد

استاد راهنما:

دکتر محمد مهدی همایون پور

مرداد سال ۱۳۹۴

بِسْمِ اللَّهِ الرَّحْمَنِ الرَّحِيمِ

همواره دسته‌بندی و استخراج ویژگی از مهمترین مسائل مطرح در هوش مصنوعی بوده‌اند. استخراج ویژگی مرحله‌ای است که در آن از داده خام اولیه مانند صوت و تصویر، بردارهای ویژگی برای مقاصدی چون دسته‌بندی استخراج می‌شود. امروزه شبکه‌های باور عمیق ابزاری هستند که هم در یادگیری ویژگی و هم در طبقه‌بندی داده‌ها بکار گرفته می‌شوند.

مطالعات انجام شده نشان داده‌اند که شبکه‌های باور عمیق در لایه‌های خود می‌توانند به ویژگی‌هایی مشابه آنچه در لایه‌های مختلف مغز استخراج می‌شود، دست یابند. نتایج نشان داده شده در مقالات حاکی از آن است که این شبکه‌ها در حوزه صوت و گفتار دارای نتایج خوبی در یادگیری ویژگی و طبقه‌بندی هستند به طوری که قادرند با بهترین ویژگی‌های موجود در این حوزه و الگوریتم‌های یادگیری رقابت کنند. در مواردی که داده برچسب خورده کمی، در اختیار باشد و یا در کاربردهای جدید صوت و گفتار مثل تعیین نوع موسیقی و رخداد‌های صوتی وارد شویم، شبکه‌های باور عمیق برتری قابل توجهی نسبت به بقیه روش‌ها از خود نشان می‌دهند.

شبکه‌های باور عمیق از لایه‌هایی به نام ماشین بولتزمن محدود ساخته شده‌اند. در کنار کارهای زیادی که در راستای بهبود شبکه‌های باور عمیق صورت گرفته است، دستیابی به یک روش آموزش مناسب برای این نوع شبکه‌ها یک چالش مهم محسوب شده و بسیاری از مقالات به این موضوع مهم پرداخته‌اند.

از جمله این مشکلات در آموزش شبکه‌های باور عمیق، محاسبه گرادیان لگاریتم احتمال داده آموزشی است. با توجه به تعریف لگاریتم احتمال داده آموزشی، استفاده از روش‌های معمول در محاسبه گرادیان محاسبه پذیر نبوده و لذا روش‌های تخمین با کمک نمونه‌برداری از توزیع مدل مورد توجه قرار گرفته‌اند. در ادامه این گزارش به بررسی چندین روش نمونه‌برداری برای محاسبه تخمینی گرادیان نیز پرداخته شده است.

بعد از این توضیح شبکه‌های باور عمیق، جعبه ابزار شی گرای نوشته شده به نام **Deep Belief** (DeeBNet) در نرم‌افزار **MATLAB** توضیح داده شده و نمونه‌هایی از خروجی توابع و کلاس‌های ساخته شده برای آن، نمایش داده شده است. با کمک این جعبه ابزار علاوه بر امکان ساخت یک مدل به صورت مولد که امکان تولید داده از روی مدل را فراهم می‌کند، می‌توان از آن به صورت تمایزی نیز استفاده نمود که دقت بسیار بالایی را در دسته‌بندی دادگان معروف **MNIST** نشان می‌دهد که تمامی کدهای نمونه برای رسیدن به این دقت و همچنین تولید مجدد داده‌ها از روی مدل و چندین کاربرد دیگر، به همراه جعبه ابزار ارائه شده است.

در این جعبه ابزار سعی شده است تا بسیاری از انواع **RBM** که در مقالات مختلف به آن پرداخته شده است، پیاده‌سازی و تست گردد. همچنین استفاده از شی‌گرایی در این جعبه ابزار باعث شده تا امکان استفاده مجدد از کدها بسیار بالا رفته و همچنین اصلاح و یا توسعه جعبه‌ابزار بسیار راحت و سریع باشد.

کلمات کلیدی: شبکه‌های باور عمیق، ماشین بولتزمن محدود، یادگیری ویژگی، تنک‌سازی، پردازش صوت و

گفتار

## فهرست علائم اختصاری

علائم اختصاری مورد استفاده در این گزارش در جدول ذیل لیست شده‌اند. واژه‌نامه‌ای نیز در انتهای گزارش ارائه شده است که در آن معادل انگلیسی اصطلاحات و کلمات مهم این پیشنهاد رساله قید گردیده است.

Boltzmann Machine	BM
Contrastive Divergence	CD
Convolutional Deep Belief Network	CDBN
Convolutional RBM	CRBM
Deep Belief Network	DBN
Discriminative RBM	DRBM
Fast Persistent Contrastive Divergence	FPCD
Markov Random Field	MRF
Maximum A Posteriori probability estimate	MAP
Neural Network	NN
Persistent Contrastive Divergence	PCD
Persistent Contrastive Divergence with Partial Smoothing	PCD PS
Principal Component Analysis	PCA
Restricted Boltzmann Machine	RBM
Stochastic Maximum Likelihood	SML

## فهرست نمادها

نمادهای مورد استفاده در این گزارش در جدول ذیل لیست شده‌اند.

$X$	ماتریس بردارهای آموزشی
$x$	بردار داده آموزشی
$y$	برچسب (کلاس) داده آموزشی
$v$	بردار واحدهای مشاهده‌پذیر
$h$	بردار واحدهای مخفی
$L$	ماتریس وزن اتصالات بین واحدهای مشاهده‌پذیر با مشاهده‌پذیر
$J$	ماتریس وزن اتصالات بین واحدهای مخفی با مخفی
$W$	ماتریس وزن اتصالات بین واحدهای مشاهده‌پذیر با مخفی
$a$	بردار بایاس واحدهای مشاهده‌پذیر
$b$	بردار بایاس واحدهای مخفی
$E$	مقدار انرژی
$Z$	مقدار ثابت نرمالسازی
$\langle \rangle$	امید ریاضی
$\epsilon$	نرخ یادگیری
$\mathcal{P}$	تابع سیگموئید لاجستیک
$P(v)$	احتمال بردار $v$
$\phi$	لگاریتم احتمال داده آموزشی
$\theta$	پارامترهای مدل
$m$	ضریب ممتنم
$D$	ماتریس عناصر دیکشنری در کدینگ تنک
$\alpha$	بردار ضرایب کدینگ تنک (آلفا)
$g_x$	ابعاد بردار $x$
$\sigma$	انحراف معیار در توزیع گوسی
$p$	ثابت کنترل‌کننده میزان فعالیت واحدهای مخفی ( $p \ll 1$ )
$q$	میزان واقعی فعالیت واحدهای مخفی
$\lambda$	ثابت کنترل‌کننده میزان تاثیر عبارت تنک‌کننده
$I_j$	ورودی واحد $j$ ام

## فهرست مطالب

۱	۱- مقدمه
۳	۲- ماشین بولتزمن محدود و شبکه‌های باور عمیق
۳	۱-۲ ماشین بولتزمن محدود
۷	۱-۱-۲ نحوه محاسبه گرادیان لگاریتم احتمال داده آموزشی
۱۳	۲-۱-۲ ماشین بولتزمن محدود گوسی
۱۶	۳-۱-۲ ماشین بولتزمن محدود با واحدهای نرم بیشینه
۱۶	۴-۱-۲ تنک‌سازی
۲۳	۵-۱-۲ دسته‌بندی به کمک ماشین بولتزمن محدود
۲۷	۲-۲ شبکه‌های باور عمیق
۲۹	۳-۲ جمع‌بندی
۳۱	۳- جعبه‌ابزار DEEBNET برای کار با شبکه‌های باور عمیق
۳۲	۱-۳ کلاس VALUETYPE
۳۳	۲-۳ کلاس RBMTYPE
۳۳	۳-۳ کلاس RBMPARAMETERS
۳۶	۴-۳ بسته DATACLASSES
۳۷	۱-۴-۳ کلاس DataStore
۴۰	۵-۳ بسته SAMPLING CLASSES
۴۰	۱-۵-۳ کلاس SamplingMethodType
۴۰	۲-۵-۳ کلاس Gibbs
۴۲	۳-۵-۳ کلاس Cd
۴۳	۴-۵-۳ کلاس Pcd
۴۴	۵-۵-۳ کلاس FEPcd
۴۵	۶-۵-۳ تابع freeEnergy
۴۵	۷-۵-۳ کلاس Sampling
۴۶	۶-۳ کلاس RBM
۴۷	۷-۳ کلاس GENERATIVERBM
۵۱	۸-۳ کلاس DISCRIMINATIVERBM
۵۴	۹-۳ کلاس SPARSERBM

۵۵	..... SPARSEDISCRIMINATIVE RBM و SPARSEGENERATIVE RBM کلاس ۱۰-۳
۵۵	..... DBN کلاس ۱۱-۳
۶۷	..... کدهای کاربردی دیگر ۱۲-۳
۶۷	..... <i>prepareMNIST</i> تابع ۱-۱۲-۳
۶۷	..... <i>prepareISOLET</i> تابع ۲-۱۲-۳
۶۷	..... <i>prepare20Newsgroups</i> تابع ۳-۱۲-۳
۶۹	..... فهرست مراجع ۴
أ	..... ضمائم ۵
أ	..... ۱-۵ اصلاحات دیگر انجام شده بر روی ماشین بولتزمن محدود
أ	..... ۱-۱-۵ استفاده از دسته‌های کوچک
أ	..... ۲-۱-۵ مقداردهی اولیه وزن‌ها و بایاس
ب	..... ۳-۱-۵ به کارگیری ممتم
ج	..... ۴-۱-۵ تضعیف وزن
د	..... ۵-۱-۵ ماشین بولتزمن محدود کانولوشنال
ح	..... ۲-۵ کدینگ تنک
ط	..... ۳-۵ دادگان
ط	..... ۱-۳-۵ دادگان <i>MNIST</i>
ی	..... ۲-۳-۵ دادگان <i>ISOLET</i>
ی	..... ۳-۳-۵ دادگان <i>20Newsgroups</i>
ک	..... واژه نامه

از سال‌ها پیش استفاده از شبکه‌های عصبی به عنوان یکی از ابزارهای مهم در کاربردهای هوش مصنوعی مطرح بوده است. کاربردهایی همچون تشخیص اشیاء، آنالیز صوت و گفتار و بررسی متون از جمله کاربردهایی است که در آن‌ها از شبکه‌های عصبی استفاده می‌شود. بر اساس دلایل تئوری و بیولوژیکی پیشنهاد می‌شود تا برای چنین سیستم‌هایی از معماری عمیق شامل تعداد زیادی لایه پردازشی غیر خطی استفاده شود.

اما این مدل‌های عمیق دارای لایه‌های زیاد مخفی و تعداد زیادی پارامتر هستند که باید آموزش داده شوند. این پیچیدگی محاسباتی و فضای بزرگ پارامترها موجب شده تا در روش‌های رایج در شبکه‌های عصبی کمتر از لایه‌های با تعداد زیاد استفاده گردد. مشکل تعداد لایه‌های زیاد در این نوع شبکه‌ها، علاوه بر سرعت پایین آموزش، قرار گرفتن در کمینه‌های محلی را به دنبال دارد که در اکثر مواقع ما را به نتیجه مطلوب نمی‌رساند. یکی از ابزارهای موجود برای حل این مشکل استفاده از شبکه‌های باور عمیق یا <sup>۱</sup>DBN است که امکان ساخت شبکه‌هایی با تعداد لایه زیاد را فراهم می‌کند [۱].

استفاده از شبکه‌های باور عمیق نه تنها در کارهای دسته‌بندی قابل استفاده است بلکه بیشتر، از آن به عنوان یک روش استخراج ویژگی استفاده می‌شود. بازنمایی داده یک نقش تعیین‌کننده در اکثر روش‌های یادگیری ماشین دارد. به همین علت بسیاری از کارهای انجام شده در گسترش الگوریتم‌های یادگیری ماشین به سمت پیش پردازش، استخراج ویژگی و یادگیری ویژگی تمایل داشته‌اند. در یادگیری ویژگی سعی می‌شود تا با کمک داده ورودی، سیستمی برای استخراج ویژگی ساخته شده تا از خروجی آن برای دسته‌بندی و کاربردهای دیگر استفاده شود. از مزایای شبکه‌های باور عمیق در یادگیری ویژگی آن است که با کمک داده‌های برجسب نخورده می‌تواند ویژگی‌های سطح بالایی از داده‌های آموزشی را استخراج [۲] و قدرت تمایز بین دسته‌های مختلف در داده‌ها را افزایش دهند [۳].

لایه‌های شبکه‌های باور عمیق از ماشین بولتزمن محدود یا <sup>۲</sup>RBM ساخته شده است که هر ماشین بولتزمن محدود یک مدل احتمالاتی مولد و بدون جهت است که از یک لایه مخفی برای مدل کردن یک توزیع بر روی متغیرهای مشاهده‌پذیر خود استفاده می‌کند. در واقع با روی هم قرار دادن ماشین‌های بولتزمن محدود، می‌توان شبکه‌های باور عمیق را برای پردازش‌های سلسله مراتبی بوجود آورد. لذا بیشتر تغییرات و اصلاحات انجام شده در جهت بهبود این نوع شبکه‌ها در واقع به اصلاح ماشین‌های بولتزمن محدود منتهی می‌گردد. در این گزارش با بررسی شبکه باور عمیق سعی شده است تا تعدادی از اینگونه اصلاحات که به تولید انواع RBM منتهی گردیده

<sup>۱</sup> Deep Belief Network (DBN)

<sup>۲</sup> Restricted Boltzmann Machine (RBM)



است مورد بررسی قرار گیرند. از جمله این اصلاحات می‌توان به روش‌های محاسبه گرادیان لگاریتم احتمال داده آموزشی جهت آموزش مدل، تضعیف وزن، استفاده از واحدهای گوسی، تنک‌سازی و دسته‌بندی به کمک این نوع ماشین‌های بولتزمن محدود اشاره نمود.

بیشترین کارهای انجام شده در حوزه بهبود ماشین‌های بولتزمن محدود مربوط به نحوه یادگیری و ساخت مدل است. یکی از این اصلاحات مربوط به تنک‌سازی ماشین بولتزمن محدود است که در آن سعی می‌شود تا میزان فعالیت واحدهای مخفی تا حد امکان کاهش یابد. مزایای موجود در بازنمایی تنک موجب می‌شود تا این رویکرد در بسیاری از حوزه‌های هوش مصنوعی وارد شود. از مزایای این رویکرد در شبکه‌های باور عمیق می‌توان تعمیم بهتر داده‌های آموزشی، تفسیرپذیری بهتر خروجی‌های آن و بدست آوردن خروجی‌هایی منطبق با خروجی‌های لایه‌های مختلف مغز اشاره نمود.

روش‌های ارائه شده برای بازنمایی تنک را می‌توان در دو روش ارائه شده در [۴], [۲] خلاصه نمود که در واقع هر دو از فاصله بین میانگین فعالیت واحدها از یک مقدار مطلوب، به عنوان معیار فاصله از میزان تنک بودن استفاده می‌کنند (توضیحات بیشتر در بخش ۲-۱-۴).

دومین اصلاح اساسی صورت گرفته در شبکه‌های باور عمیق به نحوه آموزش این شبکه‌ها و محاسبه گرادیان لگاریتم احتمال داده آموزشی مربوط می‌شود. با توجه به تعریف لگاریتم احتمال داده آموزشی، استفاده از روش‌های معمول در محاسبه گرادیان محاسبه‌ناپذیر بوده و لذا به سراغ روش‌های تخمین با کمک نمونه‌برداری از توزیع مدل رفته‌اند. در یکی از این روش‌ها از چندین زنجیره نمونه‌برداری گیبز برای یافتن یک نمونه مناسب از مدل استفاده می‌شود (که در بخش ۲-۱-۱ توضیح داده شده است). در این روش در هنگام اصلاح پارامترها، از نمونه‌های تولید شده توسط این زنجیره‌ها استفاده می‌گردد.

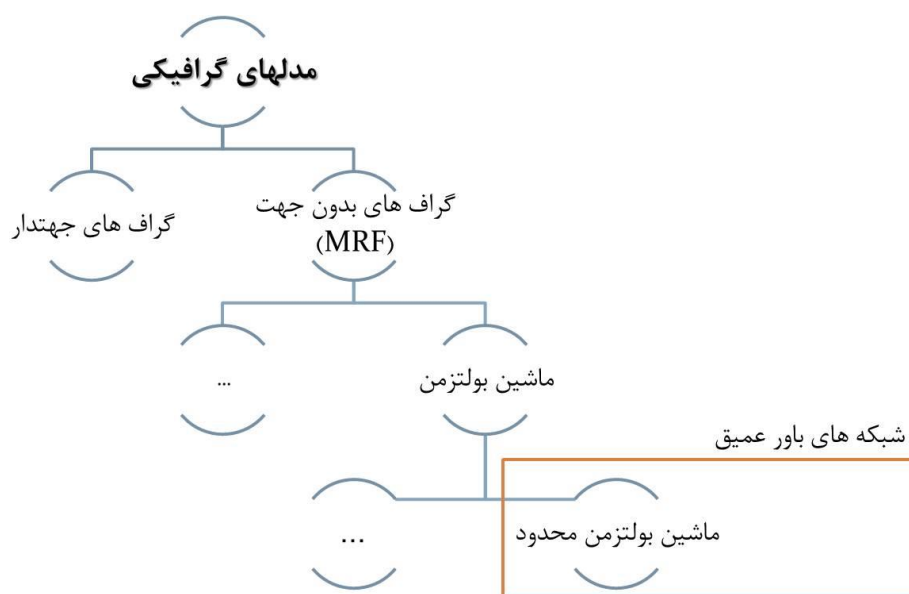
در ادامه این بررسی شبکه‌های باور عمیق، در فصل ۲ به بررسی بیشتر شبکه‌های باور عمیق و انواع اصلاحات انجام شده در آن می‌پردازیم. از آن‌جا که اصلاحات انجام شده بیشتر مربوط به ماشین بولتزمن محدود است لذا در ابتدا این اصلاحات بیان شده و سپس نحوه ترکیب این مدل‌ها برای ساخت شبکه‌های باور عمیق مطرح گردیده است.

فصل ۳ به نحوه استفاده از جعبه ابزار شبکه باور عمیق طراحی شده می‌پردازد. در این قسمت کلاس‌ها و توابع طراحی شده به طور کامل توضیح داده شده است و نمونه‌هایی از نحوه استفاده و همچنین بعضی از خروجی‌ها نیز نمایش داده شده است.

در پایان نیز بعد از ارائه مراجع، در بخش ضمائم روش‌های دیگری در اصلاح ماشین‌های بولتزمن محدود، توضیح مختصری از کدینگ تنک، دادگان ارقام دستنویس (MNIST) و چند تعریف که در این گزارش مورد استفاده قرار گرفته است و بدانها اشاره شده، آورده شده است.

## ۲ - ماشین بولتزمن محدود و شبکه‌های باور عمیق

شبکه‌های باور عمیق از چند لایه ماشین بولتزمن محدود ساخته شده‌اند. ماشین بولتزمن محدود نیز نوعی ماشین بولتزمن است که اتصالات بین واحدهای مخفی و بین واحدهای مشاهده‌پذیر قطع می‌باشد. ماشین بولتزمن نوعی مدل گرافیکی بدون جهت می‌باشد که به آن میدان تصادفی مارکوف یا MRF<sup>۳</sup> می‌گویند. در ادامه ابتدا ماشین بولتزمن محدود و انواع اصلاح شده آن را بیان نموده و سپس نحوه ترکیب آن‌ها برای ساخت شبکه‌های باور عمیق را بیان خواهیم نمود. البته چند اصلاح دیگر موجود در شبکه‌های باور عمیق نیز در که در پیشنهادات به آن اشاره نشده است، در قسمت ضمایم قرار گرفته‌اند.



شکل ۱-۲: شبکه‌های باور عمیق از چند لایه ماشین بولتزمن محدود ساخته شده‌اند. ماشین بولتزمن محدود نیز نوعی ماشین بولتزمن است که اتصالات بین واحدهای مخفی و بین واحدهای مشاهده‌پذیر قطع می‌باشد. ماشین بولتزمن نیز نوعی مدل گرافیکی بدون جهت می‌باشد.

### ۱-۲ ماشین بولتزمن محدود

ماشین‌های بولتزمن<sup>۴</sup> نوع خاصی از میدان‌های تصادفی مارکوف هستند. یک ماشین بولتزمن، شبکه‌ای متقارن با واحدهای تصادفی باینری است. این شبکه دارای مجموعه‌ای از واحدهای قابل مشاهده  $v \in \{0,1\}^{g_v}$  و مجموعه‌ای از واحدهای مخفی  $h \in \{0,1\}^{g_h}$  می‌باشد که  $g_h$  و  $g_v$  به ترتیب تعداد واحدهای مخفی و تعداد واحدهای مشاهده‌پذیر است (شکل ۲-۲). انرژی حالت  $\{v, h\}$  در ماشین بولتزمن به صورت زیر تعریف می‌شود:

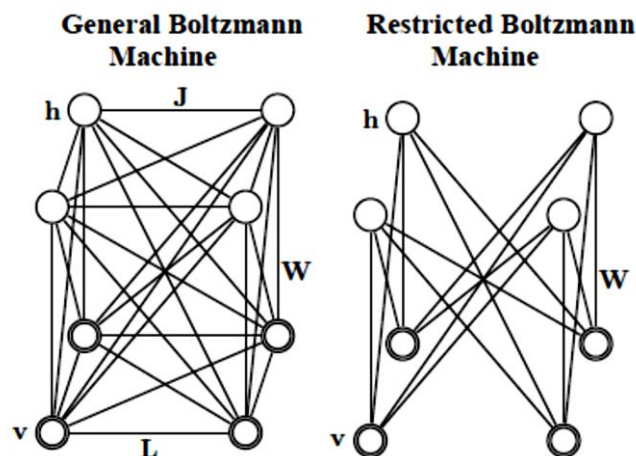
$$E(v, h) = -\frac{1}{2}v^T L v - \frac{1}{2}h^T J h - v^T W h \quad (۱-۲)$$

<sup>۳</sup> Markov Random Field (MRF)

<sup>۴</sup> Boltzmann Machine (BM)

در اینجا برای نمایش ساده‌تر بایاس حذف شده است. پارامترهای  $W$ ،  $L$  و  $J$  به ترتیب نشان‌دهنده وزن‌های متقارن بین واحدهای مشاهده‌پذیر به مخفی، مشاهده‌پذیر به مشاهده‌پذیر و مخفی به مخفی است. عناصر قطری  $L$  و  $J$  برابر صفرند.

به دلیل پیچیدگی موجود در محاسبات ماشین بولتزمن، از نوع ساده‌تری از آن به نام ماشین بولتزمن محدود<sup>۵</sup> استفاده می‌شود. تنظیم  $J = 0$  و  $L = 0$  مدل مشهور ماشین بولتزمن محدود را می‌دهد (تصویر سمت راست شکل ۲-۲).



شکل ۲-۲: سمت چپ: یک ماشین بولتزمن کلی. لایه بالا نشان‌دهنده ویژگی‌های مخفی باینری تصادفی است و لایه پایین نشان‌دهنده بردارهای متغیرهای قابل مشاهده باینری تصادفی است. سمت راست: یک ماشین بولتزمن محدود، بدون اتصالات بین واحدهای مخفی به مخفی و مشاهده‌پذیر به مشاهده‌پذیر. [5]

در ماشین بولتزمن محدود انرژی حالت  $\{v, h\}$  با در نظر گرفتن بایاس برابر است با:

$$E(v, h) = -v^T W h - a^T v - b^T h$$

$$= -\sum_{i=1}^{g_v} \sum_{j=1}^{g_h} W_{ij} v_i h_j - \sum_{i=1}^{g_v} a_i v_i - \sum_{j=1}^{g_h} b_j h_j \quad (2-2)$$

که در آن  $W_{ij}$  نشان‌دهنده ترم تراکشنی متقارن بین واحد مشاهده‌پذیر  $i$  و واحد مخفی  $j$  است،  $a_j$  و  $b_i$  به ترتیب ترم بایاس برای واحد مخفی و مشاهده‌پذیر هستند. این شبکه به هر حالت ممکن مقادیر بردارهای مشاهده‌پذیر و مخفی با تابع انرژی، یک مقدار احتمال نسبت می‌دهد. تعریف توابع پتانسیل در MRF ها و ویژگی مثبت بودن آن، ما را به سمت استفاده از تابع پتانسیل به صورت نمایی و به شکل توزیع بولتزمن هدایت می‌کند. توزیع توام به صورت ضرب توابع پتانسی تعریف می‌گردد که بدین ترتیب انرژی کل با جمع انرژی توابع پتانسیل بدست می‌آید [6]. در نتیجه، توزیع توام بر روی واحدهای قابل مشاهده و مخفی به صورت زیر تعریف می‌شود:

$$P(v, h) = \frac{1}{Z} \exp(-E(v, h)) \quad (3-2)$$

مقدار  $Z$  به عنوان تابع تقسیم یا ثابت نرمال‌سازی شناخته می‌شود که از جمع تمام حالات بردارهای مشاهده‌پذیر و مخفی بدست می‌آید.

<sup>۵</sup> Restricted Boltzmann Machine (RBM)

$$Z = \sum_v \sum_h \exp(-E(v, h)) \quad (۶-۲)$$

مقدار  $Z$  به عنوان تابع تقسیم یا ثابت نرمال سازی شناخته می شود. احتمالی که مدل به بردار قابل مشاهده  $v$  تخصیص می دهد برابر با جمع بر روی تمام حالات ممکن بردارهای مخفی  $h$  می باشد.

$$P(v) = \sum_h P(v, h) = \frac{1}{Z} \sum_h \exp(-E(v, h)) \quad (۵-۲)$$

احتمالی را که شبکه به داده آموزشی نسبت می دهد را می توان با تنظیم وزن ها و بایاس برای رسیدن به انرژی کمتر برای این داده و انرژی بیشتر برای داده های دیگر که باعث تغییر در  $Z$  می شوند، بالا برد. بر این اساس و برای یافتن پارامترهای مناسب، تابع هدف به صورت زیر تعریف می شود:

$$\text{maximize}_{\{w_{ij}, a_i, b_j\}} \frac{1}{m} \sum_{l=1}^m \log \left( \sum_h P(v^{(l)}, h^{(l)}) \right) \quad (۶-۲)$$

که در آن  $m$  تعداد نمونه های آموزشی است و هدف بالا بردن احتمال این مدل برای داده های آموزشی است. بدین منظور با گرفتن مشتق جزئی این عبارت نسبت به  $w_{ij}$  خواهیم داشت [۷]:

$$\begin{aligned} \frac{\partial}{\partial w_{ij}} \left( \frac{1}{m} \sum_{l=1}^m \log \left( \sum_h P(v^{(l)}, h^{(l)}) \right) \right) \\ = \frac{1}{m} \sum_{l=1}^m \sum_h X_{il} h_j P(h|v=x) - \sum_{v'} \sum_{h'} v'_i h'_j P(v', h') \end{aligned} \quad (۷-۲)$$

که در آن  $X_{il}$  نشان دهنده  $i$  امین واحد (یا بعد) از  $l$  امین داده آموزشی است. عبارت اول در مشتق بالا را می توان به طور دقیق محاسبه نمود ولی محاسبه عبارت دوم، امکان پذیر نیست. لذا به سراغ روش های دیگری برای تخمین این مقدار می روند. مشتق لگاریتم احتمال برای داده آموزشی نسبت به وزن های شبکه را می توان به صورت زیر با تخمین محاسبه نمود.

$$\frac{\partial \log P(v)}{\partial w_{ij}} = \langle v_i h_j \rangle_{data} - \langle v_i h_j \rangle_{model} \quad (۸-۲)$$

که در اینجا براکت نشان دهنده محاسبه امید ریاضی بر روی ضرب مقادیر واحد مخفی و مشاهده پذیر مشخص شده است. بدین ترتیب و با داشتن این مقدار مشتق، می توان به سادگی قانون اصلاح وزن ها در لگاریتم احتمال برای داده آموزشی را به صورت زیر بدست آورد.

$$\Delta w_{ij} = \epsilon (\langle v_i h_j \rangle_{data} - \langle v_i h_j \rangle_{model}) \quad (۹-۲)$$

که در آن  $\epsilon$  نرخ یادگیری است. به طور مشابه می توان قانون اصلاح وزن ها در پارامترهای بایاس را نیز نوشت.

$$\Delta a_i = \epsilon (\langle v_i \rangle_{data} - \langle v_i \rangle_{model}) \quad (۱۰-۲)$$

$$\Delta b_j = \epsilon (\langle h_j \rangle_{data} - \langle h_j \rangle_{model}) \quad (۱۱-۲)$$

از آنجا که اتصالات مستقیم بین واحدهای مخفی وجود ندارد، لذا این واحدها به شرط واحدهای مشاهده‌پذیر از هم مستقل می‌شوند. این نکته در واقع از مسائل مربوط به میدان‌های تصادفی مارکوف<sup>۶</sup> گرفته شده است [۶]. بدین ترتیب با داشتن مقدار واحدهای مشاهده‌پذیر  $v$ ، حالت باینری  $h_j$  برای هر واحد مخفی با احتمال زیر مقدار 1 را می‌گیرد.

$$P(h_j = 1 | \mathbf{v}) = \mathcal{G}\left(b_j + \sum_i v_i w_{ij}\right) \quad (۱۲-۲)$$

که در آن  $\mathcal{G}(x)$  تابع سیگموئید لاجستیک با تعریف  $\mathcal{G}(x) = 1/(1 + \exp(-x))$  است. بدین ترتیب محاسبه  $\langle v_i h_j \rangle_{data}$  به راحتی و با بدست آوردن مقادیر  $h_j$  محاسبه می‌شود.

همچنین از آنجا که اتصالات مستقیم بین واحدهای مشاهده‌پذیر وجود ندارد، می‌توان حالت واحدهای مشاهده‌پذیر را به شرط داشتن حالت واحدهای مخفی به صورت زیر بدست آورد.

$$P(v_i = 1 | \mathbf{h}) = \mathcal{G}\left(a_i + \sum_j h_j w_{ij}\right) \quad (۱۳-۲)$$

اما بدست آوردن مقدار  $\langle v_i h_j \rangle_{model}$  کمی پیچیده‌تر می‌باشد. برای محاسبه این مقدار باید از یک مقدار تصادفی در واحدهای مشاهده‌پذیر شروع کرده و نمونه‌برداری گیز را برای مدت طولانی اجرا نماییم. اما به سبب امکانپذیر نبودن این روش و زمان اجرای بالای آن، از روش دیگری به نام واگرایی متقابل<sup>۷</sup> استفاده می‌شود [۸]. در بخش‌های بعدی به نحوه محاسبه این مقدار پرداخته خواهد شد.

### تعریف دیگری از تابع انرژی

در بعضی دیگر از پژوهش‌های مربوط به ماشین بولتزمن محدود از نوع دیگری از تابع انرژی نیز استفاده شده است [۹]، [۲]. در کل تعریف تابع انرژی به شکلی است که به کمک آن مدل به نحوی ساخته شود تا مقدار انرژی برای حالات بدست آمده از توزیع داده‌های آموزشی کم بوده و برای داده‌های غیر محتمل در این مدل، مقدار زیادی داشته باشد. بدین ترتیب تعریف دوم از تابع انرژی به صورت زیر خواهد بود.

$$\begin{aligned} E'(v, h) &= -\frac{1}{\sigma^2} (v^T W h + a^T v + b^T h) \\ &= -\frac{1}{\sigma^2} \left( \sum_{i=1}^{g_v} \sum_{j=1}^{g_h} W_{ij} v_i h_j + \sum_{i=1}^{g_v} a_i v_i + \sum_{j=1}^{g_h} b_j h_j \right) \end{aligned} \quad (۱۴-۲)$$

<sup>۶</sup> Markov Random Field (MRF)

<sup>۷</sup> Contrastive Divergence (CD)

که  $\sigma$  یک مقدار ثابت است و بقیه پارامترها مشابه تعریف قبلی از تابع انرژی است. بر اساس این تعریف احتمالات شرطی واحدهای مشاهده‌پذیر و مخفی نیز به صورت زیر تغییر می‌کنند.

$$P(h_j = 1|\mathbf{v}) = \mathcal{G}\left(\frac{1}{\sigma^2}\left(b_j + \sum_i v_i w_{ij}\right)\right) \quad (15-2)$$

$$P(v_i = 1|\mathbf{h}) = \mathcal{G}\left(\frac{1}{\sigma^2}\left(a_i + \sum_j h_j w_{ij}\right)\right) \quad (16-2)$$

که مشابه قبل،  $\mathcal{G}(x)$  تابع سیگموئید لاجستیک با تعریف  $\mathcal{G}(x) = 1/(1 + \exp(-x))$  است و در بقیه موارد همانند تابع انرژی قبلی عمل می‌کند.

به سبب مزایای ماشین‌های بولتزمن محدود، در سال‌های اخیر استفاده زیادی از این مدل به خصوص در ساخت شبکه‌های باور عمیق شده است. به همین دلیل، در مقالات زیادی نیز سعی در بهبود این مدل و افزایش کارایی آن داشته‌اند. در ادامه قصد داریم تا این بهبودها را در بخش‌های مختلف ساخت ماشین بولتزمن محدود مشاهده نماییم.

## ۱-۲- نحوه محاسبه گرادیان لگاریتم احتمال داده آموزشی

در واقع بر اساس رابطه (۵-۲) می‌توان  $\log P(v)$  را به صورت زیر نوشت [۱۰].

$$\begin{aligned} \phi &= \log P(v) = \phi^+ - \phi^- \\ \phi^+ &= \log \sum_h \exp(-E(v, h)) \end{aligned} \quad (17-2)$$

$$\phi^- = \log Z = \log \sum_v \sum_h \exp(-E(v, h))$$

محاسبه گرادیان  $\phi^+$  نسبت به پارامترهای مدل را گرادیان مثبت و محاسبه گرادیان  $\phi^-$  نسبت به پارامترهای مدل را گرادیان منفی می‌گویند.

$$\begin{aligned} \frac{\partial \phi^+}{\partial w_{ij}} &= v_i \cdot P(h_j = 1|v) \\ \frac{\partial \phi^-}{\partial w_{ij}} &= P(v_i = 1, h_j = 1) \end{aligned} \quad (18-2)$$

نحوه محاسبه گرادیان مثبت به راحتی با مقادیر داده آموزشی قابل محاسبه است اما محاسبه گرادیان منفی محاسبه ناپذیر بوده و لذا در محاسبه گرادیان از روش‌های استنتاج با نمونه‌برداری استفاده می‌کنند.

بر این اساس و با توجه به مطالب گفته شده در بخش‌های قبل مشاهده نمودیم که گرادیان لگاریتم احتمال داده آموزشی از رابطه (۸-۲) بدست می‌آید. برای استفاده از این مقدار گرادیان در اصلاح پارامترهای  $w_{ij}$  بر اساس رابطه (۹-۲) نیاز به محاسبه دو مقدار  $\langle v_i h_j \rangle_{data}$  و  $\langle v_i h_j \rangle_{model}$  می‌باشد. در بسیاری از نوشته‌های مربوط

به ماشین بولترمن محدود، به محاسبه  $\langle v_i h_j \rangle_{data}$  فاز مثبت<sup>۸</sup> و به محاسبه  $\langle v_i h_j \rangle_{model}$  فاز منفی<sup>۹</sup> می‌گویند که متناظر با گرادیان مثبت و گرادیان منفی در رابطه (۱۸-۲) می‌باشد.

نحوه صحیح محاسبه  $\langle v_i h_j \rangle_{data}$  به سبب نبودن اتصالات بین واحدهای مخفی و مستقل شدن این واحدها از یکدیگر، بسیار ساده بوده و با در نظر گرفتن واحدهای مشاهده‌پذیر  $v$  (که با داده آموزشی مقداردهی شده‌اند) و ۱ در نظر گرفتن واحدهای مخفی با احتمال  $P(h_j = 1|v)$  که در رابطه (۱۲-۲) آمده، بدست می‌آید. بدین ترتیب با محاسبه این مقدار احتمال، در صورتی که مقدار یک عدد تصادفی با توزیع یکنواخت در بازه  $[0,1]$  کمتر از اندازه احتمال محاسبه شده باشد، می‌توان این واحد مخفی را روشن (مقدار یک) در نظر گرفت.

اما مشکل اصلی در محاسبه فاز منفی است. در عمل هم تفاوت انواع روش‌های مربوط به محاسبه گرادیان لگاریتم احتمال داده آموزشی (مانند  $CD^{10}$ ،  $PCD^{11}$  و  $FPCD^{12}$ ) از تفاوت در بدست آوردن نمونه‌های مربوط به فاز منفی، ناشی می‌شوند [۱۱].

برای محاسبه  $\langle v_i h_j \rangle_{model}$  می‌توان از روش نمونه‌برداری گیبز<sup>۱۳</sup> استفاده نمود [6]. برای این منظور از یک مقدار تصادفی در واحدهای مشاهده‌پذیر شروع کرده و مراحل نمونه‌برداری گیبز را برای یک زمان طولانی اجرا می‌کنیم. یک مرحله از نمونه‌برداری گیبز معادل بهنگام کردن همه واحدهای مخفی مطابق رابطه (۱۲-۲) و سپس بهنگام کردن تمام واحدهای مشاهده‌پذیر مطابق رابطه (۱۳-۲) می‌باشد. در واقع روش نمونه‌برداری گیبز، روشی برای بدست آوردن یک نمونه مناسب از توزیع توام مربوط به  $v$  و  $h$  مربوط به این مدل می‌باشد.

---

<sup>۸</sup> Positive phase

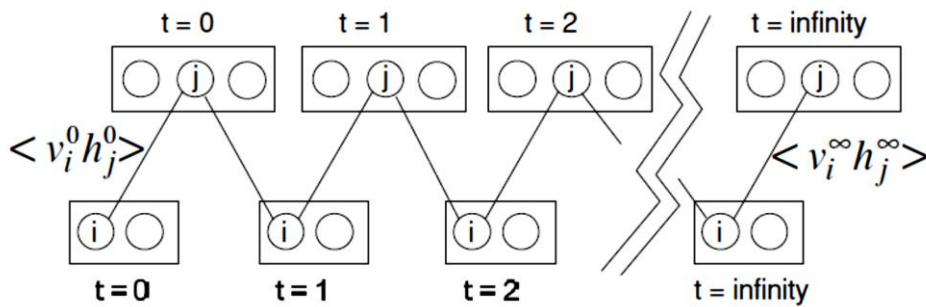
<sup>۹</sup> Negative phase

<sup>۱۰</sup> Contrastive Divergence (CD)

<sup>۱۱</sup> Persistent Contrastive Divergence (PCD)

<sup>۱۲</sup> Fast Persistent Contrastive Divergence (FPCD)

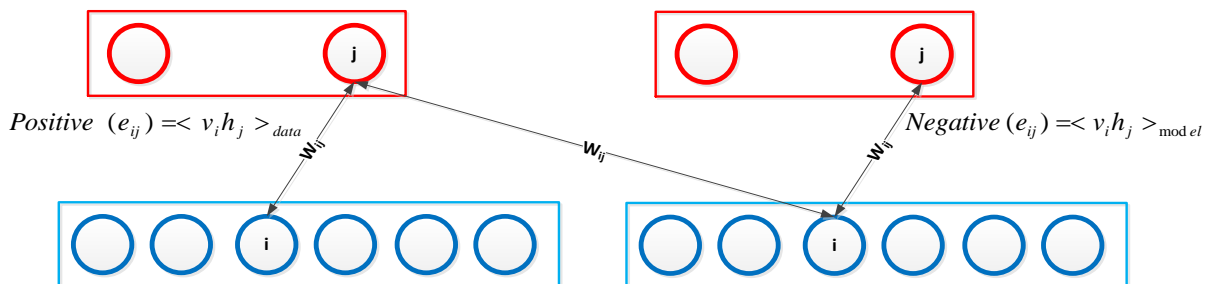
<sup>۱۳</sup> Gibbs sampling



شکل ۳-۲: نمونه برداری گیبز. یک مرحله از نمونه برداری گیبز معادل بهنگام کردن همه واحدهای مخفی مطابق رابطه (۱۲-۲) و سپس بهنگام کردن تمام واحدهای مشاهده پذیر مطابق رابطه (۱۳-۲) می باشد. مقدار  $\langle v_i^0 h_j^0 \rangle$  نشان دهنده مرحله صفر از اجرای نمونه برداری گیبز و محاسبه امید ریاضی ضرب  $v_i h_j$  می باشد [۱۲].

### ۱-۱-۲ روش واگرایی متقابل ۱۴

به سبب سرعت پایین روش نمونه برداری گیبز و غیر عملی بودن استفاده از آن، روش سریع دیگری به نام واگرایی متقابل یا CD1 برای این منظور ارائه گردیده است [۸]. در این روش حالت واحدهای مشاهده پذیر به یک داده آموزشی مقداردهی اولیه می شوند. سپس حالت باینری واحدهای مخفی مطابق رابطه (۱۲-۲) محاسبه می گردد. بعد از آنکه حالت باینری واحدهای مخفی مشخص گردید، مقادیر  $v_i$  بر اساس رابطه (۱۳-۲) بازسازی می شوند. در انتها نیز مجدداً مقادیر احتمال فعال شدن واحدهای مخفی محاسبه شده و از روی مقادیر نهایی بدست آمده از واحدهای مخفی و مشاهده پذیر، مقدار  $\langle v_i h_j \rangle_{model}$  محاسبه می شود. در شکل ۴-۲ نحوه عملکرد این روش به صورت گرافیکی نمایش داده شده است.



شکل ۴-۲: نحوه عملکرد روش CD1 به صورت گرافیکی. در اینجا  $Positive(e_{ij})$  مربوط به محاسبه  $\langle v_i h_j \rangle_{data}$  برای یال  $e_{ij}$  است.

هر چند روش CD1 دقیقاً معادل گرادیان مورد نظر نیست اما نتایج خوبی توسط آن بدست آمده است [۸]. البته می توان با افزایش تعداد مراحل اجرای نمونه برداری گیبز به روش  $CD_k$  دست یافت که در آن  $k$  مرحله نمونه برداری گیبز اجرا شده است که دقت بالاتری داشته و به گرادیان مورد نظر نیز نزدیکتر است [۱۳].

<sup>۱۴</sup> Contrastive Divergence (CD)



با این همه به دلیل کمبودها و دقیق نبودن  $CD_k$  روش‌های دیگری برای استنتاج در ماشین بولتزمن محدود قابل استفاده است. یکی از این روش‌ها درستنمایی بیشینه احتمالاتی<sup>۱۶</sup> (یا SML) است که به آن واگرایی متقابل پایدار (یا PCD) نیز می‌گویند [۱۴]. در این روش بر خلاف روش CD به جای مقداردهی اولیه با داده آموزشی، از حالت قبلی زنجیره در بهنگام‌سازی مرحله قبل استفاده می‌شود. به عبارت دیگر در PCD برای تخمین  $<model v_i h_j >$  از اجرای پیوسته زنجیره گیبز استفاده می‌شود. با وجود اینکه در هر مرحله تمام پارامترهای مدل تغییر می‌کند اما به سبب تغییر کم این پارامترها، می‌توان با مراحل کمی از نمونه‌برداری گیبز، به نمونه‌هایی از توزیع مدل رسید [۱۵]. یکی از راهبردها برای داشتن نمونه در این روش آن است که چندین زنجیره موازی را با هم اجرا کرده و در زمان لازم از هر یک از آن‌ها نمونه یا اصطلاحاً ذره خیالی<sup>۱۷</sup> را برداشت نماییم.

یکی از روش‌ها برای کم کردن نویز حاصل از تخمین گرادیان، استفاده از میانگین‌گیری چندین تخمین گرادیان می‌باشد. البته هر چند این میانگین‌گیری نویز تخمین گرادیان را کاهش می‌دهد اما از طرفی امکان جستجوی کامل‌تر در فضای حالات مورد نیاز برای یافتن پارامتر مناسب را نیز از دست داده و کارایی آن پایین می‌آید. یکی از بهبودهای صورت گرفته برای PCD که به این مساله توجه نموده است، روش واگرایی متقابل پایدار با هموارسازی جزئی یا PCD PS است. در این روش، هموارسازی جهت کاهش خطای تخمین، تنها در تخمین گرادیان مثبت استفاده شده ولی در تخمین گرادیان منفی از آن استفاده نمی‌شود تا همچنان بتوان فضای حالات را با سرعت بیشتری جستجو نمود. این روش موجب بهبود در کارایی روش PCD می‌شود [۱۰].

در روش واگرایی متقابل پایدار سریع یا FPCD بهبودی در PCD صورت گرفته است [۱۰]. در این روش سعی شده تا سرعت رسیدن نمونه‌های فاز منفی به نمونه‌هایی درست از توزیع مدل، افزایش یابد. برای این منظور پارامترهای استفاده شده در فاز منفی و فاز مثبت از هم متفاوت در نظر گرفته می‌شوند. در این روش از مجموعه دیگری به نام "وزن‌های سریع"<sup>۲۰</sup> استفاده می‌شود که تنها برای بهنگام‌سازی نمونه‌ها (یا در اصطلاح ذره‌های خیالی) در فاز منفی به کار گرفته می‌شوند. بدین ترتیب برای بهنگام‌سازی وزن‌ها در فاز منفی از جمع وزن‌های

<sup>۱۵</sup> Persistent Contrastive Divergence (PCD)

<sup>۱۶</sup> Stochastic Maximum Likelihood (SML)

<sup>۱۷</sup> Fantasy Particle

<sup>۱۸</sup> Persistent Contrastive Divergence with Partial Smoothing (PCD PS)

<sup>۱۹</sup> Fast Persistent Contrastive Divergence (FPCD)

<sup>۲۰</sup> Fast weight

سریع ( $\theta_{fast}$ ) و وزن‌های عادی ( $\theta_{regular}$ ) یا به عبارتی وزن‌هایی که به روش PCD بدست می‌آید، استفاده می‌گردد.

تاثیر حضور وزن‌های سریع در ابتدا زیاد بوده و با گذشت زمان یک تضعیف وزن<sup>۲۱</sup> قوی روی آن به سمت صفر اعمال می‌شود تا اثر آن تنها به صورت موقت مشاهده شود [۱۱]. در ادامه جهت وضوح بهتر این روش، الگوریتم آن مشاهده می‌شود. البته در اینجا جهت سادگی نمایش از ممتتم و تضعیف وزن قوی استفاده نشده است.

#### الگوریتم ۱-۲: نحوه اصلاح پارامترها در RBM به روش FPCD

مقداردهی اولیه

- مقداردهی  $\theta_{regular}$  به یک مقدار تصادفی کوچک
- مقداردهی  $\theta_{fast}$  به صفر
- ساخت ۱۰۰ زنجیره گیبز  $v^-$  در حالت صفر

تکرار مراحل زیر

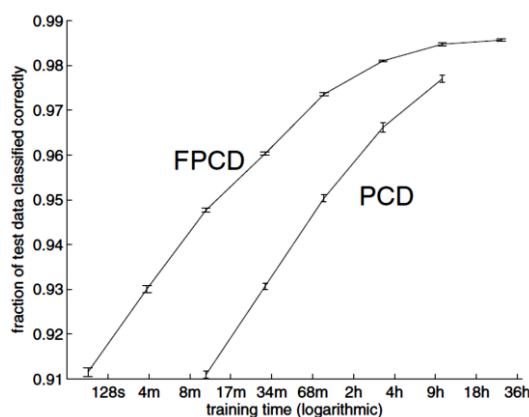
۱. گرفتن یک گروه کوچک از داده‌های آموزشی به نام  $v^+$
۲. محاسبه  $h^+ = P(h|v^+, \theta_{regular})$ ؛ یعنی استنتاج از پارامترهای عادی استفاده می‌کند. محاسبه گرادیان مثبت  $g^+ = v^{+T} h^+$
۳. محاسبه  $h^- = P(h|v^-, \theta_{regular} + \theta_{fast})$ ؛ یعنی استنتاج از جمع پارامترهای عادی و وزن‌های سریع جهت سرعت بیشتر، استفاده می‌کند. محاسبه گرادیان منفی  $g^- = v^{-T} h^-$ .
۴. بهنگام‌سازی  $v^-$  با نمونه‌برداری از  $P(v|h^-, \theta_{regular} + \theta_{fast})$ ؛ یعنی یک مرحله کامل از نمونه‌برداری گیبز با استفاده از وزن‌های سریع.
۵. محاسبه گرادیان کامل  $g = g^+ - g^-$ .
۶. بهنگام‌سازی  $\theta_{regular} = \theta_{regular} + g$ . وجود نرخ یادگیری عادی در این تکرار.
۷. بهنگام‌سازی  $\theta_{fast} = \theta_{fast} \cdot \frac{19}{20} + g$ . وجود نرخ یادگیری سریع در این تکرار.

در این الگوریتم ابتدا مقادیر اولیه برای  $\theta_{fast}$  و  $\theta_{regular}$  تعیین می‌شود. سپس ۱۰۰ زنجیره گیبز به طور موازی مشابه آنچه در PCD گفته شد، اجرا می‌شوند تا بتوان از هر یک از آن‌ها در اصلاح وزن‌ها استفاده نمود. سپس در یک حلقه ابتدا یک مجموعه کوچک از داده آموزشی انتخاب می‌گردد. سپس از روی پارامترهای مدل و مشابه روش‌های قبل مثل CD، مقدار  $h^+$  از روی داده آموزشی بدست می‌آید. با این اطلاعات مقدار گرادیان مثبت محاسبه می‌شود. سپس مقدار  $h^-$  بدست می‌آید که در آن از وزن‌های سریع نیز در ساخت مدل استفاده شده است. و مجدداً به کمک این اطلاعات مقدار گرادیان منفی محاسبه می‌شود. مقدار  $v^-$  نیز برای استفاده در مراحل بعد با

<sup>۲۱</sup> Weight decay

نمونه‌برداری بدست می‌آید. سپس مقدار  $g = g^+ - g^-$  با استفاده از  $g^+$  و  $g^-$  بدست آمده تا بتوانیم با کمک آن پارامترهای عادی مدل و پارامتر مربوط به وزن‌های سریع را بهنگام نماییم. البته همانطور که گفته شد، الگوریتم کامل این روش باید دارای تضعیف وزن قوی و ممتوم باشد که در اینجا برای سادگی نمایش داده نشده است.

در شکل ۵-۲ دو روش PCD و FPCD مقایسه شده است. در این مقایسه که از دادگان MNIST برای بازشناسی ارقام دستنویس استفاده شده است، در همه حالات، در زمان اجرای مساوی، روش FPCD بهتر از PCD عمل کرده است [۱۰].



شکل ۵-۲: دقت دسته‌بندی با RMB دسته‌بندی کننده و روش‌های اصلاح پارامتر مدل PCD و FPCD در دادگان MNIST. مشاهده می‌گردد که در همه حالات، در زمان اجرای مساوی، روش FPCD بهتر عمل کرده است [۱۰].

## ۵-۱-۱-۲ روش استفاده از انرژی آزاد در واگرایی متقابل پایدار (FEPCD)

یکی از چالش‌های مطرح در ماشین‌های بولتزمان محدود، نحوه آموزش پارامترهای آن است. همانطور که قبلاً توضیح داده شد، محاسبه گرادیان مدل محاسبه ناپذیر بوده و به همین دلیل از روش‌های نمونه‌برداری برای تخمین گرادیان استفاده می‌شود. علت اصلی در استفاده از روش‌های نمونه‌برداری آن است که در تخمین گرادیان نیاز به نمونه‌هایی از توزیع تعریف شده توسط مدل داریم. از آنجا که هر یک از واحدهای یک لایه در ماشین بولتزمان محدود به شرط بقیه واحدها در لایه دیگر، مستقل از یکدیگر می‌باشند، لذا بهترین روش استفاده از نمونه‌برداری گیبز است. لیکن برای رسیدن به نمونه‌های مناسب از توزیع مدل، نمونه‌برداری گیبز نیاز به اجرای تعداد زیادی نمونه‌برداری دارد که در عمل غیر ممکن است. به همین علت روش‌های مختلفی همچون CD و PCD برای حل این مشکل مطرح شده‌اند. در ادامه قصد داریم روشی را ارائه نماییم که به نمونه‌های بهتر از مدل دست یابد.

همانطور که در بخش قبل توضیح داده شد، در روش واگرایی متقابل پایدار یا PCD، چندین زنجیره نمونه‌برداری گیبز به طور موازی اجرا شده و در هر مرحله از یکی از آن‌ها به عنوان نمونه مناسب از مدل استفاده می‌شود. اما این کار به صورت کورکورانه صورت گرفته و لزوماً نمونه‌ای از بهترین زنجیره انتخاب نمی‌شود. اکنون در صورتی که بتوان از یک معیار برای انتخاب زنجیره مناسب استفاده نمود، می‌توان به شکل بهتری گرادیان را محاسبه کرد.

معیار پیشنهادی برای انتخاب زنجیره مناسب‌تر استفاده از مقدار انرژی آزاد می‌باشد. انرژی آزاد بردار مشاهده‌پذیر  $v$  به صورت زیر تعریف می‌شود [16].

$$e^{-F(v)} = \sum_h e^{-E(v,h)} \quad (19-2)$$

که  $F(v)$  مقدار انرژی آزاد است. بدین ترتیب مقدار  $F(v)$  را می‌توان به صورت زیر محاسبه نمود [16].

$$F(v) = -\sum_i v_i a_i - \sum_j q_j I_j + \sum_j (q_j \log q_j + (1 - q_j) \log(1 - q_j)) \quad (20-2)$$

که در آن  $I_j = b_j + \sum_i v_i w_{ij}$  برابر کل ورودی واحد مخفی  $j$  است و  $q_j = \mathcal{G}(I_j)$  نیز برابر احتمال فعال شدن واحد  $h_j$  به شرط  $v$  می‌باشد. یک راه مناسب برای محاسبه  $F(v)$  استفاده از عبارت زیر برای محاسبه انرژی آزاد است [16].

$$F(v) = -\sum_i v_i a_i - \sum_j \log(1 + e^{I_j}) \quad (21-2)$$

همانطور که در ابتدا گفته شد، هدف ما رسیدن به یک معیار برای انتخاب زنجیره مناسب‌تر برای استفاده از نمونه آن در محاسبه گرادیان است. یک راه مناسب استفاده از  $P(v_{gen})$  است که در آن  $v_{gen}$  نمونه تولید شده توسط مدل بوده و نمونه‌ای که بیشترین احتمال را تولید کند انتخاب می‌گردد که بدین ترتیب هدف ما از روش نمونه‌برداری که رسیدن به نمونه‌هایی از مدل ساخته شده است، برآورده می‌گردد. همان طور که قبلاً نیز گفته شد، محاسبه  $P(v_{gen})$  امکان‌پذیر نیست و لذا از معیار  $F(v_{gen})$  استفاده می‌کنیم. از آنجا که همه زنجیره‌ها دارای پارامترهای یکسانی هستند لذا مقدار  $Z$  در  $P(v_{gen})$  برای همه آن‌ها یکسان است و در نتیجه می‌توانیم با مقایسه  $F(v_{gen})$  (که هر چه کمتر باشد، بهتر خواهد بود) به نمونه بهتر برسیم. بدین ترتیب می‌توان در حین آموزش بهترین زنجیره‌ها را برای تولید نمونه از مدل، با این معیار بدست آورد.

## ۲-۱-۲ ماشین بولتزن محدود گوسی

از کاربردهای رایج در استفاده ماشین بولتزن محدود، در کاربردهای تصویر و صوت است که با بردارهای حقیقی یعنی  $x \in \mathbb{R}^{g_x}$  کار می‌کنند. آسان‌ترین روش و همچنان رایج‌ترین رویکرد برای مدل کردن این نوع از مشاهدات با مقادیر حقیقی در قالب ماشین بولتزن محدود، همان ماشین بولتزن محدود گوسی یا  $\text{GRBM}^{22}$  نام دارد [۱۵]. اگر واحدهای مشاهده‌پذیر  $v \in \mathbb{R}^{g_v}$  بوده و  $h \in \{0,1\}^{g_h}$  واحدهای مخفی تصادفی باینری باشند، آنگاه می‌توان انرژی حالت  $\{v, h\}$  از GRBM را به صورت زیر تعریف کرد [۱۷].

$$E(v, h) = -\sum_{i=1}^{g_v} \sum_{j=1}^{g_h} W_{ij} h_j \frac{v_i}{\sigma_i} - \sum_{i=1}^{g_v} \frac{(v_i - a_i)^2}{2\sigma_i^2} - \sum_{j=1}^{g_h} b_j h_j \quad (22-2)$$

<sup>22</sup> Gaussian RBM

که در آن نشاندهنده ترم تراکنشی متقارن بین واحد مشاهده‌پذیر  $i$  و واحد مخفی  $j$  است،  $a_j$  و  $b_i$  به ترتیب ترم بایاس برای واحد مخفی و مشاهده‌پذیر بوده و  $\sigma_i$  انحراف معیار یک گوسی در نظر گرفته شده برای واحد مشاهده‌پذیر  $i$  است. بدین ترتیب توزیع حاشیه‌ای بر روی بردار مشاهدات همان رابطه (۲-۵) به صورت زیر خواهد بود.

$$P(v) = \sum_h P(v, h) = \frac{1}{Z} \sum_h \exp(-E(v, h)) \quad (2-23)$$

که در آن  $Z$  تغییر کرده و به صورت زیر است.

$$Z = \int_v \sum_h \exp(-E(v, h)) dv' \quad (2-24)$$

بدین ترتیب می‌توان توزیع شرطی را به صورت زیر بیان کرد.

$$P(v_i = x_i | \mathbf{h}) = \frac{1}{\sqrt{2\pi}\sigma_i} \exp\left(-\frac{(x_i - a_i - \sigma_i \sum_j h_j W_{ij})^2}{2\sigma_i^2}\right) \quad (2-25)$$

و همچنین برای واحدهای مخفی خواهیم داشت،

$$P(h_j = 1 | \mathbf{v}) = \mathcal{g}\left(b_j + \sum_i w_{ij} \frac{v_i}{\sigma_i}\right) \quad (2-26)$$

که در آن  $\mathcal{g}(x)$  تابع سیگموئید لاجستیک با تعریف  $\mathcal{g}(x) = 1/(1 + \exp(-x))$  است. مشاهده می‌شود که با شرط بر روی واحدهای مخفی در رابطه (۲-۲۵)، هر واحد مشاهده‌پذیر با یک توزیع گوسی مدل شده است که میانگین آن با ترکیب وزن‌های ورودی از سمت واحدهای مخفی جابجا می‌شود [۱۷]. مشتق لگاریتم درست‌نمایی نسبت به  $W$  به صورت زیر بدست می‌آید.

$$\frac{\partial \log P(v)}{\partial w_{ij}} = \left\langle \frac{1}{\sigma_i} v_i h_j \right\rangle_{data} - \left\langle \frac{1}{\sigma_i} v_i h_j \right\rangle_{model} \quad (2-27)$$

که در اینجا براکت نشاندهنده محاسبه امید ریاضی بر روی ضرب مقادیر واحد مخفی و مشاهده‌پذیر مشخص شده است. معمولاً پارامتر  $\sigma_i$  مقدار ثابتی در نظر گرفته شده و برای آن آموزش صورت نمی‌گیرد. لذا اگر  $\sigma_i$  را برابر یک در نظر بگیریم، روش اصلاح وزن‌ها هیچ تغییری نکرده و تنها باید برای محاسبه  $v_i$  از یک تابع گوسی با میانگین  $a_i + \sum_j h_j W_{ij}$  نمونه‌برداری نماییم [۳].

می‌توان حاشیه بر روی واحدهای مشاهده‌پذیر را به صورت زیر بیان نمود.

$$P(v) = \sum_h P(v|h)P(h) \quad (2-28)$$

بدین ترتیب در واقع یک GRBM را می‌توان به عنوان یک مدل مخلوط گوسی در نظر گرفت که هر وضعیت واحدهای مخفی، موقعیت عناصر مخلوط را مشخص می‌کند [۱۵]. این رابطه بدان دلیل درست است که در

$P(v|h)$  می‌توان  $P(v_i|h)$  ها را به سبب ساختار RBM، مستقل در نظر گرفت و در نتیجه  $P(v|h) = \prod v_i P(v_i|h)$  و از آنجایی که ضرب چند تابع گوسی، خود یک تابع گوسی است، لذا  $P(v|h)$  یک تابع گوسی خواهد بود و لذا نهایتاً رابطه (۲۸-۲) بیانگر یک مخلوط گوسی می‌گردد.

از آنجا که تعداد عناصر مخلوط بالقوه بسیار زیاد است و به صورت نمایی با توجه به تعداد واحدهای مخفی رشد می‌کند، ظرفیت آن‌ها با به اشتراک گذاری تعداد نسبتاً کمی از پارامترهای عناصر مخلوط، کنترل می‌شود [۱۵].

اثبات شده است که GRBM چندان مناسب برای مدل کردن تصاویر حقیقی نیست و ویژگی‌های یادگرفته شده معمولاً بیانگر لبه‌های تیز که در محدوده اشیاء وجود دارند نیستند. لذا این روش منجر به بازنمایی مبهمی می‌شود که مناسب برای ویژگی‌های کاربرد دسته‌بندی نیست. بر اساس تحقیقات صورت گرفته، مشکل GRBM در تعیین مناسب ساختار آماری از تصاویر طبیعی به سبب آن است که تنها از ظرفیت میانگین شرطی در آنها استفاده شده و کواریانس شرطی در آن در نظر گرفته نشده است [۱۸]. بر اساس این تحقیقات تصاویر واقعی بیشتر با کواریانس مقادیر پیکسل و نه با مقادیر خالص آن‌ها توصیف می‌شوند. این دیدگاه با استفاده رایجی که در روش‌های پیش‌پردازش وجود دارد که مقادیر پیکسل‌ها را به طور عمومی مقیاس‌بندی مجدد می‌کند، تطبیق می‌کند. بدین منظر روش‌های دیگری نیز وجود دارند که سعی می‌کنند تا بهتر بتوانند از کواریانس استفاده نمایند.

### نوع دیگری از تعریف ماشین بولتزمن گوسی

اگر در تعریف تابع انرژی از تعریف دوم که در رابطه (۱۴-۲) آمده است استفاده نمایم، باید ماشین بولتزمن گوسی را با کمی تغییر بیاوریم. با توجه به این تعریف، تابع انرژی نوع گوسی آن به صورت زیر تعریف شده است [۹]، [۲].

$$E'(v,h) = -\frac{1}{2\sigma^2} \sum_{i=1}^{g_v} v_i^2 - \frac{1}{\sigma^2} \left( \sum_{i=1}^{g_v} \sum_{j=1}^{g_h} W_{ij} v_i h_j + \sum_{i=1}^{g_v} a_i v_i + \sum_{j=1}^{g_h} b_j h_j \right) \quad (29-2)$$

که تعریف پارامترهای آن مشابه تابع انرژی گوسی قبلی است که تعریف گردید. بدین ترتیب احتمالات شرطی نیز به صورت زیر تغییر می‌کند.

$$P(v_i = x_i | \mathbf{h}) = \frac{1}{\sqrt{2\pi}\sigma_i} \exp\left(-\frac{(x_i - a_i - \sum_j h_j W_{ij})^2}{2\sigma_i^2}\right) \quad (30-2)$$

$$P(h_j = 1 | \mathbf{v}) = \vartheta \left( \frac{1}{\sigma_i^2} \left( b_j + \sum_i w_{ij} \frac{v_i}{\sigma_i} \right) \right) \quad (31-2)$$

که در آن مشابه قبل،  $\vartheta(x) = 1/(1 + \exp(-x))$  تابع سیگموئید لاجستیک با تعریف می‌باشد.

گاهی اوقات با متغیرهایی برخورد می‌کنیم که نه باینری هستند و نه مقدار حقیقی دارند بلکه می‌توانند مقادیر صحیح بین 1 تا K بگیرند. در این موارد از واحدهایی به نام واحد نرم بیشینه یا softmax استفاده می‌شود. یک واحد نرم بیشینه را می‌توان به صورت یک مجموعه از واحدهای باینری در نظر گرفت که تنها یکی از K واحد این مجموعه مقدار یک گرفته و بقیه مقدار صفر می‌گیرند [۱۶]. برای رسیدن به این شرط از تابع فعالیت نرم بیشینه با تعریف زیر استفاده می‌کنند.

$$p_j = \frac{e^{x_j}}{\sum_{i=1}^K e^{x_i}} \quad (۳۲-۲)$$

که  $p_j$  احتمال فعال شدن واحد  $j$  بوده و می‌توانیم در این جا  $x_j$  را مقدار وارد شده به هر واحد در نظر بگیریم (مثلا اگر این واحدها برای واحدهای مشاهده‌پذیر در نظر گرفته شود خواهیم داشت [۱۷]:  $x_j = a_j + \sum_i h_i w_{ij}$ ). این رابطه باعث می‌شود تا برای مقادیری که از بیشینه فاصله دارند خروجی نزدیک صفر و برای مقدار بیشینه خروجی نزدیک یک داشته باشد.

با این تعریف از احتمال فعال شدن واحدها، قوانین آموزش برای واحدهای باینری نرم بیشینه، مشابه همان قوانین واحدهای باینری معمولی است، با این تفاوت که نحوه محاسبه احتمال حالات و همچنین نمونه‌های گرفته شده از آن تغییر می‌کند [۱۶].

## ۲-۱-۴-۲-۴ تنک‌سازی<sup>۲۴</sup>

تنک‌سازی یکی از مفاهیمی است که اخیرا توجه زیادی به آن شده است. این روش در علوم محاسبات نورولوژی تحت عنوان کدگذار تنک<sup>۲۵</sup> در سیستم بینایی [۱۹] معرفی گردیده است (توضیح بیشتر درباره کدگذار تنک در ضمیمه ۱-۱-۵ آمده است). همچنین بازنمایی تنک به عنوان یکی از ملزومات لازم در شبکه‌های باور عمیق نیز مطرح شده است [۲]. البته رویکرد تنک‌سازی در شبکه‌های باور عمیق کاملا متفاوت از چیزی است که در کدگذار تنک مشاهده می‌گردد که در ادامه این تفاوت‌ها را مشاهده خواهیم نمود.

اگر کسی بخواهد بازنمایی با اندازه ثابت<sup>۲۶</sup> داشته‌باشد، بازنمایی تنک نسبت به حالت غیر تنک با توجه به تئوری اطلاعات دارای دقت بالاتری است، چرا که اجازه می‌دهد تا تعداد بیت‌های لازم برای هر نمونه تغییر کند [۱۳]. بر اساس تئوری اطلاعات برای رسیدن به تعمیم خوب، کافی است مجموع تعداد بیت‌های لازم برای

<sup>۲۳</sup> Softmax units

<sup>۲۴</sup> Sparsifying

<sup>۲۵</sup> Sparse Coding

<sup>۲۶</sup> Fixed size

کدگذاری کل داده آموزشی را نسبت به اندازه داده آموزشی کم کنیم. در بسیاری از حوزه‌های مطرح نیز نمونه‌های متفاوت نیاز به تعداد بیت‌های متفاوتی برای فشرده‌سازی دارند.

به عبارت دیگر الگوریتم‌های کاهش بعد، چه خطی باشند مانند PCA<sup>۲۷</sup> یا ICA<sup>۲۸</sup> [۶] یا غیر خطی مانند LLE<sup>۲۹</sup> و JSOMAP، هر نمونه را به فضای با ابعاد کمتر مشابهی نگاشت می‌دهند. برای روشن شدن بحث بالا، بهتر است تا هر نمونه به بازنمایی با طول متغیر نگاشت شود. برای ساده کردن بحث فرض کنید این بازنمایی یک بردار باینری باشد. اگر لازم دیده شد تا هر نمونه را به یک بازنمایی با طول ثابت نگاشت دهیم، یک راه حل خوب آن است که آن بازنمایی درجه آزادی کافی برای بازنمایی تمام نمونه‌ها را داشته باشد. در حالیکه با امکان فشرده‌سازی برای بیشتر نمونه‌ها می‌توان کدهای کوچکتر با اندازه متغیر برای بردار بیتی با اندازه ثابت بدست آورد.

بدین ترتیب دو بازنمایی وجود خواهد داشت: اول بازنمایی با طول ثابت که می‌تواند به عنوان ورودی برای تخمین زدن و تصمیم‌گیری استفاده شود، و دوم بازنمایی کوچکتر با طول متغیر که در اصل می‌تواند با استفاده از بازنمایی با طول ثابت در یک گام فشرده‌سازی بدست آید. برای مثال اگر بیت‌های لازم در بردار بازنمایی با طول ثابت دارای احتمال بالای صفر باشند (یعنی شرط تنک بودن)، آنگاه برای بیشتر نمونه‌ها، فشرده‌سازی بردار با طول ثابت بسیار ساده است (البته به طور میانگین و با توجه به میزان تنک بودن). برای یک سطح خاص از تنک بودن، تعداد پیکربندی‌های<sup>۳۰</sup> بردارهای تنک بسیار کمتر از وقتی است که تنک بودن کمتری داریم و یا اصلاً این ویژگی را نداریم. لذا آنتروپی کدهای تنک کوچکتر است [۱۳].

بحث بعدی در مزایای تنک بودن آن است که بازنمایی با طول ثابت به عنوان ورودی برای پردازش‌های بیشتر استفاده می‌شود و لذا به سادگی تفسیر می‌گردد. یک کدگذاری شدیداً فشرده معمولاً به شدت درهم آمیخته است، لذا هیچ زیر مجموعه‌ای از بیت‌های داخل کد را نمی‌توان به درستی تفسیر کرد مگر آنکه تمام بیت‌های دیگر نیز استفاده شوند. در عوض بازنمایی تنک با طول ثابت به سبب این ویژگی که هر بیت یا مجموعه کوچکی از این بیت‌ها می‌تواند تفسیرپذیر باشد، مورد توجه است. یعنی با جنبه‌های معنایی ورودی مربوط بوده و فاکتورهای متغیر در داده را نگه می‌دارد. برای مثال در یک ورودی از نوع سیگنال گفتار، اگر تعدادی از بیت‌ها کدکننده ویژگی‌های گوینده و بقیه بیت‌ها، کدکننده‌ی ویژگی‌های عمومی از واج گفته شده باشد، می‌توان بعضی از فاکتورهای متغیر در داده را حذف کرد و بعضی از زیرمجموعه‌های فاکتورها می‌تواند برای بعضی از کاربردهای خاص کافی باشد [۱۳]. مثلاً می‌توان با حذف فاکتورهای مربوط به گوینده، از بقیه فاکتورها برای تشخیص گفتار استفاده کنیم.

---

<sup>۲۷</sup> Principal Component Analysis (PCA)

<sup>۲۸</sup> Independent Component Analysis (ICA)

<sup>۲۹</sup> Locally-Linear Embedding (LLE)

<sup>۳۰</sup> Configuration



بر اساس تحقیقات [۱۹]، کدینگ تنک می‌تواند ویژگی‌های سطح پایین مناسبی از داده برچسب نخورده را یاد بگیرد. در صورتی که بخواهیم، ویژگی‌های سطح بالاتری را بسازیم، امکان استفاده از کدینگ تنک کار ساده‌ای نیست. هر چند کارهایی در این زمینه برای ساخت کدینگ تنک سلسله مراتبی انجام شده است، اما آن‌ها نمی‌توانند به راحتی به صورت پشته درآمده و استفاده شوند و بار محاسباتی بالایی نیز دارند. در واقع ساخت بازنمایی سلسله مراتبی با پشته کردن لایه‌های بازنمایی تنک، به چند دلیل کار سخت و پیچیده‌ای است [۹]. اول آنکه کدینگ تنک فرض می‌کند که توزیع ورودی آن غیر تنک است در حالیکه خروجی یک کدینگ تنک بسیار تنک بوده و در نتیجه قرار دادن یک کدینگ تنک بر روی آن، فرض مدلسازی را رعایت نمی‌کند. دوم آنکه بهینه‌سازی یا استنتاج در کدینگ تنک نسبتاً هزینه‌بر است چرا که دارای یک مساله بهینه‌سازی از نوع  $L_1$  است.

لذا به سراغ روش جایگزینی برای ساخت بازنمایی سلسله‌مراتبی رفته‌اند. ایده اصلی استفاده از الگوریتم‌های یادگیری عمیق است که امکان ساخت بازنمایی‌های سلسله‌مراتبی را فراهم می‌سازد. یکی از این نوع روش‌های الگوریتم یادگیری عمیق، شبکه‌های باور عمیق است. بر خلاف کدینگ تنک، ماشین‌های بولتزمن محدود به راحتی به صورت پشته درآمده و بازنمایی سلسله‌مراتبی ایجاد می‌کنند. همچنین استنتاج در RBM و DBN از لحاظ محاسباتی کارآمد بوده و نیازی به حل مساله بهینه‌سازی در آن نیست.

به طور خلاصه می‌توان تنظیم‌کننده تنک‌سازی در RBM و DBN را دارای آثار مختلفی دانست که در ادامه به آن اشاره می‌کنیم [۱۳]، [۹].

- بازنمایی تنک نسبت به حالت غیر تنک با توجه به تئوری اطلاعات دارای دقت بالاتری است چرا که تعداد بیت‌های لازم برای کدگذاری را کاهش داده و نتیجه آن تعمیم بهتر داده‌های آموزشی است.
- بازنمایی تنک نسبت به حالت غیر تنک به سبب طول ثابت بازنمایی آن، دارای تفسیرپذیری بیشتری در خروجی خود است و جنبه‌های معنایی ورودی بهتر در متغیرهای خروجی ظاهر می‌شوند.
- رفتار بازنمایی تنک مشابه عملکرد مغز انسان بوده و در حوزه پردازش تصویر فیلترهایی همچون فیلترهای گابور را یاد گرفته [۲، ۲، p] و حتی در استفاده چند لایه از این نوع روش‌ها، ویژگی‌های بدست آمده با لایه‌های بالایی در پردازش تصویر در مغز مطابقت دارد.
- بر اساس نتایج بدست آمده در مقالات، شبکه‌های باور عمیقی که خاصیت تنک بودن در لایه‌های آن وجود دارد، دارای دقت بیشتری هستند.
- به دلیل محدودیت‌های کدینگ تنک، امکان آموزش آن به صورت عمیق و یافتن ویژگی‌های سطح بالاتر پیچیده و مشکل است. اما RBM‌های تنک امکان عمیق شدن و یافتن ویژگی‌های سطح بالاتر را دارا می‌باشند.

بر اساس موارد گفته شده هدف، رسیدن به ماشین‌های بولتزمن محدود تنک است که ترکیب آن‌ها شبکه‌های باور عمیق تنک را برای ما بسازد. لذا در ادامه روش‌های ساخت RBM‌های تنک معرفی خواهند شد.

به طور کلی ماشین‌های بولتزمن محدود سعی دارند تا بازنمایی‌های غیر تنک و توزیع شده را یاد بگیرند. در اینجا سعی می‌شود تا با تغییر در الگوریتم یادگیری RBM، آن را به یادگیری بازنمایی تنک قادر سازیم. منظور از تنک شدن به معنای آن است که خروجی تعداد بیشتری از واحدهای مخفی صفر شوند، اینکار معادل آن است که احتمال فعال شدن تعداد بیشتری از واحدهای مخفی به سمت صفر میل کند. برای این منظور یک عبارت تنظیم‌کننده<sup>۳۱</sup> تعریف می‌شود که به طور میانگین، فعالیت متغیرهای مخفی را بر روی کل نمونه‌های آموزشی کم نماید [۹]. در این روش عبارت تنظیم‌کننده به نحوی اضافه می‌شود تا هر انحرافی از امید فعالیت واحدهای مخفی از مقدار ثابت و کم  $p$  را جریمه کند. یعنی این تنظیم‌کننده سعی می‌کند که نرخ فعالیت<sup>۳۲</sup> نرون‌های مدل (که متناظر با متغیرهای تصادفی مخفی  $h_j$  است) در یک سطح پایین باقی مانده و در نتیجه فعالیت نرون‌های مدل، تنک خواهد بود. لذا با نمونه‌های آموزشی  $\{v^{(1)}, \dots, v^{(m)}\}$  که نشان‌دهنده  $m$  نمونه آموزشی است (در واقع  $\{x^{(1)}, \dots, x^{(m)}\}$  نمونه‌های آموزشی هستند که با قرار دادن مقدار آن‌ها در مکان واحدهای مشاهده‌پذیر، می‌توان آنها را به صورت  $\{v^{(1)}, \dots, v^{(m)}\}$  نمایش داد)، مساله بهینه‌سازی زیر مطرح می‌شود:

$$\begin{aligned} & \text{minimize}_{\{w_{ij}, a_i, b_j\}} \\ & - \sum_{l=1}^m \log \left( \sum_h P(v^{(l)}, h^{(l)}) \right) \\ & + \lambda \sum_{j=1}^n \left| p - \frac{1}{m} \sum_{l=1}^m \mathbb{E} [h_j^{(l)} | v^{(l)}] \right|^2 \end{aligned} \quad (۳۳-۲)$$

که در آن  $\mathbb{E}[\cdot]$  امید ریاضی به شرط داده‌ها است و  $\lambda$  ثابت تنظیم‌کننده و  $p$  ثابت کنترل‌کننده میزان تنک بودن واحدهای  $h_j$  است. لذا هدف کمینه کردن جمع عبارت لگاریتم درست‌نمایی و عبارت تنظیم‌کننده است (یعنی برقراری یک تعادل بین درست‌نمایی و تنک بودن). اساساً می‌توان از کاهش گرادیان برای این مساله استفاده کرد اما محاسبه گرادیان لگاریتم درست‌نمایی هزینه‌بر است. لذا از الگوریتم‌های تخمین که در بخش ۲-۱-۱ مطرح گردید (مانند روش واگرایی متقابل یا CD) برای تخمین گرادیان لگاریتم درست‌نمایی استفاده می‌شود. بنابر این در هر تکرار از قانون بهنگام‌سازی واگرایی متقابل استفاده کرده و به دنبال آن در یک مرحله، کاهش گرادیان با استفاده از گرادیان عبارت تنظیم‌کننده را اعمال می‌نماییم. این مراحل در الگوریتم زیر مشاهده می‌شود. در پیاده‌سازی یک تغییر برای افزایش کارایی اعمال شده است و آن اینکه از کاهش گرادیان آماری استفاده شده و دسته‌های کوچک از داده آموزشی برای تخمین به کار گرفته شده است. همچنین در بهنگام کردن پارامترها فقط  $b_j$  ها (که مستقیماً درجه فعالیت نرون‌ها را کنترل می‌کنند) اصلاح می‌گردند و پارامترهای  $w_{ij}$  در این مرحله تغییر نمی‌کنند.

<sup>۳۱</sup> Regularization term

<sup>۳۲</sup> Firing rate

۱. بهنگام کردن مقادیر پارامترها با استفاده از قانون یادگیری واگرایی متقابل

$$\Delta w_{ij} = \epsilon (\langle v_i h_j \rangle_{data} - \langle v_i h_j \rangle_{model})$$

$$\Delta a_i = \epsilon (\langle v_i \rangle_{data} - \langle v_i \rangle_{model})$$

$$\Delta b_j = \epsilon (\langle h_j \rangle_{data} - \langle h_j \rangle_{model})$$

که در آن  $\epsilon$  نرخ یادگیری و  $\langle \cdot \rangle_{model}$  امید بر روی داده‌های بازسازی شده است که با یک

تکرار روش نمونه برداری گیبز بدست آمده است.

۲. بهنگام کردن پارامترها با استفاده از عبارت تنظیم کننده

۳. تکرار مراحل ۲ و ۳ تا زمان همگرایی

گرادیان عبارت تنظیم کننده‌ی تنک بودن بر روی پارامترهای  $w$  و  $b$  به صورت زیر تعریف می‌شود.

$$-\frac{\partial}{\partial w_{ij}} L_{sparsity} \propto \left( p - \frac{1}{m} \sum_{l=1}^m q_j^{(l)} \right) \frac{1}{m} \sum_{l=1}^m q_j^{(l)} (1 - q_j^{(l)}) v_i^{(l)} \quad (34-2)$$

$$-\frac{\partial}{\partial b_j} L_{sparsity} \propto \left( p - \frac{1}{m} \sum_{l=1}^m q_j^{(l)} \right) \frac{1}{m} \sum_{l=1}^m q_j^{(l)} (1 - q_j^{(l)}) \quad (35-2)$$

که  $q_j^{(l)} \triangleq \mathcal{G} \left( \frac{1}{\sigma^2} (b_j + \sum_i v_i^{(l)} w_{ij}) \right)$  می‌باشد (در اینجا از تعریف دوم تابع انرژی استفاده شده است) و

$L_{sparsity}$  عبارت جریمه تنظیم کننده در عبارت (۲-۳۳) است. اگر در یک تخمین فرض کنیم که مقدار عبارت

$\sum_{l=1}^m q_j^{(l)} (1 - q_j^{(l)})$  تقریباً به ازای  $z$  های مختلف ثابت است، قانون بهنگام سازی را به صورت ساده و شهودی

می‌توان بیان نمود.

$$\Delta b_j \propto -\frac{\partial}{\partial b_j} L_{sparsity} \approx \left( p - \frac{1}{m} \sum_{l=1}^m q_j^{(l)} \right) \cdot constant \quad (36-2)$$

که این متناظر است با قانون بهنگام کردنی که مقدار بایاس را در هر واحد مخفی بر اساس تفاوت بین میزان

تنک بودن هدف و میانگین فعالیت هر واحد مخفی بر روی داده آموزشی، بالا و پایین می‌کند. در [۲] بر اساس

رابطه (۲-۳۵) اصلاح  $b_j$  انجام شده ولی با استفاده از رابطه (۲-۳۶) نیز به نتایج مشابهی رسیده‌اند [۹] و این نشان

می‌دهد که این تخمین در نظر گرفته شده، قابل قبول می‌باشد.

#### ۲-۱-۲ روش دوم برای ساخت ماشین بولتزمن محدود تنک

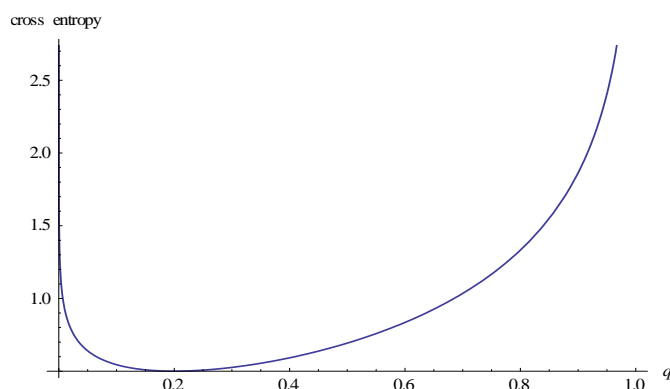
در این روش نیز فعالیت تنک واحدهای مخفی باینری، با یک مقدار هدف تنک بودن با  $1 \ll p$  مشخص

می‌گردد که این پارامتر نشاندهنده احتمال فعال بودن مورد نظر می‌باشد. بدین منظور یک عبارت جریمه اضافه

جهت ترغیب احتمال واقعی فعال شدن یعنی  $q$  به مقدار نزدیک  $p$ ، استفاده می‌شود. معیار جریمه استفاده شده برای این منظور مقدار آنتروپی متقابل<sup>۳۳</sup> بین توزیع واقعی و توزیع هدف است [۴].

$$L_{sparsity} = -p \log q - (1 - p) \log(1 - q) \quad (۳۷-۲)$$

این تابع جریمه به نحوی است که در صورت داشتن مقدار  $q$  از  $p$  آن را به صورت نمایی جریمه می‌کند. به عنوان مثال در شکل ۶-۲ مشاهده می‌شود که اگر مقدار  $p$  را ۰٫۲ بگیریم، هر قدر فاصله  $q$  از ۰٫۲ بیشتر شود، اندازه آنتروپی متقابل یا جریمه وارد شده، بیشتر خواهد بود.



شکل ۶-۲: مقدار آنتروپی متقابل با  $p = 0.2$  و مقادیر مختلف  $q$

از آنجا که در RBM واحدهای مخفی را از نوع لاجستیک تعریف نمودیم، لذا مشتق این عبارت جریمه نسبت به کل ورودی واحد مخفی، مقدار  $q - p$  خواهد بود که از آن برای تنظیم بایاس و وزنهای ورودی به هر واحد استفاده می‌شود.

$$L_{sparsity} = -p \log \frac{1}{1 + \exp(-x)} - (1 - p) \log \left( 1 - \frac{1}{1 + \exp(-x)} \right) \quad (۳۸-۲)$$

$$= x + \log(1 + \exp(-x)) - px$$

و با محاسبه مشتق نسبت به کل ورودی خواهیم داشت:

$$\frac{\partial}{\partial x} L_{sparsity} = q - p \quad (۳۹-۲)$$

که منظور از  $x$  در اینجا، مجموع ورودی‌ها به واحد مخفی است. حتما باید مشتق را به هر دو پارامتر اعمال نمود. اگر مشتق تنها به بایاس اعمال شود، به عنوان نمونه بایاس دائما منفی‌تر می‌شود تا بتواند از فعالیت واحد مخفی جلوگیری کند اما وزن‌ها دائما مثبت‌تر می‌شوند تا بتوانند از آن واحد استفاده نمایند.

در عمل، مقدار  $q$  با استفاده از دسته‌های کوچک و به کمک رابطه زیر محاسبه می‌شود [۱۶].

<sup>۳۳</sup> Cross entropy

$$q_{new} = \lambda q_{old} + (1 - \lambda) q_{current} \quad (40-2)$$

که در آن مقدار میانگین احتمال فعالیتهای واحدهای مخفی بر روی دسته کوچک فعلی و  $\lambda$  نرخ کاهش است. مقدار مناسب برای میزان هدف تنک بودن یعنی  $p$  در حدود 0.01 تا  $0.1^9$  است و همچنین مقدار مناسب برای نرخ کاهش در حدود 0.9 تا 0.99 می باشد [۱۶]. نشان داده شده است که با این روش تنک سازی، می توان کارایی جداسازی را با استفاده از این ویژگی های تنک بالا برد [۴].

در نهایت با مقایسه این دو روش تنک سازی برای ماشین بولتزمن محدود، مشاهده می کنیم که در هر دو روش تقریباً به روش اصلاح پارامترهای مشابهی رسیده اند. در واقع در هر دو روش (حالت ساده شده روش اول در رابطه (۳۶-۲) و روش دوم در رابطه (۳۸-۲)) از فاصله بین مقدار هدف برای تنک بودن و میانگین میزان فعالیتهای واحدهای مخفی در یک دسته کوچک، برای اصلاح وزن استفاده می شود. بدین ترتیب می توانیم هر دو روش را یک روش بدانیم که از دو رویکرد متفاوت به آن رسیده اند.

### ۳-۴-۱-۲ روش سوم برای ساخت ماشین بولتزمن محدود تنک

روش دیگر مبتنی بر تئوری نرخ اعوجاج (rate distortion theory) عمل کرده و جریمه آن مستقیماً مقدار فعال شدن واحدهای مخفی است [20].

$$L_{sparsity} = -\frac{1}{m} \sum_{l=1}^m \|P(\mathbf{h}^{(l)}|\mathbf{v}^{(l)})\|_1 \quad (41-2)$$

بر این اساس گرادیان این عبارت تنظیم کننده برابر رابطه زیر خواهد بود.

$$-\frac{\partial}{\partial w_{ij}} L_{sparsity} \propto -\frac{1}{m} \sum_{l=1}^m q_j^{(l)} (1 - q_j^{(l)}) v_i^{(l)} \quad (42-2)$$

که  $q_j^{(l)} \triangleq \vartheta(b_j + \sum_i v_i^{(l)} w_{ij})$  می باشد.

### ۴-۴-۱-۲ روش چهارم برای ساخت ماشین بولتزمن محدود تنک

روش دیگری که توسط نویسندگان این نوشته توسعه یافته است، در آن از تابع نرمال به عنوان تابع جریمه-کننده استفاده شده است [21].

$$L_{sparsity} = \sum_{j=1}^n f(q_j, p, \sigma^2) \quad (43-2)$$

که در آن  $q_j = \frac{1}{m} \sum_{l=1}^m \mathbb{E}[h_j^{(l)}|\mathbf{v}^{(l)}]$  می باشد و  $f(q_j, p, \sigma^2)$  نیز به صورت زیر تعریف می شود.

$$f(q_j, p, \sigma^2) = \frac{1}{\sigma\sqrt{2\pi}} e^{-\frac{1}{2}\left(\frac{q_j-p}{\sigma}\right)^2} \quad (44-2)$$

بر این اساس گرادیان این عبارت تنظیم کننده برابر رابطه زیر خواهد بود.

$$\frac{\partial}{\partial w_{ij}} L_{sparsity} \propto \frac{1}{m} \left( p - \frac{1}{m} \sum_{l=1}^m q_j^{(l)} \right) f(q_j, p, \sigma^2) \sum_{l=1}^m q_j^{(l)} (1 - q_j^{(l)}) v_i^{(l)} \quad (2-45)$$

#### ۲-۱-۵ تفاوت بین ماشین بولتزمن محدود تنک و کدینگ تنک

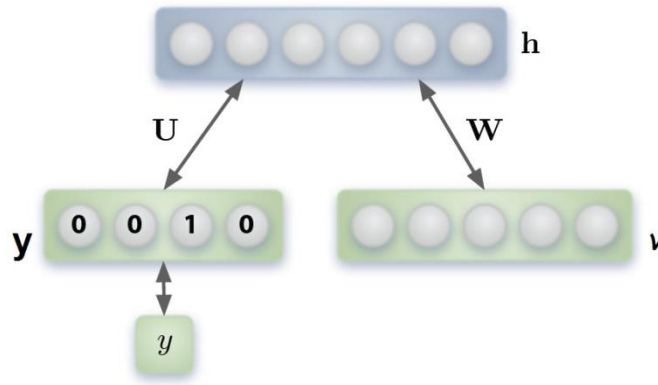
در این بخش شباهت‌ها و تفاوت‌های بین کدینگ تنک و RBM تنک را می‌بینیم. مدل RBM تنک و کدینگ تنک از این لحاظ که هر دو داده ورودی را با استفاده از متغیرهای پنهان بازنمایی می‌کنند، مشابه هستند. بعلاوه هرچند بازنمایی RBM به طور کلی تنک نیست، اما RBM تنک می‌تواند بازنمایی‌هایی مشابه کدینگ تنک را بوجود آورد (یعنی مثلاً در کاربرد پردازش تصویر، همانند کدینگ تنک، تصاویر را به صورت ترکیب لبه‌ها مدل نماید). از طرف دیگر تفاوت‌هایی نیز بین این دو وجود دارد. کدینگ تنک را می‌توان یک مدل گرافیکی جهت‌دار دانست که متغیرهای پنهان حقیقی دارد. در آن، تنک بودن با یک تنظیم‌کننده  $L_1$  بر روی ضرایب کنترل می‌شود. با این حال استنتاج پسین (یعنی بدست آوردن تخمین احتمال پسین بیشینه<sup>۳۴</sup> یا MAP) به شرط داده‌های ورودی، محاسبات سنگینی دارد چرا که نیازمند حل یک مساله بهینه‌سازی  $L_1$  است. در مقابل، RBM تنک یک مدل گرافیکی بدون جهت است که متغیرهای پنهان باینری دارد. تنک بودن در آن مشخصاً با یک عبارت جریمه تنظیم‌کننده بر روی میانگین فعالیت واحدهای مخفی کنترل می‌شود. توزیع پسین در آن از لحاظ محاسباتی به سادگی محاسبه می‌شود چرا که واحدهای مخفی به شرط داده‌های ورودی، مستقل شرطی هستند.

کدینگ تنک بیشتر برای کاربردهایی مناسب است که نیازمند بازسازی خوب بوده و تنها یک لایه دارند. همچنین کدینگ تنک برای حالتی که داده‌ها نویزی هستند بسیار مناسب است. همچنین می‌تواند برای تشخیص اشیاء به خصوص وقتی تنها یک لایه بازنمایی داریم، دقت مناسبی داشته باشد. در مقابل، RBM برای زمانی مناسب‌تر است که هدف ما رسیدن به یک بازسازی دقیق نباشد چرا که RBM دارای متغیرهای تصادفی باینری مخفی است. همچنین RBM زمانی مناسب است که بخواهیم از بازنمایی‌های سلسله‌مراتبی استفاده کنیم.

#### ۲-۱-۵ دسته‌بندی به کمک ماشین بولتزمن محدود

یک RBM یک مدل احتمالاتی مولد و بدون جهت است که از یک لایه مخفی برای مدل کردن یک توزیع بر روی متغیرهای مشاهده‌پذیر استفاده می‌کند. این مدل‌ها اغلب بدین جهت آموزش داده می‌شوند تا تنها ورودی را مدل کرده و بتوانند در یک رویکرد بدون ناظر استخراج ویژگی انجام دهند (مانند کارهای مربوط به تشخیص صوت در [۲۲]). اما این توانایی در این مدل‌ها وجود دارد تا توزیع توام ورودی و دسته متناظرشان را مدل نمایند. این توزیع توام در شکل ۲-۷ نشان داده شده است.

<sup>۳۴</sup> Maximum A Posteriori probability estimate (MAP)



شکل ۲-۷: ماشین بولتزمن محدود برای مدل کردن توزیع توام ورودی  $v$  و برچسب  $y$ . حالت واحدهای مخفی با  $h$  نشان داده شده است. [۲۳]

یک RBM با  $g_h$  واحد مخفی، یک مدل پارامتریک از توزیع توام بین یک لایه از متغیرهای مخفی (که به آن ویژگی می‌گویند)  $h = (h_1, \dots, h_{g_h})$  و متغیرهای مشاهده‌پذیر که ورودی را می‌سازند  $v = (v_1, \dots, v_{g_v})$  و همچنین برچسب  $y$  می‌باشد که می‌توان تابع انرژی را برای آن به صورت زیر تعریف نمود [۲۳]:

$$E(y, v, h) = -v^T W h - a^T v - b^T h - d^T y - h^T U y \quad (۴۶-۲)$$

که در آن  $W$  نشان‌دهنده ماتریس وزن بین واحدهای مشاهده‌پذیر و واحدهای مخفی است،  $a$  و  $b$  به ترتیب بردار بایاس برای واحدهای مخفی و مشاهده‌پذیر هستند و  $d$  و  $U$  نیز به ترتیب بردار بایاس برای واحدهای برچسب و ماتریس وزن بین واحدهای مخفی و برچسب می‌باشند. همچنین بردار برچسب به صورت  $y = (y_i)_{i=1}^c$  برای  $c$  دسته مختلف تعریف می‌گردد. اگر ورودی  $v$  را باینری فرض نماییم، می‌توان به راحتی همانند قبل توزیع شرطی را برای داده‌ها نوشت. توزیع  $P(v_i = 1 | h)$  همان رابطه (۲-۱۳) بوده و توزیع مربوط به واحدهای لایه برچسب به دلیل آنکه باید یکی از آنها یک و بقیه صفر باشد، مطابق توضیحات مربوط به واحدهای نرم بیشینه در بخش ۲-۱-۳ به صورت زیر خواهد بود:

$$P(y | h) = \frac{e^{d_y + \sum_j U_{jy} h_j}}{\sum_{y'} e^{d_{y'} + \sum_j U_{jy'} h_j}} \quad (۴۷-۲)$$

بدین ترتیب واحدهای مخفی اطلاعات تخمینی درباره بردار ورودی و همچنین برچسب داده‌ها را در خود نگه می‌دارند. توزیع شرطی مربوط به واحدهای مخفی به شرط ورودی و برچسب داده‌ها یعنی  $P(h | y, v)$  دارای شکل زیر خواهد بود:

$$P(h | y, v) = \prod_j P(h_j | y, v) \quad (۴۸-۲)$$

$$P(h_j = 1 | y, v) = \sigma \left( b_j + U_{jy} + \sum_i W_{ji} v_i \right)$$

که در آن  $\sigma(\cdot)$  تابع سیگموئید می‌باشد.

از آنجا که یک RBM یک توزیع بر روی تمام متغیرها را تعریف می‌کند، لذا روش‌های مختلفی برای آموزش آن وجود دارد. رایج‌ترین روش "آموزش مولد" نام دارد. با داشتن مجموعه آموزشی  $\Gamma = \{(\mathbf{v}^{(i)}, \mathbf{y}^{(i)})\}$  از  $N_\Gamma$  زوج داده آموزشی برچسب‌دار، می‌توان این مدل را با کمینه کردن منفی لگاریتم درستنمایی داده‌ها، آموزش داد:

$$\mathcal{L}_{gen} = - \sum_{i=1}^{N_\Gamma} \log P(\mathbf{v}^{(i)}, \mathbf{y}^{(i)}) \quad (۴۹-۲)$$

برای کمینه کردن منفی لگاریتم درستنمایی در رابطه (۴۹-۲) از گرادیان نسبت به مدل می‌توان استفاده کرد. گرادیان دقیق عبارت درستنمایی برای هر یک از پارامترهای  $\theta \in \{W, \mathbf{a}, \mathbf{b}, \mathbf{d}, U\}$  را می‌توان به صورت زیر نوشت:

$$\frac{\partial \log P(\mathbf{v}^{(i)}, \mathbf{y}^{(i)})}{\partial \theta} = -\mathbb{E}_{\mathbf{h}|\mathbf{v}^{(i)}, \mathbf{y}^{(i)}} \left[ \frac{\partial}{\partial \theta} E(\mathbf{v}^{(i)}, \mathbf{y}^{(i)}, \mathbf{h}) \right] + \mathbb{E}_{\mathbf{v}, \mathbf{y}, \mathbf{h}} \left[ \frac{\partial}{\partial \theta} E(\mathbf{v}, \mathbf{y}, \mathbf{h}) \right] \quad (۵۰-۲)$$

در اینجا نیز همانند قبل محاسبه بخش اول نتیجه رابطه (۵۰-۲) قابل محاسبه است اما قسمت دوم محاسبه ناپذیر است. خوشبختانه یک تخمین خوب از گرادیان به نام واگرایی متقابل یا CD برای این رابطه قابل استفاده است که نحوه عملکرد این روش در بخش ۲-۱-۱ توضیح داده شده است. این تخمین قسمت دوم را با یک نمونه تولید شده بعد از اجرای تعداد محدودی از نمونه‌برداری گیبز جایگزین می‌کند که حالت اولیه آن با مقدار نمونه آموزشی  $(\mathbf{v}^{(i)}, \mathbf{y}^{(i)})$  مقداردهی شده است.

محاسبه  $P(\mathbf{y}, \mathbf{v})$  محاسبه ناپذیر است اما می‌توان  $P(\mathbf{y}|\mathbf{v})$  را با گرفتن نمونه‌هایی از آن یا انتخاب دسته با بیشترین احتمال محاسبه نمود. همانطور که در [۲۴] نشان داده شده است، برای تعداد  $c$  دسته، توزیع شرطی را می‌توان به طور دقیق و کارآ به صورت زیر محاسبه نمود:

$$P(\mathbf{y}|\mathbf{v}) = \frac{e^{d_y} \prod_{j=1}^{g_h} (1 + e^{b_j + U_{j,y} + \sum_i W_{j,i} v_i})}{\sum_{\mathbf{y}'} e^{d_{y'}} \prod_{j=1}^{g_h} (1 + e^{b_j + U_{j,y'} + \sum_i W_{j,i} v_i})} \quad (۵۱-۲)$$

با محاسبه عبارت  $b_j + \sum_i W_{j,i} v_i$  و استفاده مجدد آن در ضرب زیر

$$\prod_{j=1}^{g_h} (1 + e^{b_j + U_{j,y'} + \sum_i W_{j,i} v_i}) \quad (۵۲-۲)$$

برای همه برچسب‌های  $\mathbf{y}'$  محاسبه این توزیع شرطی دارای بار محاسباتی  $O(g_h d + g_h c)$  خواهد بود.



با این حال در حالت دسته‌بندی ممکن است فقط دسته‌بندی درست مد نظر باشد و نیازی به  $P(\mathbf{v})$  مناسب نداشته باشیم. از آنجا که فرض مدل‌سازی  $P(\mathbf{v})$  به طور ضمنی در *RBM* وجود دارد و می‌تواند نادرست باشد، لذا مفید است تا به طور مستقیم به بهینه‌سازی  $P(\mathbf{y}|\mathbf{v})$  به جای  $P(\mathbf{y}|\mathbf{v})$  پردازیم و به سراغ کمینه کردن رابطه هزینه زیر برویم:

$$\mathcal{L}_{disc} = - \sum_{i=1}^{N_T} \log P(\mathbf{y}^{(i)}|\mathbf{v}^{(i)}) \quad (۵۳-۲)$$

این رویکرد آموزش را آموزش تمایزی می‌نامند و به *RBM*هایی که به این روش آموزش دیده‌اند، ماشین بولتزمن محدود تمایزی یا *DRBM*<sup>۳۷</sup> می‌گویند.

یک *DRBM* را می‌توان همچون گذشته و با واگرایی متقابل آموزش داد ولی از آنجا که  $P(\mathbf{y}|\mathbf{v})$  را می‌توان به طور دقیق محاسبه نمود، لذا گرادیان دقیق از رابطه زیر محاسبه می‌شود:

$$\begin{aligned} \frac{\partial \log P(\mathbf{y}^{(i)}|\mathbf{v}^{(i)})}{\partial \theta} &= \sum_j \phi(o_{y^{(i)},j}(\mathbf{v}^{(i)})) \frac{\partial (o_{y^{(i)},j}(\mathbf{v}^{(i)}))}{\partial \theta} \\ &\quad - \sum_{j,y'} \phi(o_{y',j}(\mathbf{v}^{(i)})) p(y'|\mathbf{v}^{(i)}) \frac{\partial (o_{y',j}(\mathbf{v}^{(i)}))}{\partial \theta} \end{aligned} \quad (۵۴-۲)$$

که در آن  $o_{y,j}(\mathbf{v}) = b_j + \sum_k W_{j,k} v_k + U_{j,y}$  می‌باشد. این گرادیان را می‌توان به طور دقیق محاسبه و در بهینه‌سازی کاهش گرادیان استفاده نمود [۲۵].

مزیت بدست آمده با آموزش تمایزی غالباً وابسته به میزان داده آموزشی در دسترس می‌باشد. مجموعه‌های آموزشی کوچکتر بیشتر به آموزش مولد گرایش داشته و مجموعه‌های بزرگتر به آموزش تمایزی علاقمند هستند. بدین ترتیب به جای آنکه تنها به یکی از این رویکردها اهمیت دهیم، می‌توان از روش ترکیبی تمایزی/مولدی با استفاده از معیارهای آموزش هر دو رویکرد، بهره برد. در این روش از معیار زیر استفاده می‌کنیم [۲۶]:

<sup>۳۶</sup> Discriminative training

<sup>۳۷</sup> Discriminative RBM (DRBM)

<sup>۳۸</sup> Hybrid discriminative\generative training

$$\mathcal{L}_{hybrid}(\Gamma) = \mathcal{L}_{disc}(\Gamma) + \alpha \mathcal{L}_{gen}(\Gamma) \quad (2-55)$$

که در آن وزن معیار مولدی با پارامتر  $\alpha$  کنترل می‌شود. در اینجا معیار مولد را می‌توان به عنوان یک تنظیم‌کننده وابسته به داده برای یک DRBM در نظر گرفت. برای آموزش یک DRBM در این رویکرد می‌توان از کاهش گرادیان آماری به همراه گرادیان محاسبه شده توسط  $\mathcal{L}_{disc}$  با ضریب  $\alpha$  استفاده نمود.

در صورتی که بخواهیم واحدهای مشاهده‌پذیر  $v$  مقادیر حقیقی بگیرند، از واحدهای گوسی مشابه آنچه در بخش ۲-۱-۱-۵ توضیح داده شد، می‌توان استفاده نمود. با این کار توزیعات شرطی روابط (۲-۴۷)، (۲-۴۸) و (۲-۵۱) بدون تغییر باقی مانده و تنها  $P(v_i|h)$  همانند رابطه (۲-۲۵) یا (۲-۳۰) محاسبه می‌شود [۲۳].

بر اساس مقایسات انجام شده بهترین کارآیی مربوط به وقتی است که از هر دو رویکرد آموزشی یعنی آموزش ترکیبی تمایزی/مولد استفاده نماییم [۲۷].

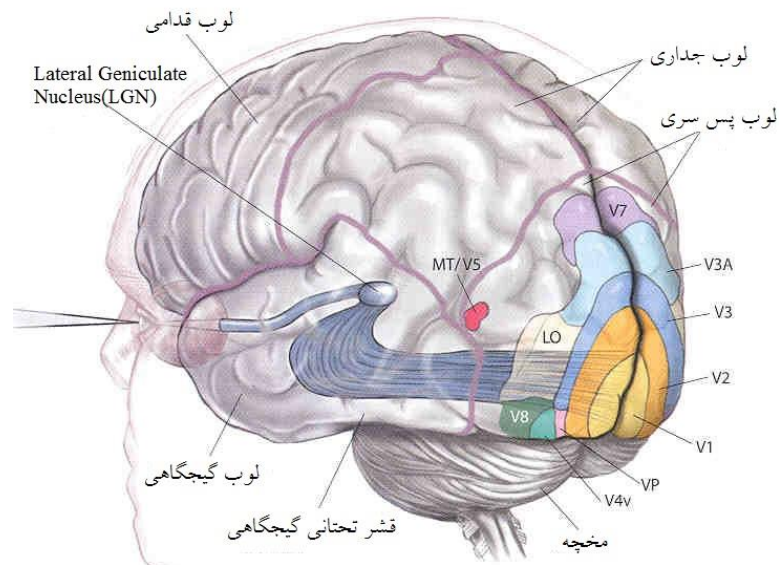
## ۲-۲ شبکه‌های باور عمیق

یکی از دلایل استفاده از معماری‌های عمیق برگرفته شده از علم نورولوژی است که انسان‌ها جهان را منطبق بر آن می‌بینند و درک می‌کنند. برای مثال مطابق شکل ۲-۸ اطلاعات تصویری از شبکه به بخشی بنام "هسته خمیده کناری" یا LGN<sup>۳۹</sup> از تالاموس رفته و سپس به سمت قشر بینایی مخ در بخش پس سری<sup>۴۰</sup> می‌رود. قشر بینایی مخ که V1 هم نامیده می‌شود به شش لایه عملیاتی مجزا تقسیم می‌گردد که از یک تا شش نامگذاری شده است. لایه ۴ به نام لایه granular نیز خودش به چهار لایه با برجسب‌های 4A، 4B، 4C $\alpha$  و 4C $\beta$  تقسیم می‌شود. بخش V1 ویژگی‌های فضایی مانند جهت را حمل می‌کند و آنها را به V2 می‌فرستد. سپس V2 اتصالات قوی را به V3، V4 و V5 می‌فرستد و همچنین یک بازخوردی از آن را هم به V1 برمی‌گرداند. بنابراین حتی برای یک عمل بینایی ساده، ده‌ها لایه و حدود ۱۴۰,۰۰۰,۰۰۰ نورون درگیر هستند. در اینجا توجه و آگاهی از اشیاء که در تالاموس پردازش می‌شود، لحاظ نشده است [۱]. بررسی‌های تئوری نیز در مقایسه با معماری‌های کم عمق نشان می‌دهد که معماری‌های عمیق کارآمدتر است چون می‌تواند بیشتر توابع رایج به خصوص توابع یادگیری با تغییرات زیاد را به صورت کارآمد و کامل مدل کند.

شبکه‌های باور عمیق مدل‌های احتمالاتی مولد هستند که شامل تعداد زیادی لایه مخفی می‌باشند، که هر لایه ارتباطات مرتبه بالا بین تراکنش‌های متغیرهای مخفی در لایه زیرین را حفظ می‌کند.

<sup>۳۹</sup> Lateral Geniculate Nucleus

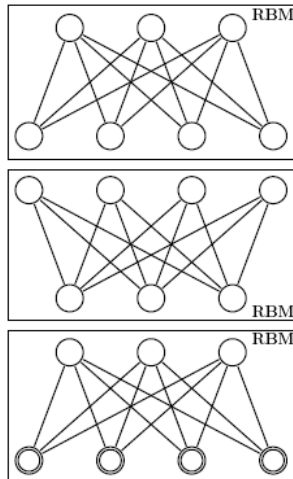
<sup>۴۰</sup> occipital lobe



شکل ۲-۸: تصویری از قسمت‌های مختلف مغز مربوط به بینایی

قسمت اصلی شبکه باور عمیق یک مدل گرافیکی بدون جهت دوبخشی است که به آن ماشین بولتزمن محدود می‌گویند. در بخش‌های قبل مروری بر ماشین‌های بولتزمن محدود داشتیم و در ادامه الگوریتم آموزشی حریمانه برای شبکه‌های باور عمیق را بررسی خواهیم کرد. ویژگی کلیدی الگوریتم آموزش لایه به لایه حریمانه آن است که می‌تواند چندین بار تکرار شود تا مدل سلسله مراتب عمیقی را آموزش دهد.

ایده موجود در الگوریتم یادگیری حریمانه برای شبکه‌های باور عمیق نسبتاً ساده است. الگوریتم یادگیری از پشته ماشین بولتزمن محدود مطابق شکل ۲-۹ استفاده می‌کند. ابتدا ماشین بولتزمن محدود زیرین را با پارامترهای  $W^1$  آموزش می‌دهد. سپس وزن‌های لایه دوم با  $W^2 = W^1 T$  مقداردهی اولیه می‌شوند تا مطمئن شویم که هر دو لایه مخفی شبکه باور عمیق حداقل به خوبی ماشین بولتزمن محدود اصلی هستند. بعد از استخراج مقادیر لایه  $h^1$  می‌توان شبکه باور عمیق را با استفاده از این داده و اصلاح  $W^2$  بهتر کرد [۱۷]. البته در حالت کلی نیازی به یکسان گرفتن اندازه ماتریس وزن  $W^1$  و  $W^2$  نیست.



شکل ۲-۹: یادگیری حریصانه پشته‌ای از ماشین‌های بولتزمن محدود که نمونه‌های سطح پایین ماشین‌های بولتزمن محدود به عنوان داده برای آموزش ماشین بولتزمن محدود بعدی استفاده می‌شود [۱۷].

این ایده می‌تواند برای آموزش لایه سوم ماشین بولتزمن محدود روی بردار  $h^2$  که از ماشین بولتزمن محدود دوم بدست آمده نیز استفاده شود. با مقداردهی  $W^3 = W^{2T}$  تضمین می‌کنیم که کران پایین لگاریتم درست‌نمایی را بهبود می‌دهیم. همچنین می‌توانیم با تغییر  $W^3$  کران را بهتر کنیم. این روش لایه به لایه می‌تواند چندین بار تکرار شود تا یک مدل سلسله مراتبی عمیق بدست آید. این روش در الگوریتم زیر مشاهده می‌شود.

الگوریتم ۲-۳: فرآیند یادگیری حریصانه بازگشتی در DBN [۱۷]

۱. تعیین پارامترهای  $W^1$  از اولین لایه  $RBM$  به داده
۲. ثابت کردن پارامتر  $W^1$  و استفاده از نمونه‌های  $h^1$  از  $Q(h^1|v) = P(h^1|v; W^1)$  به عنوان داده برای آموزش ویژگی‌های باینری لایه بعد در یک  $RBM$
۳. ثابت کردن پارامتر  $W^2$  که لایه دوم ویژگی‌ها را تعریف می‌کند و استفاده از نمونه‌های  $h^2$  از  $Q(h^2|h^1) = P(h^2|h^1; W^2)$  به عنوان داده برای آموزش ویژگی‌های باینری لایه سوم
۴. ادامه این کار به صورت بازگشتی برای لایه‌های بعد

### ۳-۲ جمع‌بندی

شبکه‌های باور عمیق به عنوان یک ابزار قوی برای یادگیری ویژگی و طبقه‌بندی در حوزه‌های مختلف صوت و گفتار و همچنین پردازش تصویر مطرح می‌باشد. در این گزارش سعی شده به بررسی جنبه‌های مختلف موجود در این نوع شبکه پرداخته شود و در نهایت ابزاری برای استفاده از آن معرفی گردد.

در راستای معرفی شبکه‌هایی باور عمیق به سبب آن که این شبکه‌ها از عناصری به نام ماشین بولتزمن محدود ساخته شده‌اند، بیشتر اصلاحات انجام شده در مقالات نیز مربوط به این عنصر می‌باشد. انواع تغییرات در شبکه

بولتزمن محدود شامل استفاده از دسته‌های کوچک، نحوه مقاردهی اولیه وزن‌ها و بایاس، به کارگیری ممتنم، تضعیف وزن، ماشین بولتزمن محدود گوسی برای امکان استفاده از مقادیر حقیقی، ماشین بولتزمن محدود با واحدهای نرم بیشینه برای امکان استفاده از مقادیر صحیح، ماشین‌های بولتزمن محدود کانولوشنال برای امکان بررسی داده‌ها و تصاویر حجیم و همچنین روش‌هایی جهت امکان طبقه‌بندی با کمک ماشین بولتزمن محدود بعضی از موارد مطرح شده برای اصلاح ماشین‌های بولتزمن محدود و در نتیجه شبکه‌های باور عمیق بودند که در این بخش و بعضی در ضمیمه ۵-۱ بررسی گردیدند.

یکی دیگر از اصلاحات انجام شده در آموزش شبکه‌های باور عمیق مربوط به نحوه محاسبه گرادیان لگاریتم احتمال داده آموزشی است. به سبب محاسبه‌ناپذیر بودن این گرادیان از روش‌های تخمین گرادیان برای این منظور استفاده می‌گردد. لذا تخمین هرچه بهتر این گرادیان از چالش‌های موجود در این نوع شبکه است و به همین علت روش‌های مختلفی برای بهبود آن ارائه شده است. روش واگرایی متقابل، روش واگرایی متقابل پایدار، روش واگرایی متقابل پایدار با هموارسازی جزئی و روش واگرایی متقابل پایدار سریع از مواردی است که در این گزارش به بررسی و توضیح آن‌ها پرداخته شد. تقریباً در همه این روش‌ها هدف یافتن یک نمونه بهتر از مدل است تا نیاز به اجرای زیاد نمونه برداری گیبز کاهش یابد.

اما یکی دیگر از اصلاحات انجام شده تنک‌سازی واحدهای مخفی بود. به سبب مزایایی که از تنک شدن واحدها به دست می‌آید دو روش برای آن مطرح گردید. در نهایت هر دو روش به نتیجه مشابهی برای یادگیری می‌رسیدند. در هر دو روش بعد از یک مرحله آموزش با استفاده از گرادیان تخمین زده شده از لگاریتم احتمال داده آموزشی در یک مرحله نیز به اصلاح پارامترها برای هدف تنک‌سازی می‌پردازند.

در ادامه به بررسی جعبه ابزار طراحی شده برای این مدل می‌پردازیم و توابع و کلاس‌های تعریف شده برای آن را معرفی خواهیم کرد. همچنین با آوردن مثال‌هایی از این جعبه ابزار و نمایش خروجی‌های آن، بعضی از قابلیت‌های آن به تصویر کشیده شده است.

---

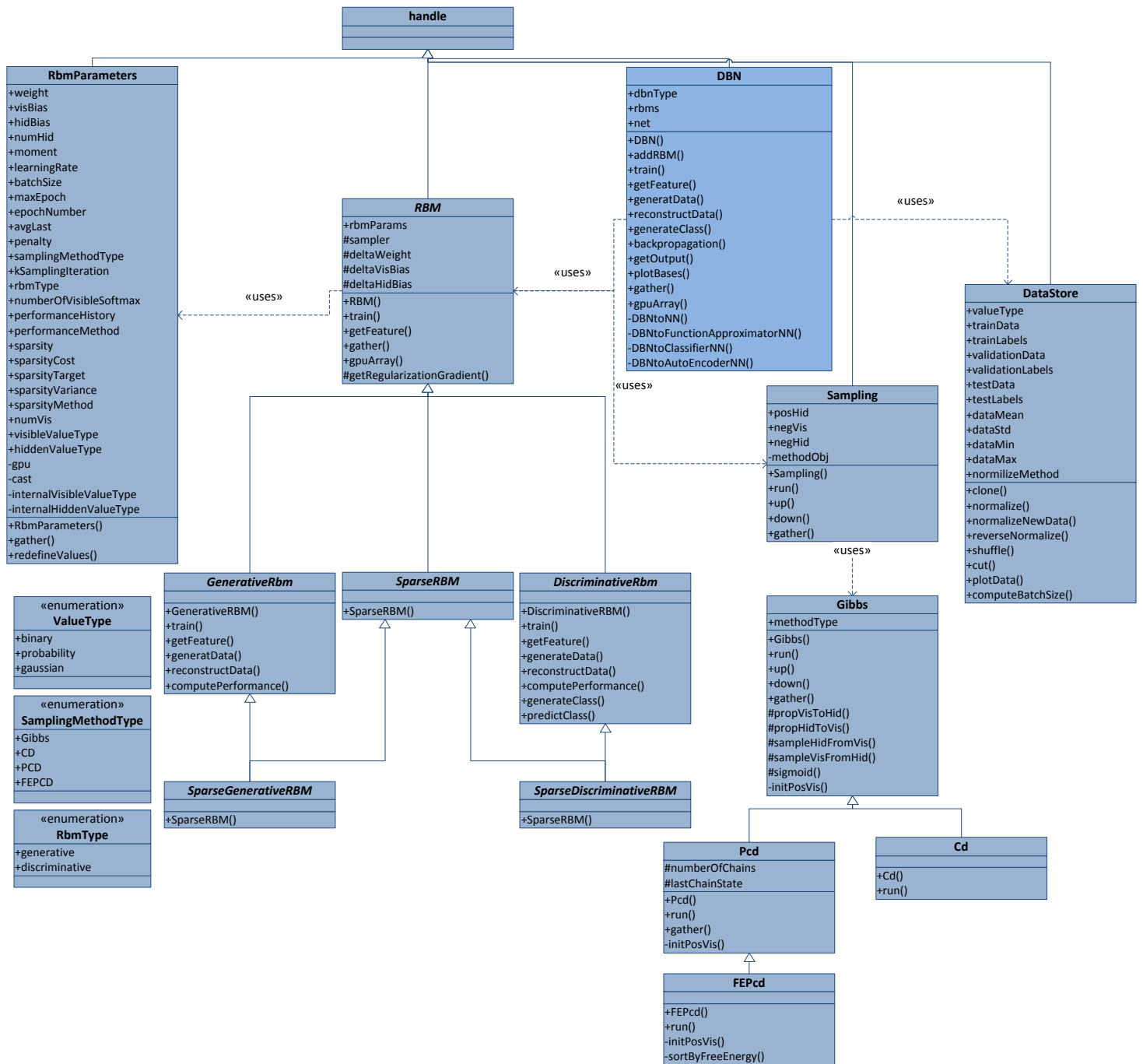
### ۳ جعبه‌ابزار <sup>۴۱</sup>DeeBNet برای کار با شبکه‌های باور عمیق

این جعبه ابزار دارای دو پوشه به صورت بسته<sup>۴۲</sup> یا پکیج است که دارای تعدادی کلاس و تابع برای کار با داده‌ها و همچنین نمونه‌برداری است و در کنار آن تعدادی کلاس برای تعریف ماشین بولتزمن محدود و شبکه باور عمیق وجود دارد. در ادامه به توضیح این بسته‌ها و همچنین کلاس‌های تعریف شده در این جعبه ابزار خواهیم پرداخت. در شکل زیر نحوه ارتباط بین کلاس‌ها نشان داده شده است.

---

<sup>۴۱</sup> Deep Belief Network

<sup>۴۲</sup> Package



شکل ۱-۳: نمایش نحوه ارتباط بین کلاس‌ها در جعبه ابزار DeeBNNet

### ۱-۳ کلاس ValueType

این کلاس که در واقع یک شمارنده یا enumeration است، نوع واحدهای موجود در یک شبکه باور عمیق را تعریف می‌کند. انواع تعریف شده در این کلاس عبارتند از:

- نوع binary: واحدها تنها مقدار 0 یا 1 می‌گیرند.
- نوع probability: واحدها تنها مقادیر حقیقی در بازه [0,1] را می‌گیرند.

- نوع gaussian: واحدها هر مقدار حقیقی با میانگین ۰ و واریانس ۱ می‌توانند بگیرند.

مثال در این کد نوع مقادیر موجود در شیء data از نوع گوسی (یعنی هر مقداری با میانگین صفر و واریانس ۱) تعریف شده است.

```
data.valueType=ValueTypes.gaussian;
```

### ۲-۳ کلاس RbmType

این کلاس که در واقع یک شمارنده یا enumeration است، نوع RBM را تعریف می‌کند. انواع تعریف شده در این کلاس عبارتند از:

- نوع generative: نوعی از RBM که به برچسب داده‌ها کاری نداشته و در نهایت یک مدل از نوع مولد برای ما می‌سازد.
- نوع discriminative: نوعی از RBM که با برچسب داده‌ها یک مدل discriminative را ساخته و می‌توان با آن داده‌ها را دسته‌بندی نمود. در این نوع از RBM از واحدهای softmax برای افزودن امکان دسته‌بندی به RBM استفاده می‌شود. (بخش ۲-۱-۵)

مثال در این کد نوع RBM در پارامترهای آن از نوع discriminative تعریف شده است.

```
rbmParams.rbmType=RbmTypes.discriminative;
```

### ۳-۳ کلاس RbmParameters

این کلاس دارای ویژگی‌هایی است که تمامی اطلاعات مربوط به یک ماشین بولتزمن محدود را در خود دارد. در شکل زیر این ویژگی‌ها مشاهده می‌شود. بسیاری از این پارامترها و توضیح مربوط به آن‌ها در [۱۶] بیان شده است.



RbmParameters
+weight
+visBias
+hidBias
+numHid
+moment
+learningRate
+batchSize
+maxEpoch
+epochNumber
+avgLast
+penalty
+samplingMethodType
+kSamplingIteration
+rbmType
+numberOfVisibleSoftmax
+performanceHistory
+performanceMethod
+sparsity
+sparsityCost
+sparsityTarget
+sparsityVariance
+sparsityMethod
+numVis
+visibleValueType
+hiddenValueType
-gpu
-cast
-internalVisibleValueType
-internalHiddenValueType
+RbmParameters()
+gather()
+redefineValues()

شکل ۳-۲: اجزای تشکیل دهنده کلاس RbmParameters

پارامتر `weight` یک ماتریس دو بعدی است که وزن‌های لایه مشاهده‌پذیر به لایه پنهان را نشان می‌دهد. تعداد ردیف‌های این ماتریس دو بعدی به تعداد واحدهای مشاهده‌پذیر و تعداد ستون‌های آن به تعداد واحدهای مخفی است. پارامترهای `visBias` و `hidBias` نیز بایاس‌های واحدهای مشاهده‌پذیر و مخفی را نشان می‌دهد. پارامتر `numHid` نیز نشان‌دهنده تعداد پارامترهای مخفی است.

پارامتر `moment` و `learningRate` به ترتیب مربوط به ممنت و نرخ یادگیری در فرآیند یادگیری است. پارامتر `batchSize` اندازه نمونه‌های موجود در هر `batch` را در فرآیند محاسبه گرادیان و اصلاح وزن‌ها و بایاس نشان می‌دهد. همچنین پارامتر `maxEpoch` نشان‌دهنده ماکزیمم تعداد گام‌هایی است که در فرآیند آموزشی بر روی کل داده آموزشی اجرا می‌گردد.

پارامتر `epochNumber` شماره `epoch` فعلی را نشان می‌دهد و اگر چندبار `RBM` آموزش داده شود، این مقدار از حالت قبلی شمارش خود را ادامه می‌دهد. همچنین پارامتر `avgLast` نیز مربوط به نوعی میانگین‌گیری در پارامترهای مدل در چند `Epoch` آخر است که این تعداد با پارامتر `avgLast` مشخص می‌شود. این ایده در پایان‌نامه آقای `Kevin Swersky` مطرح شده است [۲۸].

پارامتر `penalty` مربوط به جریمه‌ای است که به بزرگ شدن اندازه وزن‌ها داده می‌شود. پارامتر `samplingMethodType` نشان‌دهنده روش نمونه‌برداری همچون روش گیبز و یا `CD` است و در نهایت پارامتر `kSamplingIteration` تعداد دفعاتی که نمونه‌برداری برای تولید یک نمونه اجرا می‌شود را نشان می‌دهد.

پارامتر بعدی یعنی `rbmType` نشان‌دهنده نوع `RBM` بوده و مقدار آن با توجه به بخش ۳-۲ تعیین می‌شود. همچنین پارامتر `numberOfVisibleSoftmax` نشان‌دهنده تعداد عناصر `softmax` در ساخت `RBM` های تمایزی است که توضیح آن در بخش ۲-۱-۵ آمده است.

پارامترهای `performanceHistory` و همچنین `PerformanceMethod` نیز به ترتیب نگهدارنده تغییر کارایی `RBM` با افزایش هر `epoch` و روش محاسبه کارایی است. روش‌های مختلف محاسبه کارایی در اینجا عبارتند از روش استفاده از اندازه انرژی آزاد، امکان بازسازی داده و همچنین دقت دسته‌بندی. البته روش آخر فقط در `RBM` های تمایزی قابل استفاده است.

پارامترهای `sparsity`، `sparsityCost`، `sparsityTarget`، `sparsityVariance` و `sparsityMethod` مربوط به تنظیم `RBM` برای امکان استفاده از تنک بودن در آن است که به ترتیب نشان‌دهنده استفاده از تنک سازی، میزان تاثیر تنک سازی، مقدار هدف در میزان فعالیت واحدهای مخفی، واریانس در روش تنک سازی نرمال و روش تنک سازی است. توضیح بیشتر این پارامترها در بخش ۲-۱-۴ آمده است.

همچنین پارامتر `GPU` نشان‌دهنده استفاده کردن و یا نکردن از `GPU` در محاسبات است که با تنظیم این پارامتر در پارامترهای `RBM`، بیشتر محاسبات در `GPU` با سرعتی بسیار بالاتر انجام می‌شود. پارامتر `cast` نیز که مقدار `@double` و یا `@single` می‌گیرد، نشان‌دهنده آن است که محاسبات در `CPU` و یا `GPU` با چه دقت اعشاری انجام شود.

سه پارامتر `numVis`، `visibleValueType` و `hiddenValueType` که به ترتیب مربوط به تعداد عناصر قابل مشاهده، نوع واحدهای قابل مشاهده و نوع واحدهای مخفی است از نوع `Dependent` می‌باشند. این بدان معنا است که مقادیر این پارامترها به صورت تابع مقداردهی و یا بازایی می‌شوند. نام توابع مربوط به این عناصر در زیر آمده است. این توابع نمی‌توانند از خود پارامترهای تعریف شده به عنوان متغیر داده استفاده کنند و تنها یک نام مجازی هستند و لذا برای `visibleValueType` و `hiddenValueType` پارامترهای متناظر دیگری به صورت

خصوصی تعریف شده است ( `internalVisibleValueType` و `internalHiddenValueType` ) تا مقادیر این پارامترها را در خود نگه دارند.

```
function numVis=get.numVis(obj)
function visibleValueType=get.visibleValueType(obj)
function set.visibleValueType(obj,value)
function hiddenValueType=get.hiddenValueType(obj)
function set.hiddenValueType(obj,value)
```

تابع سازنده این کلاس به صورت زیر تعریف شده است.

```
function obj=RbmParameters(numHid,hiddenValueType)
```

آرگومان‌های ورودی تابع سازنده این کلاس تعداد واحدهای مخفی و نوع آن را مشخص می‌کند. در صورتی که مقداری برای این دو آرگومان مشخص نشده باشد، به صورت پیش فرض تعداد ۱۰۰ واحد مخفی از نوع باینری برای لایه مخفی در نظر گرفته می‌شود. همچنین برای پارامترهای دیگر نیز مقادیر پیش فرضی در نظر گرفته شده که از جمله آن تعیین الگوریتم CD به عنوان روش نمونه‌برداری است.

```
function [obj]=gather(obj)
```

این تابع برای استخراج مقادیر پارامترهای این شیء از حافظه GPU به حافظه محلی استفاده می‌شود. لذا در صورتی که قصد دارید DBN ساخته شده به کمک GPU را در کامپیوتر دیگری بدون GPU استفاده کنید، باید ابتدا آن را به کمک تابع `gather` به حالت عادی تبدیل نمایید.

```
function []=redefineValues(obj)
```

این تابع که قبل از شروع یادگیری صدا زده می‌شود، امکان استفاده از GPU و همچنین `cast` مورد نظر را بر روی پارامترها اعمال می‌نماید.

البته بعد از ساخت یک شیء از نوع `RbmParameters` می‌توان مقادیر پارامترهای آن را همچون مثال زیر تغییر داد.

```
rbmParams=RbmParameters(250,ValueType.bionomial);
rbmParams.batchSize=150;
rbmParams.learningRate=0.01;
rbmParams.rbmType=RbmType.discriminative;
rbmParams.performanceMethod='classification';
```

### ۳-۴ بسته `DataClasses`

در این بسته توابع و کلاس‌های مربوط به کار با داده‌ها پیاده‌سازی شده است. گذاشتن + در ابتدای نام این پوشه موجب می‌شود تا این پوشه به عنوان یک بسته یا پکیج در MATLAB شناخته شود و دیگر نیازی به اضافه

کردن مسیر این فولدر به صورت مجزا نباشد. در این بسته یک کلاس برای کار با داده‌ها قرار داده شده است که در ادامه به توضیح آن خواهیم پرداخت.

### ۳-۴-۱ کلاس DataStore

این کلاس جهت نگهداری مقادیر داده‌های آموزشی، تست و ارزیابی استفاده می‌شود. این کلاس از کلاس `handle` ارث می‌برد تا بتوانیم از یکی از ویژگی‌های مهم این کلاس بهره ببریم. با کمک این ویژگی در صورتی که یکی از آرگومان‌های یک تابع از نوع کلاس `DataStore` باشند، شیء جدیدی برای آن ساخته نشده و از همان شیء ساخته شده قبل استفاده می‌کند. بدین ترتیب با توجه به اینکه اشیاء مربوط به این کلاس داده‌های زیادی را در خود دارد و فضای حافظه زیادی اشغال می‌نماید، این ویژگی موجب استفاده بهینه‌تر در کار با داده‌ها را برای ما فراهم می‌کند. در شکل زیر اجزای مربوط به کلاس `DataStore` مشاهده می‌شود.

DataStore
+valueType
+trainData
+trainLabels
+validationData
+validationLabels
+testData
+testLabels
+dataMean
+dataStd
+dataMin
+dataMax
+normalizeMethod
+clone()
+normalize()
+normalizeNewData()
+reverseNormalize()
+shuffle()
+cut()
+plotData()
+computeBatchSize()

شکل ۳-۳: اجزای تشکیل دهنده کلاس DataStore

در این کلاس ویژگی `valueType` نوع مقادیر داده‌ها در این کلاس را مشخص می‌نماید. این ویژگی از یک enumeration به نام `ValueType` مقدار می‌گیرد و می‌تواند مقادیری همچون `باینری` یا `گوسی` باشد. در بخش ۳-۱ کلاس `ValueType` معرفی شده است.

داده‌ها و همچنین برچسب‌های مربوط به آن‌ها در شش ویژگی بعدی قرار می‌گیرند. نکته قابل توجه در این ویژگی‌ها آن است که داده‌ها به صورت یک ماتریس  $m \times n$  بعدی است که  $m$  تعداد نمونه‌های موجود در آن

ماتریس می‌باشد. همچنین ویژگی برچسب‌ها نیز یک بردار  $m$  بعدی است که مقادیر آن اعداد صحیح بزرگتر و مساوی صفر است که دسته داده‌های متناظر را مشخص می‌کند.

اما چهار ویژگی دیگر مربوط به زمانی است که با کمک تابع `normalize` داده‌ها را نرمال می‌کنیم. در واقع با نگهداری مقدار انحراف معیار و میانگین در روش `meanvar` (در ویژگی‌های `dataMean` و `dataStd`) و نگهداری ماکزیمم و مینیمم در روش `minmax` (در ویژگی‌های `dataMin` و `dataMax`) به اشیاء این کلاس اجازه می‌دهیم تا بتوانند داده‌های جدیدی را نیز نرمالیزه کرده و همچنین داده‌های نرمال شده را به حالت اول خود برگردانند.

```
function DataStoreObj=clone(obj)
```

کاربرد تابع `clone` در ساخت یک شیء همانند شیء موجود است. از آنجا که کلاس `DataStore` از نوع `handle` است لذا اگر تغییری در آن در هر جایی که به صورت آرگومان صدا زده شده، بوجود آید شیء اصلی تغییر می‌کند. لذا در جایی که بخواهیم می‌توانیم قبل از تغییر یک کپی از شیء را گرفته و در کپی بوجود آمده تغییرات لازم را بوجود آوریم.

```
function normalize(obj,method)
```

تابع `normalize` جهت نرمال‌سازی مقادیر داده‌های آموزشی، تست و ارزیابی استفاده می‌شود. در روش `minmax` مقادیر داده‌ها به بازه بین ۰ و ۱ نگاشت پیدا می‌کنند. در ضمن بعد از نرمال‌سازی به خاطر وجود مقادیر در بازه ۰ و ۱ مقدار `valueType` به نوع `probability` تبدیل می‌شود. همچنین در روش `meanvar` مقادیر واحدها دارای میانگین صفر و واریانس یک خواهد بود و مقدار `valueType` به نوع `gaussian` تبدیل خواهد شد.

```
function normalizedData=normalizeNewData(obj,data)
```

تابع `normalizeNewData` جهت نرمال‌سازی داده‌های جدید استفاده می‌شود. در واقع با توجه به نوع نرمال‌سازی استفاده شده در داده‌های آموزشی، داده‌های جدید نیز نرمال می‌شوند. داده‌های موجود در `data` نیز یک ماتریس  $m*n$  است که  $m$  تعداد نمونه‌های تست و  $n$  تعداد ابعاد ورودی است.

```
function deNormalizedData=reverseNormalize(obj,dataMatrix)
```

تابع `reverseNormalize` برای برگرداندن داده‌های نرمال شده به وضعیت اولیه آن است. با کمک این تابع با توجه به شیوه نرمال شدن داده‌ها، می‌توان مجدداً داده‌ها را به شکل اولیه خود برگرداند. ماتریس `dataMatrix` نیز یک ماتریس  $m*n$  است که  $m$  تعداد نمونه‌های تست و  $n$  تعداد ابعاد ورودی است که نرمال شده است.

```
function shuffle(obj)
```

```
function cut(obj,cutRatio)
```

تابع `shuffle` تنها داده‌های آموزشی را به صورت رندوم پخش می‌کند. تابع `cut` نیز تنها داده‌های آموزشی را متناسب با مقدار آرگومان خود، کوچک می‌کند. به عنوان مثال اگر مقدار ورودی تابع `cut` برابر ۴ باشد بدین معنی است که تنها یک چهارم ابتدای داده‌ها آموزشی نگه داشته شده و بقیه دور ریخته می‌شود. کاربرد این تابع جهت کوچک سازی داده آموزشی برای اجرای سریعتر الگوریتم‌های یادگیری است.

```
function batchSize=computeBatchSize(obj)
```

این تابع برای محاسبه یک مقدار مناسب برای اندازه بلوک‌های مورد استفاده برای نرمال کردن و همچنین shuffle کردن داده‌ها از روی حجم دادگان و حافظه خالی سیستم می‌باشد.

```
function plotData(dataCells, isInversed, sizeX, sizeY)
```

تابع آخر نیز که از نوع Static بوده و لذا بدون ساختن شیء از کلاس مربوطه، قابل استفاده است، تابع plotData می‌باشد. این تابع آرایه‌ای سلولی از داده‌ها را گرفته و در یک تصویر در کنار هم نمایش می‌دهد. در واقع هر یک از سلول‌های آرگومان ورودی دارای یک ماتریسی از نمونه‌هایی است که برای نمایش به این تابع ارسال شده است. کاربرد این تابع بیشتر برای مواقعی است که بخواهیم نتیجه یک پردازش مشخص همچون بازسازی داده‌ها توسط شبکه باور عمیق را با داده اصلی مقایسه نماییم. نمونه‌ای از شکل رسم شده توسط این تابع را در زیر مشاهده می‌نمایید.



1



2

شکل ۳-۴: نمایش ۱۰۰ نمونه داده به کمک تابع plotData. در اینجا تصویر اول مربوط به ۱۰۰ نمونه از دادگان MNIST و تصویر دوم مربوط به تصاویر بازسازی شده متناظر آن‌ها است که هر یک از این ۱۰۰ نمونه و بازسازی شده آن در یک سلول مجزا به تابع ارسال شده است. کد مربوطه در فایل test\_plotData.m قرار دارد.

گاهی اوقات داده‌های تصویری باید برای رسم درست یک چرخش داشته باشند (همچون داده‌های MNIST) که آرگومان ورودی isInversed این مشخصه را تعیین می‌کند. همچنین از آنجا که نمونه داده‌های استفاده شده در شبکه باور عمیق به صورت یک بردار ظاهر می‌شوند (مثل بردارهایی با ۷۸۴ بعد در MNIST) لذا در هنگام رسم باید اندازه‌های اصلی تصویر را نیز به تابع معرفی نمود (مثلاً اندازه ۲۸\*۲۸ در نمونه‌های MNIST) که آرگومان‌های sizeX و sizeY برای این منظور تعریف شده‌اند. البته در صورتی که مقداری برای این آرگومان‌ها مشخص نشده باشد، از مقدار جذر طول بردار نمونه‌ها برای این اندازه‌ها استفاده می‌شود.

### ۵-۳ بسته Sampling Classes

این بسته یا پکیج، شامل کلاس‌هایی از انواع روش‌های نمونه‌برداری است. در ادامه به توضیح موارد موجود در این بسته می‌پردازیم.

### ۱-۵-۳ کلاس SamplingMethodType

این کلاس یک نوع شمارنده یا enumeration است که روش نمونه‌برداری را در DBN مشخص می‌کند. انواع روش‌های نمونه‌برداری تعریف شده در این جعبه‌ابزار عبارتند از:

- روش Gibbs
- روش CD
- روش PCD
- روش FEPCD

### ۲-۵-۳ کلاس Gibbs

این کلاس جهت نمونه‌برداری از مدل RBM استفاده می‌شود. با کمک این کلاس می‌توان به روش نمونه‌برداری گیبز (بخش ۲-۱-۱)، از یک مدل RBM نمونه‌برداری نمود. در شکل ۵-۳ اجزای تشکیل دهنده کلاس Gibbs نمایش داده شده است.

Gibbs
+methodType
+Gibbs()
+run()
+up()
+down()
+gather()
#propVisToHid()
#propHidToVis()
#sampleHidFromVis()
#sampleVisFromHid()
#sigmoid()
-initPosVis()

شکل ۵-۳: اجزای تشکیل دهنده کلاس Gibbs

در این کلاس ویژگی methodType قرار دارد که نوع روش نمونه‌برداری در آن می‌باشد.

```
function obj=Gibbs ()
```

این تابع، سازنده کلاس می‌باشد. در این تابع مقدار ویژگی methodType برابر مقدار 'Gibbs' می‌شود.

`function [obj, posHid, negVis, negHid]=run(obj, modelParams, posVis)`  
این تابع برای اجرای نمونه‌برداری به روش گیبز می‌باشد. ورودی‌های این تابع `posVis` و `modelParams` است که به ترتیب مربوط به نمونه‌های قابل مشاهده در مرحله اول اجرای الگوریتم (توضیح بیشتر در بخش ۲-۱-۱) و پارامترهای مدل می‌باشد. البته در روش گیبز نمونه‌های قابل مشاهده در مرحله اول به صورت تصادفی انتخاب می‌شود و `posVis` فقط برای نمونه‌های واحدهای مخفی فاز مثبت استفاده می‌گردد.

خروجی‌های مدل نیز به ترتیب عبارتند از مقادیر نمونه‌برداری شده برای واحدهای مخفی در مرحله اول و نمونه‌های بدست آمده در مرحله آخر برای واحدهای قابل مشاهده و مخفی که توضیح بیشتر آن در بخش ۲-۱-۱ آمده است.

`function [hidSample, hidProb]=up(obj, modelParams, visSample)`  
این تابع مقادیر نمونه‌های قابل مشاهده و پارامترهای مدل را دریافت کرده و از روی آن نمونه‌های بدست آمده برای واحدهای مخفی و احتمال فعال شدن هر یک را بر می‌گرداند.

`function [visSample, visProb]=down(obj, modelParams, hidSample)`  
این تابع نیز همچون تابع قبلی است با این تفاوت که نمونه‌های واحدهای مخفی را گرفته و نمونه‌های بدست آمده برای واحدهای قابل مشاهده و احتمال فعال شدن هر یک را بر می‌گرداند.

`function [y]=sigmoid(~, x)`  
این تابع برای محاسبه تابع سیگموئید استفاده می‌شود. این تابع از نوع دسترسی محافظت شده (protected) می‌باشد و لذا کلاس‌هایی که از این کلاس ارث می‌برند می‌توانند از این تابع استفاده نمایند ولی در جاهای دیگر قابل دسترس نیست.

`function [visInput]=propHidToVis(~, modelParams, hid)`  
این تابع برای محاسبه انتشار وزندار مقادیر واحدهای مخفی به واحدهای قابل مشاهده استفاده می‌شود. در واقع این تابع مقدار  $a_i + \sum_j h_j w_{ij}$  را در رابطه (۲-۱۳) بدست می‌آورد.

`function [hidInput]=propVisToHid(~, modelParams, vis)`  
این تابع برای محاسبه انتشار وزندار مقادیر واحدهای قابل مشاهده به واحدهای مخفی استفاده می‌شود. در واقع این تابع مقدار  $b_j + \sum_i v_i w_{ij}$  را در رابطه (۲-۱۲) بدست می‌آورد.

`function [visSample, visProb]=sampleVisFromHid(obj, modelParams, visInput)`  
این تابع با توجه به مقادیر بدست آمده برای ورودی واحدهای قابل مشاهده، از روی احتمال فعال شدن هر واحد نمونه‌برداری انجام می‌دهد. بردار `visInput` ورودی هر واحد قابل مشاهده را طبق رابطه (۲-۱۳) نشان می‌دهد. خروجی این توابع نیز به ترتیب مربوط به نمونه بدست آمده برای واحدها و احتمال فعال شدن هر واحد می‌باشد. در این تابع نمونه‌برداری بر اساس نوع واحدهای قابل مشاهده به صورت‌های متفاوتی انجام می‌شود.

`function [hidSample, hidProb]=sampleHidFromVis(obj, modelParams, hidInput)`



این تابع با توجه به مقادیر بدست آمده برای ورودی واحدهای مخفی، از روی احتمال فعال شدن هر واحد نمونه‌برداری انجام می‌دهد. بردار `hidInput` ورودی هر واحد مخفی را طبق رابطه (۲-۱۲) نشان می‌دهد. خروجی این توابع نیز به ترتیب مربوط به نمونه بدست آمده برای واحدها و احتمال فعال شدن هر واحد می‌باشد. در این تابع نمونه‌برداری بر اساس نوع واحدهای مخفی به صورت‌های متفاوتی انجام می‌شود.

```
function [posVis]=initPosVis(~,modelParams,posVis)
```

این تابع برای درست کردن مقادیر تصادفی اولیه برای نمونه‌برداری در روش گیبز استفاده می‌شود. ورودی این تابع `posVis` است که تنها برای بدست آوردن اندازه ماتریس مقادیر اولیه استفاده می‌شود. این تابع از نوع `private` تعریف شده و در نتیجه در جایی خارج از این کلاس در دسترس نمی‌باشد.

### ۳-۵-۳ کلاس Cd

این کلاس جهت نمونه‌برداری از مدل `RBM` استفاده می‌شود. با کمک این کلاس می‌توان به روش نمونه‌برداری واگرایی متقابل (`Contrastive Divergence`) (بخش ۲-۱-۱-۱)، از یک مدل `RBM` نمونه‌برداری نمود. در شکل ۳-۶ اجزای تشکیل دهنده کلاس `Cd` نمایش داده شده است.

Cd
+Cd()
+run()

شکل ۳-۶: اجزای تشکیل دهنده کلاس Cd

این کلاس از کلاس `Gibbs` ارث می‌برد لذا بیشتر ویژگی‌ها و توابع آن را به ارث می‌برد و تنها توابع سازنده و `run` بازنویسی شده‌اند.

```
function obj=Cd()
```

این تابع، سازنده کلاس می‌باشد. در این تابع مقدار ویژگی `methodType` برابر مقدار 'Cd' می‌شود.

```
function [obj,posHid,negVis,negHid]=run(obj,modelParams,posVis)
```

این تابع برای اجرای نمونه‌برداری به روش واگرایی متقابل می‌باشد. ورودی‌های این تابع `posVis` و `modelParams` است که به ترتیب مربوط به نمونه‌های قابل مشاهده در مرحله اول اجرای الگوریتم (توضیح بیشتر در بخش ۲-۱-۱-۱) و پارامترهای مدل می‌باشد. در روش `Cd` نمونه‌های قابل مشاهده در مرحله اول از روی داده‌های آموزشی ارسال شده استفاده می‌کند.

خروجی‌های مدل نیز به ترتیب عبارتند از مقادیر نمونه‌برداری شده برای واحدهای مخفی در مرحله اول و نمونه‌های بدست آمده در مرحله آخر برای واحدهای قابل مشاهده و مخفی که توضیح بیشتر آن در بخش ۲-۱-۱ آمده است.

این کلاس جهت نمونه‌برداری از مدل RBM استفاده می‌شود. با کمک این کلاس می‌توان به روش نمونه‌برداری واگرایی متقابل پایدار (Persistent Contrastive Divergence) (بخش ۲-۱-۱-۲)، از یک مدل RBM نمونه‌برداری نمود. در شکل ۳-۷ اجزای تشکیل دهنده کلاس Pcd نمایش داده شده است.

Pcd
#numberOfChains
#lastChainState
+Pcd()
+run()
+gather()
-initPosVis()

شکل ۳-۷: اجزای تشکیل دهنده کلاس Pcd

این کلاس از کلاس Gibbs ارث می‌برد لذا بیشتر ویژگی‌ها و توابع آن را به ارث می‌برد و برای آن توابع سازنده و run بازنویسی شده و دو ویژگی و یک تابع به آن اضافه گشته است. دو ویژگی اضافه شده در آن numberOfChains و lastChainState است. ویژگی اول نشان‌دهنده تعداد زنجیره‌های نمونه‌برداری PCD است و ویژگی دوم نگهدارنده زنجیره‌هایی است که در هر مرحله از نمونه‌برداری استفاده می‌شود (توضیح بیشتر در بخش ۲-۱-۱-۲).

```
function obj=Pcd()
```

این تابع، سازنده کلاس می‌باشد. در این تابع مقدار ویژگی methodType برابر مقدار 'Pcd' می‌شود.

```
function [obj, posHid, negVis, negHid]=run(obj, modelParams, posVis)
```

این تابع برای اجرای نمونه‌برداری به روش واگرایی متقابل پایدار می‌باشد. ورودی‌های این تابع posVis و modelParams است که به ترتیب مربوط به نمونه‌های قابل مشاهده در مرحله اول اجرای الگوریتم (توضیح بیشتر در بخش ۲-۱-۱-۲) و پارامترهای مدل می‌باشد. در روش Pcd نمونه‌های قابل مشاهده در مرحله اول برای بدست آوردن نمونه‌های واحدهای مخفی در posHid استفاده می‌شود اما برای بدست آوردن نمونه‌های مدل در ابتدا از مقادیر تصادفی شروع کرده و سپس در هر مرحله از خروجی مرحله قبل استفاده می‌کند.

خروجی‌های مدل نیز به ترتیب عبارتند از مقادیر نمونه‌برداری شده برای واحدهای مخفی در مرحله اول و

نمونه‌های بدست آمده در مرحله آخر برای واحدهای قابل مشاهده و مخفی که توضیح بیشتر آن در بخش ۲-۱-۱-۲ آمده است.

```
function [posVis]=initPosVis(~, modelParams, numberOfChains)
```

این تابع مشابه تابعی با همین نام در کلاس Gibbs است با این تفاوت که به تعداد زنجیره‌های لازم نمونه تصادفی تولید می‌کند.

این کلاس جهت نمونه‌برداری از مدل RBM استفاده می‌شود. با کمک این کلاس می‌توان به روش نمونه‌برداری انرژی آزاد در واگرایی متقابل پایدار (Free Energy in Persistent Contrastive Divergence) (بخش ۲-۱-۱-۲)، از یک مدل RBM نمونه‌برداری نمود. در شکل ۳-۸ اجزای تشکیل دهنده کلاس Pcd نمایش داده شده است.

FEPcd
+FEPcd() +run() -initPosVis() -sortByFreeEnergy()

شکل ۳-۸: اجزای تشکیل دهنده کلاس FEPcd

این کلاس از کلاس Pcd ارث می‌برد لذا بیشتر ویژگی‌ها و توابع آن را به ارث می‌برد و برای آن توابع سازنده، run و initPosVis بازنویسی شده و یک تابع به آن اضافه گشته است. توضیح بیشتر این روش در بخش ۲-۱-۱-۲-۲-۱-۱-۱-۵ آمده است.

```
function obj=FEPcd()
```

این تابع، سازنده کلاس می‌باشد. در این تابع مقدار ویژگی methodType برابر مقدار 'FEPcd' می‌شود.

```
function [obj, posHid, negVis, negHid]=run(obj, modelParams, posVis)
```

این تابع برای اجرای نمونه‌برداری به روش انرژی آزاد در واگرایی متقابل پایدار می‌باشد. ورودی‌های این تابع posVis و modelParams است که به ترتیب مربوط به نمونه‌های قابل مشاهده در مرحله اول اجرای الگوریتم (توضیح بیشتر در بخش ۲-۱-۱-۵) و پارامترهای مدل می‌باشد. در روش FEPCD نمونه‌های قابل مشاهده در مرحله اول برای بدست آوردن نمونه‌های واحدهای مخفی در posHid استفاده می‌شود اما برای بدست آوردن نمونه‌های مدل در ابتدا از مقادیر تصادفی شروع کرده و سپس در هر مرحله از خروجی مرحله قبل استفاده می‌کند. تفاوت اصلی این روش با روش PCD این است که در این روش با استفاده از مقدار انرژی آزاد از زنجیره‌های مناسب‌تر برای بدست آوردن نمونه‌های مدل استفاده می‌کند.

خروجی‌های مدل نیز به ترتیب عبارتند از مقادیر نمونه‌برداری شده برای واحدهای مخفی در مرحله اول و نمونه‌های بدست آمده در مرحله آخر برای واحدهای قابل مشاهده و مخفی که توضیح بیشتر آن در بخش ۲-۱-۱-۱-۵ آمده است.

```
function [posVis]=initPosVis(~, modelParams, numberOfChains)
```

این تابع مشابه تابعی با همین نام در کلاس Pcd است با این تفاوت که چند برابر تعداد زنجیره‌های لازم نمونه تصادفی تولید می‌کند.

```
function [IX]=sortByFreeEnergy(~,modelParams,dataMatrix)
```

این تابع جهت محاسبه انرژی آزاد در نمونه‌های ارسال شده در ماتریس `dataMatrix` استفاده می‌شود. ماتریس `dataMatrix` شامل `n` داده به صورت ردیفی می‌باشد. خروجی این تابع بردار `n` بعدی `IX` است که اندیس داده‌های موجود در `dataMatrix` به ترتیب مقدار انرژی آزاد آن‌ها است به طوری که اندیس داده با کمترین انرژی آزاد در اولین مکان بردار `IX` قرار می‌گیرد.

### ۳-۵-۶ تابع `freeEnergy`

این تابع به صورت زیر در این بسته تعریف شده است.

```
function FE=freeEnergy(modelParams,dataMatrix)
```

در این تابع انرژی آزاد داده‌های موجود در `dataMatrix` که به صورت ردیفی در این ماتریس قرار دارد، محاسبه و در خروجی `FE` برگردانده می‌شود. نحوه محاسبه انرژی آزاد در بخش ۲-۱-۱-۵ توضیح داده شده است.

### ۳-۵-۷ کلاس `Sampling`

این کلاس در واقع یک کلاس واسط برای استفاده از کلاس‌های نمونه‌برداری است. اجزای استفاده شده در این کلاس در شکل ۳-۹ مشاهده می‌شود.

Sampling
+posHid
+negVis
+negHid
-methodObj
+Sampling()
+run()
+up()
+down()
+gather()

شکل ۳-۹: اجزای تشکیل دهنده کلاس `Sampling`

در این کلاس سه ویژگی `posHid`، `negVis` و `negHid` به ترتیب مربوط به نمونه‌های بدست آمده برای واحدهای مخفی از روی داده‌های آموزشی، نمونه‌های بدست آمده برای واحدهای قابل مشاهده از مدل و نمونه‌های بدست آمده برای واحدهای مخفی از مدل می‌باشد. ویژگی `methodObj` نیز دارنده شیء مربوط به نمونه‌برداری است که کلاس `Sampling` به کمک آن نمونه‌برداری انجام می‌دهد.

توابع موجود در این کلاس نیز مشابه توابعی است که در کلاس `Gibbs` تعریف شد با این تفاوت که در کلاس `Sampling` از توابع پیاده‌سازی شده در کلاس‌های نمونه‌برداری استفاده می‌کند.

```
function obj=Sampling(methodType)
```

این تابع، سازنده کلاس می‌باشد. در این تابع با توجه به مقدار ورودی `methodType` از کلاس متناظر آن یک شیء ساخته می‌شود.

```
function run(obj, modelParams, data)
```

این تابع برای اجرای نمونه‌برداری می‌باشد. ورودی‌های این تابع `data` و `modelParams` است که به ترتیب مربوط به نمونه‌های داده‌های آموزشی و پارامترهای مدل می‌باشد.

نمونه‌های بدست‌آمده در این تابع در ویژگی‌های این کلاس یعنی `posHid`، `negVis` و `negHid` قرار می‌گیرد.

```
function [hidSample, hidProb]=up(obj, modelParams, visSample)
```

این تابع مقادیر نمونه‌های قابل مشاهده و پارامترهای مدل را دریافت کرده و از روی آن نمونه‌های بدست آمده برای واحدهای مخفی و احتمال فعال شدن هر یک را بر می‌گرداند.

```
function [visSample, visProb]=down(obj, modelParams, hidSample)
```

این تابع نیز همچون تابع قبلی است با این تفاوت که نمونه‌های واحدهای مخفی را گرفته و نمونه‌های بدست آمده برای واحدهای قابل مشاهده و احتمال فعال شدن هر یک را بر می‌گرداند.

### ۳-۶ کلاس RBM

این کلاس یک کلاس مجازی است و قالب تمامی انواع RBM را تعریف می‌کند. در واقع در این کلاس توابع و ویژگی‌های حداقلی که هر نوع کلاس RBM باید داشته باشد تا شبکه باور عمیق ساخته شود، تعریف شده است. در شکل ۳-۱۰ اجزای تشکیل دهنده این کلاس مشاهده می‌شود.

<b>RBM</b>
+rbmParams
#sampler
#deltaWeight
#deltaVisBias
#deltaHidBias
+RBM()
+train()
+getFeature()
+gather()
+gpuArray()
#getRegularizationGradient()

شکل ۳-۱۰: اجزای تشکیل دهنده کلاس RBM

در این کلاس یک ویژگی عمومی (`public`) به نام `rbmParams` تعریف شده است. این ویژگی نگهدارنده همه پارامترهای یک RBM می‌باشد که تعریف آن در بخش ۳-۳ آمده است. چهار ویژگی بعدی که به صورت محافظت (`protected`) شده می‌باشند عبارتند از `sampler`، `deltaWeight`، `deltaVisBias` و `deltaHidBias`. ویژگی

sampler دارای یک شیء از یکی از کلاس‌های نمونه‌برداری مثل Pcd است. ویژگی‌های `deltaWeight`، `deltaVisBias` و `deltaHidBias` نیز برای اصلاح پارامترهای مدل RBM در زمان یادگیری مدل استفاده می‌شود.

```
function obj=RBM(rbmParams)
```

این تابع سازنده کلاس RBM است که در آن پارامترهای RBM را در ویژگی `rbmParams` قرار می‌دهد.

```
train(obj,trainData)
```

این تابع به صورت مجازی تعریف شده است تا همه انواع RBM تابع یادگیری را پیاده سازی نمایند.

```
[extractedFeature]=getFeature(obj,dataMatrix)
```

این تابع به صورت مجازی تعریف شده است تا همه انواع RBM تابع استخراج ویژگی را که در زمان یادگیری شبکه باور عمیق لازم می‌باشد را پیاده سازی نمایند.

```
function [obj]=gather(obj)
```

این تابع برای استخراج مقادیر پارامترهای این شیء از حافظه GPU به حافظه محلی استفاده می‌شود. لذا در صورتی که قصد دارید DBN ساخته شده به کمک GPU را در کامپیوتر دیگری بدون GPU استفاده کنید، باید ابتدا آن را به کمک تابع `gather` به حالت عادی تبدیل نمایید.

```
function obj=gpuArray(obj)
```

این تابع با تغییر بعضی از پارامترهای RBM امکان استفاده از GPU را در محاسبات برقرار می‌کند.

تابع مهم دیگری که در این بخش به صورت `protected` تعریف شده است `getRegularizationGradient` می‌باشد. در واقع در این تابع مقدار گرادیان برای همه ترم‌های `Regularization` تعریف شده در کنار تابع هدف محاسبه شده و برگردانده می‌شود. به صورت پیش‌فرض برای RBM های معمولی مقدار صفر برای این تابع برگردانده می‌شود ولی مثلاً در RBM های تنک مقدار گرادیان روش تنک‌سازی برگردانده می‌شود.

```
[deltaWeightReg,deltaVisBiasReg,deltaHidBiasReg]=getRegularizationGradient(obj,batchData,posHid)
```

### ۳-۷ کلاس GenerativeRBM

این کلاس یک نوع RBM است که می‌تواند یک مدل مولد (generative) از روی داده‌های آموزشی بدون برچسب بسازد. این کلاس از کلاس `Rbm` ارث می‌برد. اجزای این کلاس در شکل ۳-۱۱ آمده است.

<b>GenerativeRbm</b>
+GenerativeRBM() +train() +getFeature() +generatData() +reconstructData() +computePerformance()

شکل ۳-۱۱: اجزای تشکیل دهنده کلاس GenerativeRBM

از آنجا که این کلاس از کلاس RBM ارث می‌برد لذا ویژگی‌های آن را دارا می‌باشد. علاوه بر این ویژگی‌ها توابعی را نیز در خود دارد که در ادامه به توضیح آن خواهیم پرداخت.

```
function obj=GenerativeRBM(rbmParams)
```

این تابع سازنده کلاس GenerativeRBM است که در آن علاوه بر صدا زدن تابع سازنده کلاس Rbm، rbmType را نیز از نوع generative مقداردهی می‌کند.

```
function train(obj,data)
```

این تابع مربوط به آموزش مدل RBM است که با کمک داده آموزشی گذاشته شده در data مدل را به صورت مولد آموزش می‌دهد. ورودی data در واقع یک شیء از نوع کلاس DataStore (بخش ۳-۴-۱) است. در این تابع بعد از مقداردهی اولیه پارامترهای مدل، با کمک داده آموزشی این پارامترها اصلاح می‌شوند. در حال حاضر شرط خاتمه در یادگیری، تعداد تکرار فرآیند آموزش (رسیدن به maxEpoch) می‌باشد. همچنین در حین آموزش اطلاعاتی درباره وضعیت فعلی یادگیری نمایش داده می‌شود. این اطلاعات شامل ساختار RBM در حال آموزش، شماره گام آموزش (epoch)، میزان کارایی بر روی داده ارزیابی و تخمین زمان باقیمانده برای آموزش این مدل می‌باشد. در شکل ۳-۱۲ نمونه‌ای از نمایش این اطلاعات را برای یک RBM بر روی دادگان MNIST با ۷۸۴ ورودی و ۵۰۰ واحد مخفی که در ۵ گام آموزش داده شده است را می‌بینید. در این RBM، کارایی با خطای بازسازی<sup>۴۳</sup> نمایش داده شده است.

***** RBM 1 ***** 784-500		
epoch number:1	performance:0.0288815	remained RBM training time:153.802
epoch number:2	performance:0.0226055	remained RBM training time:138.783
epoch number:3	performance:0.0172301	remained RBM training time:102.35
epoch number:4	performance:0.0153325	remained RBM training time:51.7357
epoch number:5	performance:0.0132041	remained RBM training time:0

شکل ۳-۱۲: خروجی آموزش یک RBM بر روی دادگان MNIST با ۷۸۴ ورودی و ۵۰۰ واحد مخفی که در ۵ گام (epoch) آموزش دیده شده است. کارایی در اینجا به روش reconstruction می‌باشد.

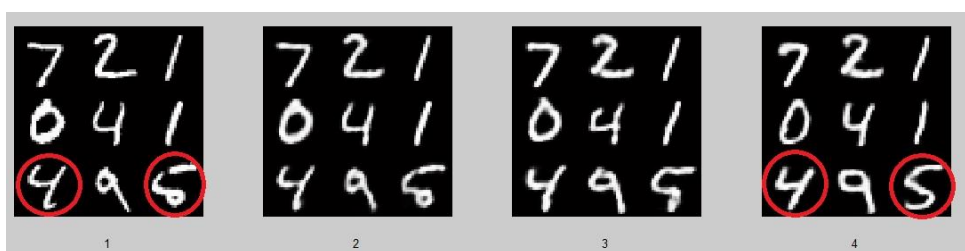
```
function [extractedFeature]=getFeature(obj,dataMatrix,k,fixedDimensions)
```

<sup>۴۳</sup> reconstruction

این تابع برای گرفتن ویژگی از داده ورودی `dataMatrix` استفاده می‌شود. ورودی `dataMatrix` یک ماتریس است که داده‌ها به صورت ردیفی در آن قرار دارد. این تابع نیز با روش نمونه‌برداری، نمونه‌های واحدهای مخفی که همان ویژگی‌های استخراج شده از داده ورودی است را بدست می‌آورد. پارامتر `k` نشاندهنده تعداد مراحل اجرای نمونه‌برداری برای رسیدن به ویژگی استخراج شده است و `fixedDimensions` برداری است که در آن ابعادی از داده ورودی را مشخص می‌کنیم که قصد داریم در حین نمونه‌برداری ثابت بمانند. این ورودی در مواقعی مفید خواهد بود که از صحت بعضی از ابعاد داده اطمینان داریم و قصد داریم تا در حین نمونه‌برداری ثابت بمانند تا کیفیت نهایی به سبب تغییر آنها در حین نمونه‌برداری لطمه نخورد. در نهایت نیز خروجی‌ها به صورت ردیفی در ماتریس `extractedFeature` برگردانده می‌شود.

```
function [generatedData]=generateData(obj,extractedFeature,k)
```

این تابع برای تولید داده از روی ویژگی‌های بدست آمده در واحدهای مخفی ساخته شده است. بدین ترتیب ویژگی‌هایی که قبلاً استخراج شده است را می‌توان در ماتریس `extractedFeature` به تابع داده و خروجی `generatedData` را در آن مشاهده کرد. در اینجا پارامتر `k` نشاندهنده تعداد مراحل اجرای نمونه‌برداری برای رسیدن به نمونه تولید شده است. در شکل ۳-۱۳ مثال‌هایی از خروجی این تابع مشاهده می‌شود. در این تصویر یک مدل `RBM` با ۲۵۰ واحد مخفی برای دادگان `MNIST` آموزش داده شده است و سپس از روی ۲۵۰ ویژگی استخراج شده برای ۹ نمونه تست، مجدداً داده‌ها رسم شده‌اند.



شکل ۳-۱۳: مثال‌هایی از تصاویر ساخته شده از روی ویژگی‌های بدست آمده برای تعدادی از نمونه‌های تست دادگان `MNIST`. تصویر شماره ۱: تصویر اصلی از دادگان `MNIST`. تصویر شماره ۲: تصویر ساخته شده از روی ویژگی بدست آمده با کمک تابع `getFeature` با `k=1`. تصویر شماره ۳: تصویر ساخته شده شبیه تصویر شماره ۲ با `k=10`. تصویر شماره ۴: تصویر ساخته شده شبیه تصویر شماره ۲ با `k=100`. در این تصاویر مشاهده می‌شود که با افزایش `k` ویژگی‌هایی بدست آمده که خروجی آن به مدل عددها نزدیکتر شده و به عنوان مثال تصویر عدد ۵ یا ۴ تبدیل به تصاویری بهتر از این اعداد شده است. کد مربوط به این خروجی در فایل `test_generateData.m` قرار دارد.

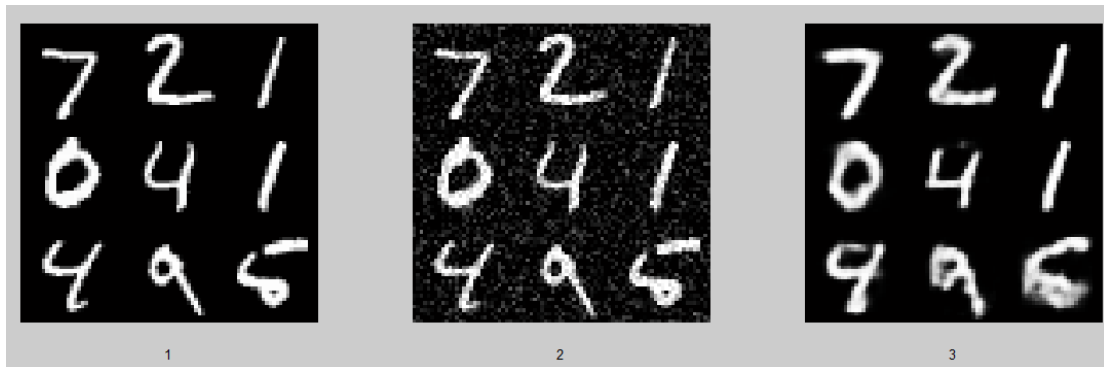
```
function
```

```
[reconstructedData]=reconstructData(obj,dataMatrix,k,fixedDimensions)
```

این تابع برای بازسازی مجدد داده‌های `dataMatrix` استفاده می‌شود. در واقع عملیات استخراج ویژگی و ساخت مجدد داده در داخل این تابع صورت می‌پذیرد. ورودی `dataMatrix` یک ماتریس است که داده‌ها به صورت ردیفی در آن قرار دارد. این تابع نیز با روش نمونه‌برداری، نمونه‌های واحدهای مخفی که همان ویژگی‌های استخراج شده از داده ورودی است را بدست آورده و سپس مجدداً داده را از روی ویژگی‌ها بازسازی می‌کند. پارامتر `k` نشاندهنده تعداد مراحل اجرای نمونه‌برداری برای رسیدن به نمونه بازسازی شده است و `fixedDimensions` برداری است که در آن ابعادی از داده ورودی را مشخص می‌کنیم که قصد داریم در حین



نمونه‌برداری ثابت بمانند. این ورودی در مواقعی مفید خواهد بود که از صحت بعضی از ابعاد داده اطمینان داریم و قصد داریم تا در حین نمونه‌برداری ثابت بمانند تا کیفیت نهایی به سبب تغییر آنها در حین نمونه‌برداری لطمه نخورد. در نهایت نیز خروجی‌ها به صورت ردیفی در ماتریس `reconstructedData` برگردانده می‌شود. در شکل ۱۴-۳ مثالی از اجرای تابع `reconstructData` مشاهده می‌شود که توانسته است تاحدی نویز را در داده ورودی از بین ببرد. در مثال یک RBM با ۲۵۰ واحد مخفی بر روی دادگان تمیز MNIST آموزش داده شده و در تست، خروجی بازسازی داده نویزی بدست آمده است.



شکل ۱۴-۳: مثالی از اجرای تابع `reconstructData`، تصویر شماره ۱: تصویر اصلی از دادگان MNIST، تصویر شماره ۲: همان تصویر با اضافه شدن نویز گوسی با میانگین ۰ و واریانس ۰,۰۲، تصویر شماره ۳: خروجی تابع `reconstructData` بر روی داده نویزی. همانطور که مشاهده می‌شود، تابع `reconstructData` توانسته تا حدی داده نویزی را به داده تمیز تبدیل کند هر چند به دلیل وجود نویز در ورودی، خروجی دقیقاً شبیه ورودی نیست. کد مربوط به این خروجی در فایل `test_reconstructData.m` قرار دارد.

```
function perf=computePerformance(obj,data)
```

این تابع برای محاسبه میزان کارایی مدل از روی داده اعتبارسنجی<sup>۴۴</sup> استفاده می‌شود. با توجه به تنظیماتی که در پارامترهای RBM قابل انجام است، می‌توان به سه طریق مختلف کارایی را محاسبه نمود که عبارتند از روش استفاده از اندازه انرژی آزاد، امکان بازسازی داده و همچنین دقت دسته‌بندی. البته روش آخر فقط در RBM های تمایزی قابل استفاده است و در صورت استفاده از این روش در این کلاس، یک توضیح خطا مربوط به عدم امکان محاسبه کارایی نمایش داده می‌شود.

در روش استفاده از انرژی آزاد، با کمک تابع `freeEnergy` (بخش ۳-۵-۶) مقدار انرژی آزاد برای داده ارزیابی محاسبه شده و برگردانده می‌شود. بر اساس توضیحات ۲-۱-۱-۵ هر چه مقدار انرژی آزاد کمتر باشد، مدل برای داده‌های آموزشی بهتر ساخته شده است.

اما در روش امکان بازسازی داده برای محاسبه کارایی، داده ارزیابی بازسازی شده و اختلاف نمونه‌های بازسازی شده از داده‌های اصلی بدست می‌آید. طبیعتاً هرچه این اختلاف مقدار کمتری داشته باشد مدل بهتر آموزش یافته است.

<sup>۴۴</sup> validation

### ۳-۸ کلاس DiscriminativeRBM

این کلاس یک نوع RBM است که می‌تواند یک مدل مولد از روی داده‌های آموزشی با برچسب بسازد که امکان دسته‌بندی داده‌ها را نیز دارد. این کلاس از کلاس Rbm ارث می‌برد. اجزای این کلاس در شکل ۳-۱۵ آمده است.

DiscriminativeRbm
+DiscriminativeRBM() +train() +getFeature() +generateData() +reconstructData() +computePerformance() +generateClass() +predictClass()

شکل ۳-۱۵: اجزای تشکیل دهنده کلاس DiscriminativeRBM

از آنجا که این کلاس از کلاس Rbm ارث می‌برد لذا ویژگی‌های آن را دارا می‌باشد. علاوه بر این ویژگی‌ها توابعی را نیز در خود دارد که در ادامه به توضیح آن خواهیم پرداخت.

```
function obj=DiscriminativeRBM(rbmParams)
```

این تابع سازنده کلاس DiscriminativeRBM است که در آن علاوه بر صدا زدن تابع سازنده کلاس Rbm، rbmType را نیز از نوع discriminative مقداردهی می‌کند.

```
function train(obj,data)
```

این تابع مربوط به آموزش مدل RBM است که با کمک داده آموزشی گذاشته شده در data مدل را به صورت تمایزی آموزش می‌دهد. ورودی data در واقع یک شیء از نوع کلاس DataStore (بخش ۳-۴-۱) است. در این تابع بعد از مقداردهی اولیه پارامترهای مدل، با کمک داده آموزشی این پارامترها اصلاح می‌شوند. از آنجا که در این کلاس مدل به صورت تمایزی آموزش می‌بیند لذا برچسب داده‌های آموزشی به صورت واحدهای softmax به مدل و داده‌های آموزشی اضافه می‌شود (توضیح بیشتر در بخش ۲-۱-۵). در حال حاضر شرط خاتمه در یادگیری، تعداد تکرار فرآیند آموزش (رسیدن به maxEpoch) می‌باشد. همچنین در حین آموزش اطلاعاتی درباره وضعیت فعلی یادگیری نمایش داده می‌شود. این اطلاعات شامل ساختار RBM در حال آموزش، شماره گام آموزش (epoch)، میزان کارایی بر روی داده ارزیابی و تخمین زمان باقیمانده برای آموزش این مدل می‌باشد.

```
function [extractedFeature]=getFeature(obj,dataMatrix,k,fixedDimensions,  
dataMatrixLabels)
```

این تابع برای گرفتن ویژگی از داده ورودی dataMatrix با برچسب dataMatrixLabels استفاده می‌شود. ورودی dataMatrix یک ماتریس است که داده‌ها به صورت ردیفی در آن قرار دارد. این تابع نیز با روش نمونه‌برداری، نمونه‌های واحدهای مخفی که همان ویژگی‌های استخراج شده از داده ورودی است را بدست می‌-

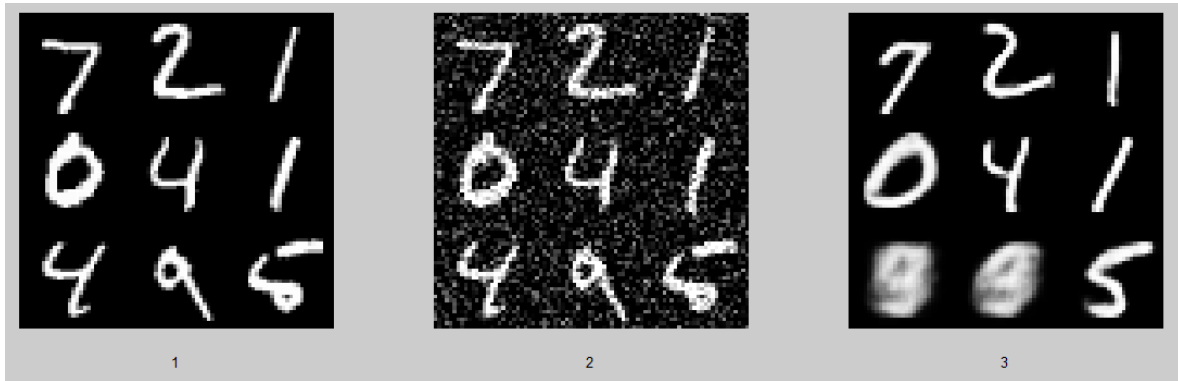
آورد. بردار `dataMatrixLabels` نیز برچسب هر داده موجود در `dataMatrix` را نشان می‌دهد تا بر اساس آن مقدار مناسب در واحدهای `softmax` لایه قابل مشاهده قرار گیرد. البته در صورتی که این پارامتر تهی باشد، تابع مقدار صفر را برای همه واحدهای `softmax` در نظر می‌گیرد. پارامتر `k` نشان‌دهنده تعداد مراحل اجرای نمونه‌برداری برای رسیدن به ویژگی استخراج شده است و `fixedDimensions` برداری است که در آن ابعادی از داده ورودی را مشخص می‌کنیم که قصد داریم در حین نمونه‌برداری ثابت بمانند. این ورودی در مواقعی مفید خواهد بود که از صحت بعضی از ابعاد داده اطمینان داریم و قصد داریم تا در حین نمونه‌برداری ثابت بمانند تا کیفیت نهایی به سبب تغییر آنها در حین نمونه‌برداری لطمه نخورد. در نهایت نیز خروجی‌ها به صورت ردیفی در ماتریس `extractedFeature` برگردانده می‌شود.

```
function [generatedData,generatedLabel]=generateData(obj,extractedFeature,k)
```

این تابع برای تولید داده و برچسب از روی ویژگی‌های بدست آمده در واحدهای مخفی ساخته شده است. بدین ترتیب ویژگی‌هایی که قبلاً استخراج شده است را می‌توان در ماتریس `extractedFeature` به تابع داده و خروجی داده `generatedData` و برچسب `generatedLabel` را در آن مشاهده کرد. مقدار `generatedLabel` در واقع مربوط به واحد `softmax` ای است که بیشترین احتمال فعال شدن را دارد. در اینجا پارامتر `k` نشان‌دهنده تعداد مراحل اجرای نمونه‌برداری برای رسیدن به نمونه تولید شده است.

```
function [reconstructedData,reconstructedLabel]=reconstructData(obj,dataMatrix,k, fixedDimensions,dataMatrixLabels)
```

این تابع برای بازسازی مجدد داده‌های `dataMatrix` استفاده می‌شود. در واقع عملیات استخراج ویژگی و ساخت مجدد داده در داخل این تابع صورت می‌پذیرد. ورودی `dataMatrix` یک ماتریس است که داده‌ها به صورت ردیفی در آن قرار دارد و بردار `dataMatrixLabels` نیز برچسب هر داده موجود در `dataMatrix` را نشان می‌دهد. این تابع نیز با روش نمونه‌برداری، نمونه‌های واحدهای مخفی که همان ویژگی‌های استخراج شده از داده ورودی است را بدست آورده و سپس مجدداً داده و برچسب را از روی ویژگی‌ها بازسازی می‌کند. پارامتر `k` نشان‌دهنده تعداد مراحل اجرای نمونه‌برداری برای رسیدن به نمونه بازسازی شده است و `fixedDimensions` برداری است که در آن ابعادی از داده ورودی را مشخص می‌کنیم که قصد داریم در حین نمونه‌برداری ثابت بمانند. این ورودی در مواقعی مفید خواهد بود که از صحت بعضی از ابعاد داده اطمینان داریم و قصد داریم تا در حین نمونه‌برداری ثابت بمانند تا کیفیت نهایی به سبب تغییر آنها در حین نمونه‌برداری لطمه نخورد. در نهایت نیز خروجی‌ها به صورت ردیفی در ماتریس `reconstructedData` برگردانده می‌شود. در مثالی از اجرای تابع `reconstructData` مشاهده می‌شود که توانسته است تاحدی نویز را در داده ورودی از بین ببرد. در مثال یک `RBM` با ۲۵۰ واحد مخفی بر روی دادگان تمیز `MNIST` آموزش داده شده و در تست، خروجی بازسازی داده نویزی بدست آمده است.



شکل ۳-۱۶: مثالی از اجرای تابع `reconstructData` در کلاس `RBM` از نوع تمایزی، تصویر شماره ۱: تصویر اصلی از دادگان `MNIST`، تصویر شماره ۲: همان تصویر با اضافه شدن نویز گوسی با میانگین ۰ و واریانس ۰,۰۵، تصویر شماره ۳: خروجی تابع `reconstructData` بر روی داده نویزی. همانطور که مشاهده می‌شود، تابع `reconstructData` توانسته تا حدی داده نویزی را به داده تمیز تبدیل کند. در اینجا نیز نسبت به شکل ۳-۱۴ هرچند واریانس نویز ۲,۵ برابر شده است اما به دلیل استفاده از اطلاعات برجسب، توانسته‌ایم داده را تا حدی خالی از نویز نماییم هرچند بعضی از اعداد به تصویر درستی نرسیده‌اند. کد مربوط به این خروجی در فایل `test_reconstructData2.m` قرار دارد.

```
function perf=computePerformance(obj,data)
```

این تابع برای محاسبه میزان کارایی مدل از روی داده اعتبارسنجی استفاده می‌شود. با توجه به تنظیماتی که در پارامترهای `RBM` قابل انجام است، می‌توان به سه طریق مختلف کارایی را محاسبه نمود که عبارتند از روش استفاده از اندازه انرژی آزاد، امکان بازسازی داده و همچنین دقت دسته‌بندی.

در روش استفاده از انرژی آزاد، با کمک تابع `freeEnergy` (بخش ۳-۵-۶) مقدار انرژی آزاد برای داده ارزیابی محاسبه شده و برگردانده می‌شود. البته در اینجا مقدار صفر برای واحدهای `softmax` مربوط به برجسب داده‌ها در نظر گرفته می‌شود. بر اساس توضیحات ۲-۱-۱-۵ هر چه مقدار انرژی آزاد کمتر باشد، مدل برای داده‌های آموزشی بهتر ساخته شده است.

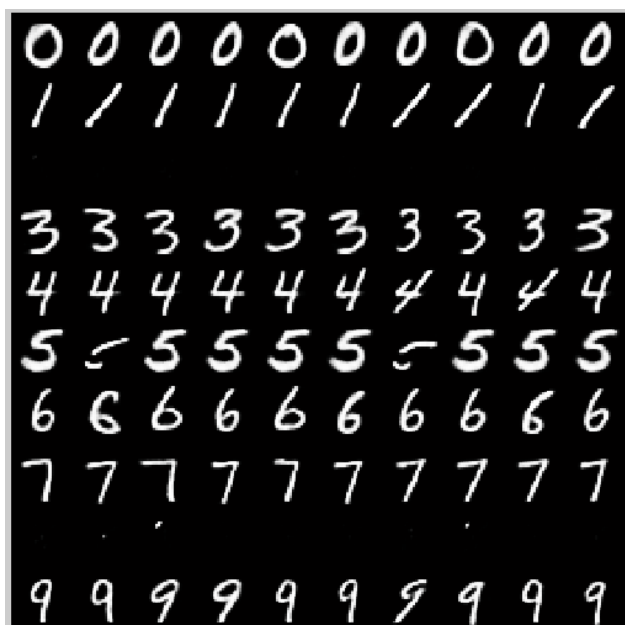
در روش امکان بازسازی داده برای محاسبه کارایی، داده ارزیابی بازسازی شده و اختلاف نمونه‌های بازسازی شده از داده‌های اصلی بدست می‌آید. طبیعتاً هرچه این اختلاف مقدار کمتری داشته باشد مدل بهتر آموزش یافته است. در اینجا مقدار برجسب داده‌ها برای بازسازی استفاده نمی‌شود.

در روش استفاده از دقت دسته‌بندی، دسته‌ی داده‌ها به کمک روش نمونه‌برداری و به صورت مولد (توضیح در تابع `predictClass`) مشخص شده و خطا با توجه به برجسب درست داده‌ها بدست می‌آید.

```
function [generatedData]=generateClass(obj,classNumber,k)
```

این تابع جهت تولید نمونه‌هایی از توزیع مربوط به یکی از دسته‌ها استفاده می‌شود. در واقع در این تابع از توزیع داده مربوط به کلاس‌های مشخص شده در بردار `classNumber` نمونه تولید می‌شود و در خروجی `generatedData` برگردانده می‌شود. پارامتر `k` نیز نشان‌دهنده تعداد مراحل بازسازی داده برای رسیدن به نمونه بازسازی شده است. در شکل ۳-۱۷ نمونه‌های تولید شده توسط مدل نشان داده شده است. همانطور که در شکل

مشخص است، مدل توانسته تنها با استفاده از برچسب داده، نمونه‌های مختلفی از اعداد را تولید نماید. البته در این شکل، مدل نتوانسته است اعداد ۲ و ۸ را تولید کند.



شکل ۳-۱۷: تصاویر ساخته شده به کمک تابع `generateClass` در اینجا خواسته‌ایم تا اعداد ۰ تا ۹ را توسط مدل با تنها استفاده از برچسب داده تولید نماییم. مطابق تصویر، عدد ۲ و ۸ نتوانسته‌اند تولید شوند. کد مربوط به این خروجی در فایل `test_generateClass.m` قرار دارد.

```
function classNumber=predictClass(obj,dataMatrix,method)
```

این تابع جهت بدست آوردن برچسب داده موجود در ماتریس ردیفی `dataMatrix` استفاده می‌شود. در واقع دسته‌بندی داده‌های بدون برچسب به کمک این تابع انجام می‌شود. ورودی `method` روش رسیدن به برچسب داده را مشخص می‌کند.

روش اول به نام `bySampling` است که با روش بازسازی داده و فعال شدن واحد `softmax` مربوط به کلاس داده، برچسب را تشخیص می‌دهد. روش دوم به نام `byFreeEnergy` است که با استفاده از قرار دادن حالات مختلف مقدار در `softmax` احتمال فعال شدن بیشترین حالت را با کمک انرژی آزاد بدست می‌آورد. توضیح بیشتر این دو روش در بخش ۲-۱-۵-۱ آمده است.

### ۳-۹ کلاس `SparseRBM`

در این کلاس روابط مربوط به یک `RBM` تنک به سه روش مختلف نوشته شده است. روش‌های پیاده‌سازی شده در این کلاس روش‌های اول، سوم و چهارم توضیح داده شده در بخش ۲-۱-۴ می‌باشد. در واقع در این کلاس تنها تابع `getRegularizationGradient` به نحوی بازنویسی شده است تا مقادیر گرادیان را با توجه به ترم `regularization` تعریف شده در هر یک از این سه روش، به درستی محاسبه نماید.

<b>SparseRBM</b>
+SparseRBM()

شکل ۱۸-۳: اجزای تشکیل دهنده کلاس SparseRBM

### کلاس ۱۰-۳ SparseDiscriminativeRBM و SparseGenerativeRBM

این دو کلاس پیاده سازی جدیدی نداشته و تنها از دو کلاس SparseRBM و GenerativeRBM و DiscriminativeRBM ارث گرفته اند. به این ترتیب ویژگی تنک بودن از کلاس SparseRBM به دو کلاس GenerativeRBM و DiscriminativeRBM منتقل شده و هر دو ویژگی تنک بودن را خواهند داشت.

<b>SparseDiscriminativeRBM</b>	<b>SparseGenerativeRBM</b>
+SparseDiscriminativeRBM()	+SparseGenerativeRBM()

شکل ۱۹-۳: اجزای تشکیل دهنده کلاس SparseDiscriminativeRBM و SparseGenerativeRBM

### کلاس ۱۱-۳ DBN

این کلاس مربوط به ساخت یک شبکه باور عمیق به کمک پشته‌ای از مدل‌های RBM است. در این کلاس می‌توان با تعریف ساختار اولیه یک شبکه باور عمیق، RBM های تعریف شده در آن را مدل کرده و سپس در صورت نیاز با کمک الگوریتم پس انتشار خطا<sup>۴۵</sup> آن را اصلاح نمود. در شکل ۲۰-۳ اجزای تشکیل دهنده کلاس نمایش داده شده است.

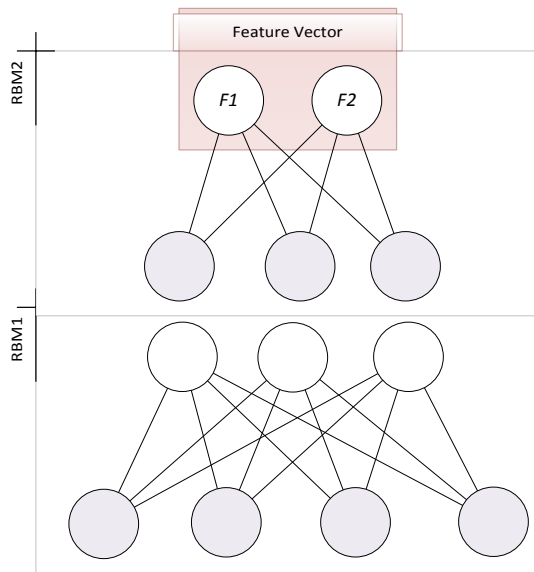
<sup>۴۵</sup> error backpropagation

DBN
+dbnType
+rbms
+net
+DBN()
+addRBM()
+train()
+getFeature()
+generatData()
+reconstructData()
+generateClass()
+backpropagation()
+getOutput()
+plotBases()
+gather()
+gpuArray()
-DBNtoNN()
-DBNtoFunctionApproximatorNN()
-DBNtoClassifierNN()
-DBNtoAutoEncoderNN()

شکل ۳-۲۰: اجرای تشکیل دهنده کلاس DBN

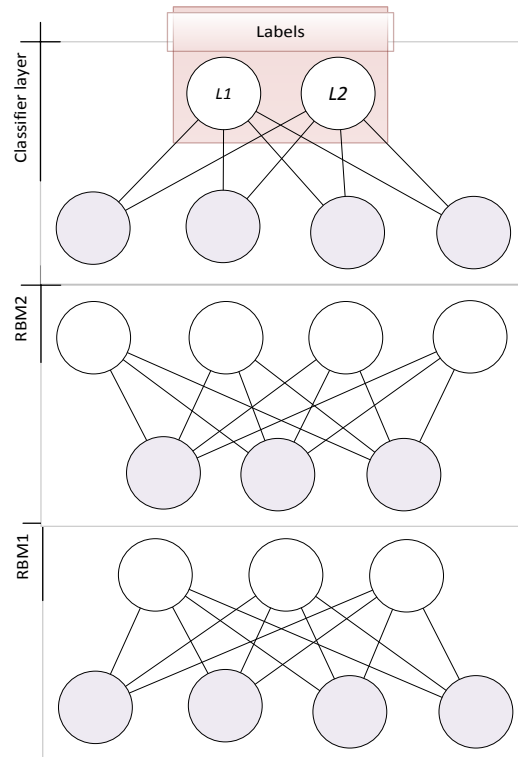
در این کلاس سه ویژگی تعریف شده است. ویژگی `dbnType` نشاندهنده نوع شبکه باور عمیق (مثل `autoEncoder` یا `classifier`) می‌باشد. ویژگی `rbms` نگهدارنده پشت‌های `rbm` ها است که می‌تواند هر یک از انواع تعریف شده `rbm` باشد. ویژگی بعدی `net` می‌باشد. این ویژگی زمان استفاده از الگوریتم پس انتشار خطا استفاده می‌شود تا شبکه عصبی مصنوعی ساخته شده در این مرحله را در خود نگهدار و در صورت نیاز در زمان گرفتن خروجی از شبکه باور عمیق مورد استفاده قرار گیرد. علاوه بر این ویژگی‌ها توابعی نیز جهت استفاده از این کلاس تعریف شده که در ادامه توضیح خواهیم داد.

اولین نوع DBN تعریف شده در این کلاس مربوط به `autoEncoder` می‌باشد. در این نوع از شبکه هدف رسیدن به یک مدل مولد است که بتواند ویژگی‌های جدیدی را از مدل استخراج نماید. در شکل ۳-۲۱ ساختار این مدل نمایش داده شده است که در آن با کمک دو لایه `RBM` ویژگی‌هایی در سطح بالاتر استخراج می‌نماییم.



شکل ۳-۲۱: ساختار یک شبکه باور عمیق از نوع autoEncoder

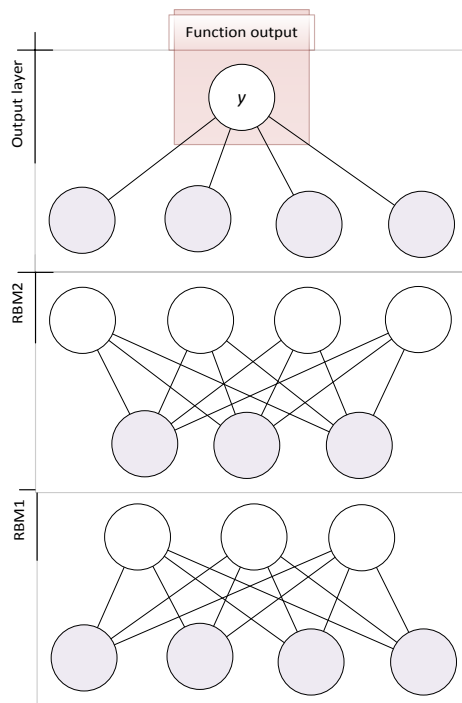
نوع دوم DBN تعریف شده در این جعبه ابزار مدل classifier می‌باشد. در این نوع هدف رسیدن به برچسب‌های داده از روی داده ورودی است. برای این منظور در عمل گویی شبکه به نحوی ساخته می‌شود که یک لایه برای عمل دسته‌بندی را در خود خواهد داشت که در توابع بعدی، نحوه اضافه شده این لایه توضیح داده خواهد شد.



شکل ۳-۲۲: ساختار یک شبکه باور عمیق از نوع طبقه‌بندی کننده



نوع سوم شبکه‌های باور عمیق مربوط به تقریب‌زننده تابع<sup>۴۶</sup> است. در این نوع هدف رسیدن به یک تخمین زننده تابع است. برای این منظور در عمل گویی شبکه به نحوی ساخته می‌شود با اضافه شدن یک لایه عمل تخمین تابع را در خود داشته باشد که در توابع بعدی، نحوه اضافه شده این لایه توضیح داده خواهد شد.



شکل ۳-۲۳: ساختار یک شبکه باور عمیق از نوع تقریب‌زننده تابع

```
function obj=DBN(dbnType,rbms)
```

این تابع سازنده کلاس DBN می‌باشد. به کمک این تابع نوع DBN تعریف شده (به کمک ورودی dbnType) و در صورتی که پشته‌ای از RBM ها قبلا ساخته شده باشد می‌توانیم با ارسال آن‌ها در این تابع (به کمک ورودی rbms)، از آنها مجددا استفاده نماییم.

```
function addRBM(obj,rbmParams)
```

این تابع جهت پشته کردن RBM ها بر روی یکدیگر استفاده می‌شود. به وسیله این تابع می‌توان یک به یک RBM ها را تعریف کرده و به DBN اضافه نمود. نمونه‌ای از استفاده این تابع در زیر آمده است.

```
dbn=DBN();
dbn.dbnType='autoEncoder';
% RBM1
rbmParams=RbmParameters(1000,ValueType.binary);
dbn.addRBM(rbmParams);
% RBM2
rbmParams=RbmParameters(500,ValueType.binary);
dbn.addRBM(rbmParams);
% RBM3
rbmParams=RbmParameters(250,ValueType.binary);
dbn.addRBM(rbmParams);
```

<sup>۴۶</sup> function approximator

در واقع در این تابع با توجه به نوع RBM تعریف شده در پارامتر `rbmParams` شیء تعریف شده مربوط به آن RBM ساخته شده و در پشته قرار می‌گیرد.

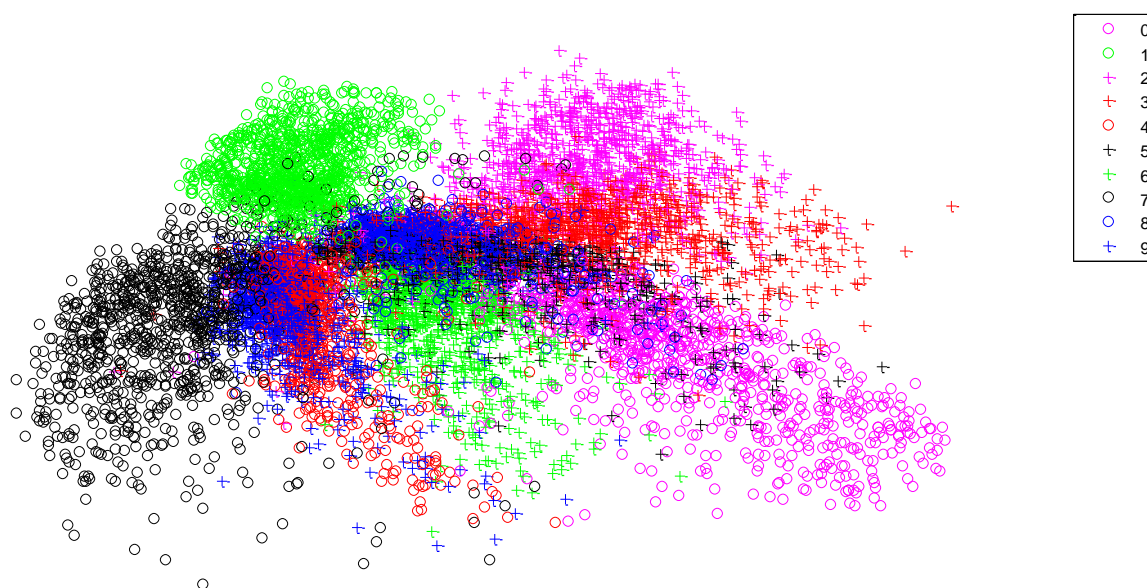
```
function train(obj,data)
```

این تابع جهت آموزش شبکه باور عمیق مورد استفاده قرار می‌گیرد. ورودی `data` نیز یک شیء از نوع کلاس `DataStore` می‌باشد که داده‌های آموزشی و ارزیابی و تست را در خود نگه داشته است. در حین اجرای این تابع، RBM ها یک به یک آموزش پیدا کرده و بر روی یکدیگر قرار می‌گیرند. در واقع این تابع بعد از آموزش هر RBM خروجی ویژگی‌های یاد گرفته شده توسط مدل را برای داده آموزشی و ارزیابی استخراج کرده و به عنوان ورودی برای RBM بعدی استفاده می‌کند.

```
function [extractedFeature]=getFeature(obj,dataMatrix,k)
```

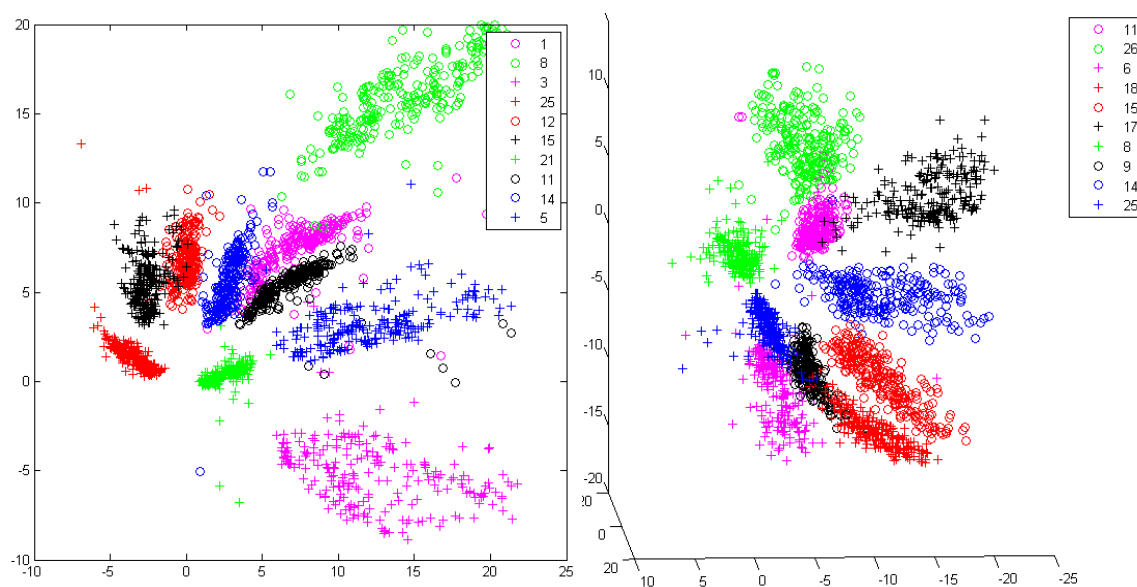
این تابع جهت استخراج ویژگی از داده ردیفی `dataMatrix` و از مدل DBN استفاده می‌شود. در واقع در این تابع به ترتیب ویژگی‌ها لایه به لایه از مدل‌های RBM بدست آمده و در بالاترین RBM (آخرین RBM) برای استخراج ویژگی از `k` مرحله نمونه‌برداری استفاده می‌شود.

در شکل ۳-۲۴ نمونه‌ای از استخراج ویژگی به کمک DBN برای دادگان MNIST مشاهده می‌شود. در اینجا یک DBN با ساختار ۷۸۴-۱۰۰۰-۵۰۰-۲۵۰-۳ ساخته شده است که فضای ورودی تصویر ۷۸۴ بعدی را به فضای ۳ بعدی نگاشت می‌دهد. در واقع در شکل ۳-۲۴ این نگاشت نمایش داده شده است. همان طور که در تصویر مشاهده می‌شود شبکه باور عمیق توانسته سه ویژگی مناسب را بدون در نظر گرفتن برجسب داده‌ها به نحوی پیدا کند که داده‌های مربوط به ارقام مختلف در این فضای جدید تا حد قابل قبولی از هم قابل تفکیک باشند. در این آزمایش هر یک از RBM ها با ۵۰ تکرار و الگوریتم پس انتشار خطا با ۲۰۰ تکرار اجرا شده است.



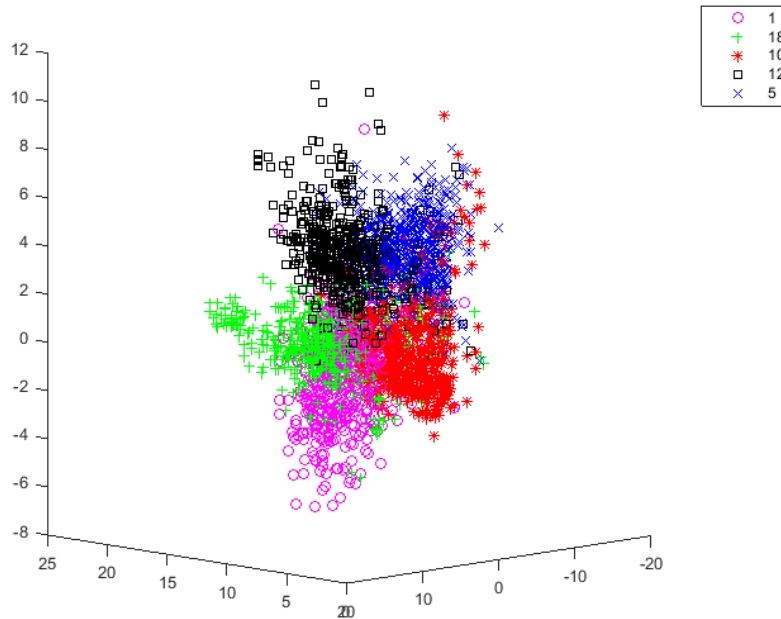
شکل ۳-۲۴: نمایش خروجی ویژگی بدست آمده توسط یک شبکه باور عمیق با ساختار ۷۸۴-۱۰۰۰-۵۰۰-۲۵۰-۳. کد مربوط به این خروجی در فایل `test_getFeature.m` قرار دارد.

همچنین در تست دیگری از دادگان ISOLET برای استخراج ویژگی استفاده شد. این دادگان شامل گفتار ۱۵۰ گوینده است که هر یک از حروف زبان انگلیسی را ۲ بار تکرار کرده و ۶۱۷ ویژگی از هر نمونه استخراج شده است. در شکل ۳-۲۵ ویژگی‌های استخراج شده دو بعدی (با ساختار ۶۱۷-۲۰۰۰-۱۰۰۰-۵۰۰-۲۵۰-۲) و سه بعدی (با ساختار ۶۱۷-۲۰۰۰-۱۰۰۰-۵۰۰-۳) را مشاهده می‌کنید. در اینجا نیز شبکه باور عمیق توانسته است ویژگی‌های خوبی با قابلیت تفکیک بالا برای این دادگان بوجود آورد. البته این دادگان شامل ۲۶ دسته مختلف می‌باشد که در اینجا برای نمایش بهتر، ۱۰ دسته از آن به صورت تصادفی انتخاب شده است. در این آزمایش هر یک از RBM ها با ۲۰۰ تکرار و الگوریتم پس انتشار خطا با ۱۰۰۰ تکرار اجرا شده است.



شکل ۳-۲۵: نمایش خروجی ویژگی بدست آمده توسط یک شبکه باور عمیق دو بعدی (با ساختار ۶۱۷-۲۰۰۰-۱۰۰۰-۵۰۰-۲۵۰-۲) و سه بعدی (با ساختار ۶۱۷-۲۰۰۰-۱۰۰۰-۵۰۰-۳) برای دادگان ISOLET. در اینجا ۱۰ دسته از ۲۶ دسته این دادگان به طور تصادفی انتخاب و نمایش داده شده است. کد مربوط به این خروجی در فایل test\_getFeatureISOLET.m قرار دارد.

همچنین در تست دیگری از دادگان 20 Newsgroups برای استخراج ویژگی استفاده شد. این دادگان، یک دادگان متنی است که شامل ۲۰ موضوع خبری مختلف می‌باشد که هر یک از نمونه‌ها به یکی از این ۲۰ موضوع برچسب خورده‌اند. در شکل ۳-۲۶ ویژگی‌های استخراج شده سه بعدی (با ساختار ۵۰۰۰-۵۰۰-۲۵۰-۳) را مشاهده می‌کنید. در اینجا نیز شبکه باور عمیق توانسته است ویژگی‌های خوبی با قابلیت تفکیک بالا برای این دادگان بوجود آورد. البته این دادگان شامل ۲۰ دسته مختلف می‌باشد که در اینجا برای نمایش بهتر، ۵ دسته از آن برای نمایش انتخاب شده است. در این آزمایش هر یک از RBM ها با ۲۰۰ تکرار و الگوریتم پس انتشار خطا با ۲۰۰ تکرار اجرا شده است.



شکل ۳-۲۶: نمایش خروجی ویژگی بدست آمده توسط یک شبکه باور عمیق سه بعدی (با ساختار ۵۰۰۰-۵۰۰-۲۵۰-۳) برای دادگان 20 Newsgroups. در اینجا ۵ دسته از ۲۰ دسته این دادگان برای نمایش انتخاب شده است. کد مربوط به این خروجی در فایل test\_getFeature20Newsgroups.m قرار دارد.

```
function [generatedData]=generateData(obj,extractedFeature,k)
```

این تابع جهت تولید داده از ویژگی‌های `extractedFeature` و از مدل DBN می‌باشد. در این تابع در ابتدا بالاترین RBM با `k` مرحله نمونه‌برداری به نمونه‌ای در لایه قابل مشاهده خود می‌رسد و سپس لایه به لایه نمونه‌ها در لایه-های پایتتر تا رسیدن به داده مورد نظر، استخراج می‌شود. در پایان نیز نمونه‌های تولید شده در خروجی `generatedData` ارسال می‌گردند.

```
function
```

```
[reconstructedData]=reconstructData(obj,dataMatrix,k,fixedDimensions)
```

این تابع جهت بازسازی داده مورد استفاده قرار می‌گیرد. با کمک این تابع می‌توان داده ورودی `dataMatrix` را با مدل شبکه باور عمیق بازسازی کرده و خروجی را در `reconstructedData` برگرداند. نحوه عملکرد این تابع به این صورت است که در ابتدا با کمک تابع `getFeature` و `k` مرحله نمونه‌برداری، ویژگی داده‌های ورودی را استخراج کرده و سپس با کمک تابع `generateData` نمونه‌های مورد نظر تولید می‌شود. در این جا نیز تنها استفاده از ورودی `fixedDimensions` این خواهد بود که داده‌های خروجی `reconstructedData` در ابعاد مشخص شده در `fixedDimensions` همان مقادیر `dataMatrix` را خواهند داشت ولی این مساله در زمان تولید داده مورد استفاده قرار نمی‌گیرد.

```
function [generatedData]=generateClass(obj,classNumber,k)
```

این تابع جهت تولید داده با توجه به دانستن برجسب داده مورد استفاده قرار می‌گیرد. در واقع در صورتی که بالاترین RBM یک مدل DiscriminativeRBM باشد، ابتدا با کمک تابع `generateClass` در مدل

DiscriminativeRBM یک داده با ورودی  $k$  و  $calssNumber$  تولید کرده (بخش ۳-۸) و سپس داده تولید شده را لایه به لایه تا رسیدن به نمونه نهایی پایین می‌بریم.

```
function backpropagation(obj, data)
```

این تابع جهت اصلاح پارامترهای آموزش دیده توسط الگوریتم پس انتشار خطا مورد استفاده قرار می‌گیرد. ورودی  $data$  نیز یک شیء از نوع کلاس  $DataStore$  می‌باشد که داده‌های آموزشی و ارزیابی و تست را در خود نگه داشته است. برای انجام بهتر این الگوریتم، از ابزار پیاده‌سازی شده در خود  $MATLAB$  استفاده شده است. بدین ترتیب ابتدا شبکه باور عمیق به ساختار یک شبکه عصبی مصنوعی در  $MATLAB$  در آمده و سپس بعد از تنظیم پارامترهای یادگیری در این شبکه، با توجه به نوع شبکه باور عمیق، تابع یادگیری صدا زده می‌شود. و در نهایت در صورت امکان پارامترهای یادگرفته شده در شبکه باور عمیق قرار می‌گیرد.

```
function output=getOutput(obj, dataMatrix, method)
```

این تابع برای گرفتن خروجی از شبکه باور عمیق مورد استفاده قرار می‌گیرد. با کمک این تابع با توجه به نوع شبکه باور عمیق می‌توان خروجی متناظر را برای داده ورودی  $dataMatrix$  بدست آورده و در خروجی  $output$  ارسال نمود. ورودی  $method$  نیز معرف روشی خواهد بود که این تابع خروجی را بدست خواهد آورد. مثلاً در شبکه باور عمیق از نوع  $classifier$  می‌توان مقدار  $method$  را روش  $byFreeEnergy$  و یا  $bySampling$  برای رسیدن به برچسب داده‌ها مقداردهی کرد.

بدین ترتیب در این تابع در صورتی که نوع شبکه باور عمیق  $autoEncoder$  باشد ویژگی‌های داده‌های موجود در  $dataMatrix$  را برمی‌گرداند و در صورتیکه از نوع طبقه‌بندی کننده باشد برچسب داده‌های ورودی را برمی‌گرداند و در نهایت برای نوع تقریب‌زننده تابع، خروجی تابع یادگرفته شده برگردانده می‌شود.

```
function net=DBNtoNN(obj, data)
```

این تابع که به صورت خصوصی<sup>۴۷</sup> تعریف شده است، برای تبدیل شبکه باور عمیق به یک شیء از نوع شبکه عصبی در  $MATLAB$  مورد استفاده قرار می‌گیرد که کاربرد اصلی آن در استفاده از پس انتشار خطا<sup>۴۸</sup> می‌باشد. در این تابع با توجه به نوع شبکه باور عمیق سه تابع دیگر را برای تبدیل فراخوانی می‌نماید که در ادامه به توضیح آن‌ها خواهیم پرداخت.

```
function net=DBNtoClassifierNN(obj, data)
```

این تابع برای تبدیل شبکه باور عمیق از نوع طبقه‌بندی کننده به یک شیء شبکه عصبی مصنوعی در  $MATLAB$  می‌باشد تا بتوان به کمک آن الگوریتم پس انتشار خطا را به راحتی اجرا نمود. در  $DBN$  های از نوع طبقه‌بندی کننده دو حالت می‌تواند وجود داشته باشد. در حالت اول اگر  $RBM$  در بالاترین لایه از نوع  $DiscriminativeRBM$  باشد، ساختار  $DBN$  بدست آمده به صورت تصویر سمت چپ از شکل ۳-۲۷ خواهد بود.

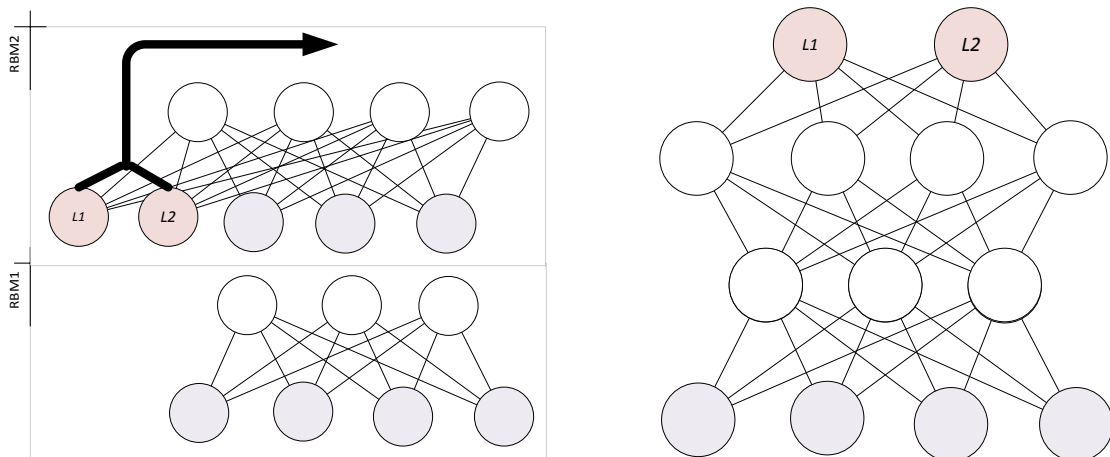
---

<sup>۴۷</sup> private

<sup>۴۸</sup> error backpropagation

در این حالت شبکه عصبی مصنوعی ساخته خواهد شد که لایه خروجی آن گرفته شده از واحدهای softmax در لایه قابل مشاهده در DiscriminativeRBM است که در نهایت تبدیل به تصویر سمت راست از شکل ۳-۲۷ تبدیل خواهد شد.

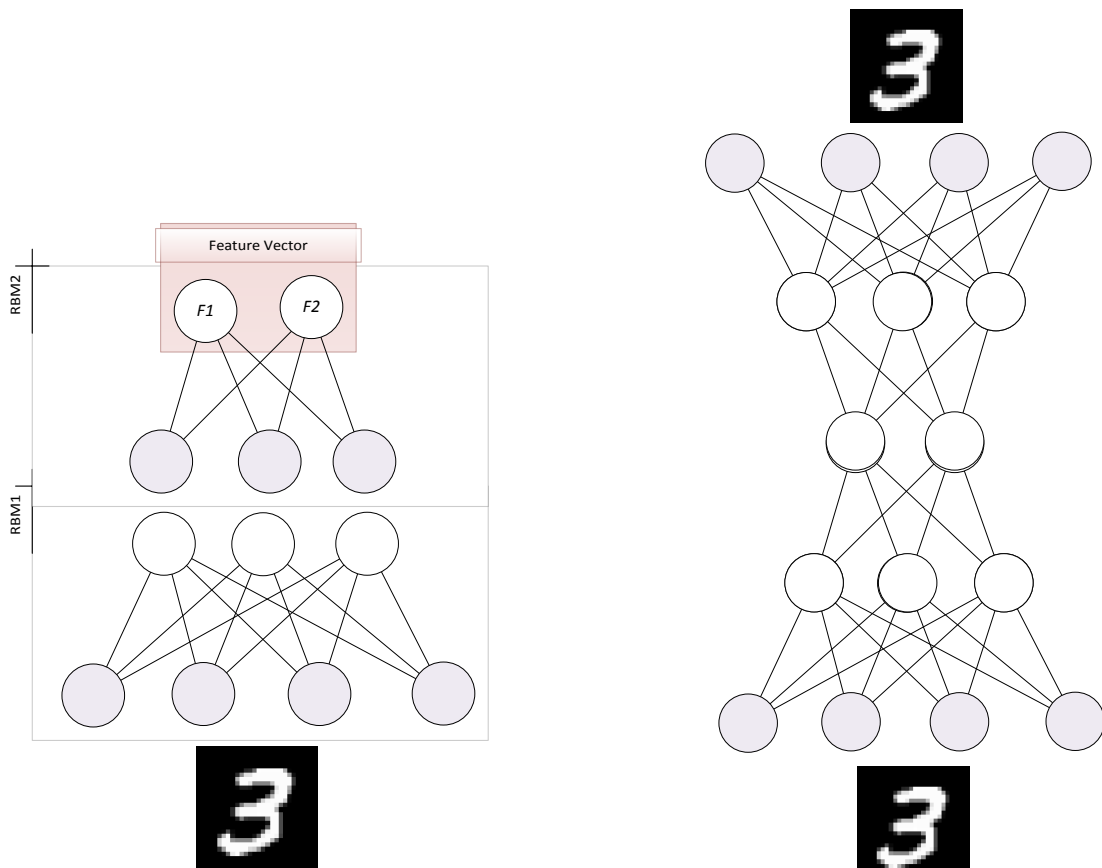
اما در حالتی که RBM در بالاترین لایه از نوع غیر تمایزی باشد، چون برجسب ها در آن لحاظ نشده است لذا برای لایه مربوط به خروجی، واحدهای جدیدی ساخته شده و وزن بین لایه خروجی و لایه آخر به صورت تصادفی مقداردهی می گردد. در اینجا نیز شکل خروجی به صورت تصویر سمت راست شکل ۳-۲۷ خواهد بود.



شکل ۳-۲۷: نحوه تبدیل شبکه باور عمیق از نوع classifier به یک شبکه عصبی مصنوعی در MATLAB. تصویر سمت چپ: ساختار یک شبکه باور عمیق که لایه آخر آن از نوع DiscriminativeRBM بوده و برای تبدیل به شبکه عصبی مصنوعی، واحدهای مربوط به برجسب به همراه وزنهای آن به عنوان لایه آخر (یا خروجی) در نظر گرفته می شود. تصویر سمت راست: ساختار شبکه عصبی مصنوعی که از شبکه باور عمیق ساخته شده است.

`function net=DBNtoAutoEncoderNN(obj)`

این تابع برای تبدیل شبکه باور عمیق از نوع autoEncoder به شبکه عصبی مصنوعی در MATLAB طراحی شده است. همانطور که گفته شد، در این نوع از شبکه باور عمیق هدف رسیدن به کدها یا ویژگی های جدیدی از داده ورودی است که بتوان از روی آن دوباره به داده اصلی رسید. لذا برای ساخت یک شبکه عصبی در آن و اجرای الگوریتم پس انتشار خطا، مدل DBN ساخته شده را به صورت وارونه بر روی DBN قرار می دهیم تا ما مجدداً از کد تولید شده ما را به داده اصلی برساند. در شکل ۳-۲۸ نحوه این تبدیل نمایش داده شده است.



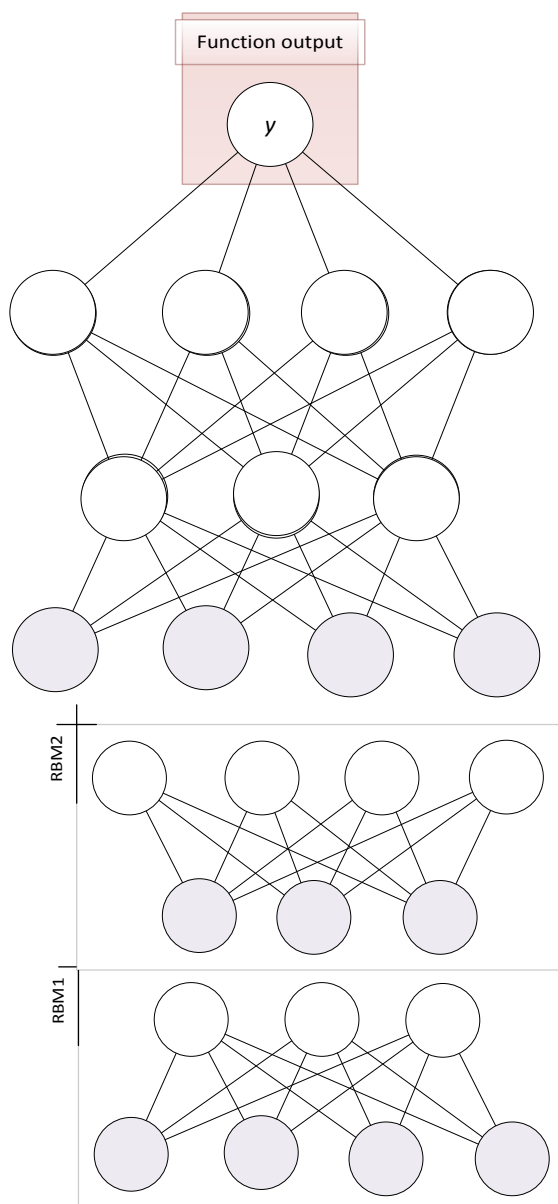
شکل ۳-۲۸: نحوه تبدیل شبکه باور عمیق از نوع autoEncoder به یک شبکه عصبی مصنوعی در MATLAB. تصویر سمت چپ: ساختار یک شبکه باور عمیق که برای تبدیل شبکه باور عمیق ساخته شده را به صورت وارونه کپی می‌کند تا بتواند مجددا داده را بازسازی نماید. تصویر سمت راست: ساختار شبکه عصبی مصنوعی که از شبکه باور عمیق ساخته شده است.

`function net=DBNtoFunctionApproximatorNN(obj,data)`

در این تابع شبکه باور عمیق از نوع تقریب‌زننده تابع<sup>۴۹</sup> تبدیل به شبکه عصبی مصنوعی در MATLAB شده

است.

<sup>۴۹</sup> functionApproximator

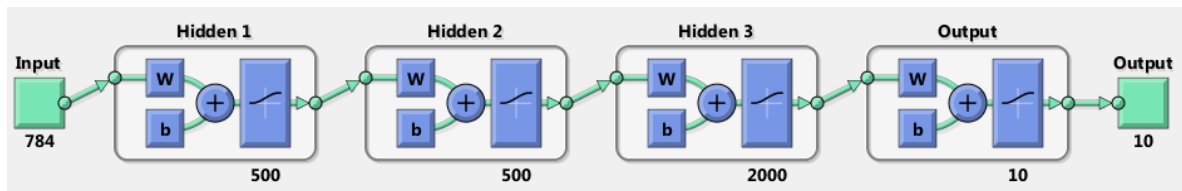


شکل ۳-۲۹: نحوه تبدیل شبکه باور عمیق از نوع تقریب‌زننده تابع به یک شبکه عصبی مصنوعی در MATLAB. تصویر سمت چپ: ساختار یک شبکه باور عمیق از نوع تقریب‌زننده تابع تصویر سمت راست: ساختار شبکه عصبی مصنوعی که از شبکه باور عمیق برای تخمین تابع ساخته شده است.

بعد از تبدیل شبکه باور عمیق به یک شبکه عصبی در MATLAB، امکان استفاده از BP فراهم شده و بعد از تنظیم دقیقتر شبکه با BP، استفاده از شبکه عمیق با کمک شبکه آموزش دیده شده توسط جعبه ابزار شبکه عصبی در MATLAB قابل استفاده خواهد بود.

برای نمونه یک شبکه باور عمیق برای دسته‌بندی داده‌های MNIST به صورت ساختار شکل ۳-۳۰ طراحی شده و عمل دسته‌بندی بر روی دادگان تست انجام گشت. خطای دسته‌بندی بر روی تمام دادگان تست (۱۰۰۰۰ نمونه که در آموزش استفاده نشده است) قبل از استفاده از الگوریتم پس‌انتشار خطا برابر ۰,۰۲۷۰ و بعد از الگوریتم پس‌انتشار خطا برابر ۰,۰۱۲۰ بود.



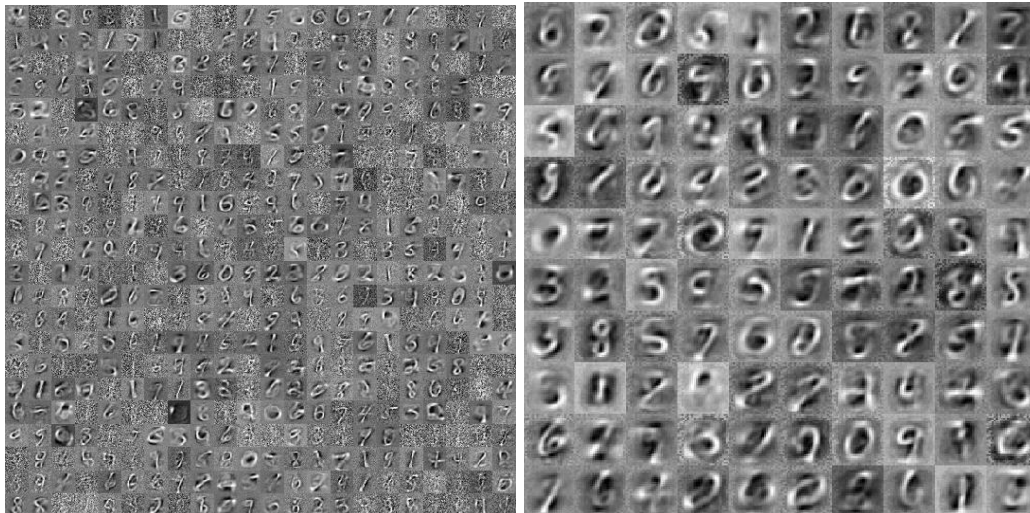


شکل ۳-۳۰: یک ساختار نمونه برای دسته‌بندی دادگان MNIST

تابع مفید دیگری که در کلاس قابل استفاده است، تابعی برای رسم توابع پایه‌ی یادگیری شده توسط هر یک از لایه‌های DBN است.

```
function bases=plotBases(obj,rbmNumber)
```

در واقع به کمک این تابع و تعیین شماره RBM می‌توان موارد یاد گرفته شده در آن RBM را با رسم وزن-های متصل به هر واحد مخفی نشان داد. در شکل ۳-۳۱ نمونه‌ای از رسم این توابع پایه یادگیری شده را در دادگان MNIST و در یک شبکه باور عمیق می‌بینید.



شکل ۳-۳۱: توابع پایه رسم شده توسط تابع plotBases در یک DBN دولایه تک. شکل سمت چپ: توابع پایه یادگیری شده در لایه اول، شکل سمت راست: توابع پایه یادگیری شده در لایه دوم

```
function [obj]=gather(obj)
```

این تابع برای استخراج مقادیر پارامترهای این شیء از حافظه GPU به حافظه محلی استفاده می‌شود. لذا در صورتی که قصد دارید DBN ساخته شده به کمک GPU را در کامپیوتر دیگری بدون GPU استفاده کنید، باید ابتدا آن را به کمک تابع gather به حالت عادی تبدیل نمایید.

```
function obj=gpuArray(obj)
```

این تابع با تغییر بعضی از پارامترهای RBM امکان استفاده از GPU را در محاسبات برقرار می‌کند.

### ۳-۱۲ کدهای کاربردی دیگر

در این بخش به توضیح توابع و کدهای دیگری می‌پردازیم که داخل جعبه ابزار نبوده ولی برای کار با آن طراحی شده است.

#### ۳-۱۲-۱ تابع prepareMNIST

```
function [data] = prepareMNIST(mnistFolder)
```

این تابع به صورت مستقل در کنار جعبه ابزار قرار داده شده است. کاربرد این تابع در تبدیل فایل‌های مربوط به دادگان MNIST برای استفاده در قسمت‌های مختلف می‌باشد. در واقع این تابع داده‌ها و برچسب‌های آموزشی و تست مربوط به این دادگان را در یک شیء از نوع کلاس DataStore قرار داده و شیء ساخته شده را برمی‌گرداند. برای فایل‌های مربوط به دادگان MNIST می‌توانید آن را از آدرس <http://yann.lecun.com/exdb/mnist> دانلود نمایید. ورودی این تابع نیز یک رشته شامل آدرس پوشه‌ای است که فایل‌های مربوط به دادگان MNIST در آن قرار دارد. کدهای نوشته شده در این تابع الهام گرفته شده از کدهای مقاله [۳] می‌باشد. نمونه‌ای از استفاده این تابع را در خط زیر مشاهده می‌کنید.

```
data = MNIST.prepareMNIST('D:\DataSets\Image\MNIST\');
```

علت صدا زدن این تابع با MNIST به دلیل آن است که این تابع در یک بسته یا پکیج به نام MNIST قرار داده شده است.

#### ۳-۱۲-۲ تابع prepareISOLET

```
function [data] = prepareISOLET(isoletFolder)
```

این تابع به صورت مستقل در کنار جعبه ابزار قرار داده شده است. کاربرد این تابع در تبدیل فایل‌های مربوط به دادگان ISOLET برای استفاده در قسمت‌های مختلف می‌باشد. در واقع این تابع داده‌ها و برچسب‌های آموزشی و تست مربوط به این دادگان را در یک شیء از نوع کلاس DataStore قرار داده و شیء ساخته شده را برمی‌گرداند. برای فایل‌های مربوط به دادگان ISOLET می‌توانید آن را از آدرس <https://archive.ics.uci.edu/ml/datasets/ISOLET> دانلود نمایید. ورودی این تابع نیز یک رشته شامل آدرس پوشه‌ای است که فایل‌های مربوط به دادگان ISOLET در آن قرار دارد. نمونه‌ای از استفاده این تابع را در خط زیر مشاهده می‌کنید.

```
data = ISOLET.prepareISOLET('D:\DataSets\Voice\ISOLET\');
```

علت صدا زدن این تابع با ISOLET به دلیل آن است که این تابع در یک بسته یا پکیج به نام ISOLET قرار داده شده است.

#### ۳-۱۲-۳ تابع prepare20Newsgroups

```
function [data] = prepare20Newsgroups(newsgroupsFolder)
```

این تابع به صورت مستقل در کنار جعبه ابزار قرار داده شده است. کاربرد این تابع در تبدیل فایل‌های مربوط به دادگان 20Newsgroups برای استفاده در قسمت‌های مختلف می‌باشد. در واقع این تابع داده‌ها و برچسب‌های آموزشی و تست مربوط به این دادگان را در یک شیء از نوع کلاس DataStore قرار داده و شیء ساخته شده را برمی‌گرداند. برای فایل‌های مربوط به دادگان 20Newsgroups می‌توانید آن را از آدرس <http://qwone.com/~jason/20Newsgroups/20news-bydate-matlab.tgz> دانلود نمایید. ورودی این تابع نیز یک رشته شامل آدرس پوشه‌ای است که فایل‌های مربوط به دادگان 20Newsgroups در آن قرار دارد. نمونه‌ای از استفاده این تابع را در خط زیر مشاهده می‌کنید.

```
data = TwentyNewsgroups.prepare20Newsgroups('H:\DataSets\Text\The 20  
Newsgroups data set\20news-bydate-matlab\');
```

علت صدا زدن این تابع با TwentyNewsgroups به دلیل آن است که این تابع در یک بسته یا پکیج به نام TwentyNewsgroups قرار داده شده است.

- Y. Liu, S. Zhou, and Q. Chen, “Discriminative deep belief networks for visual data classification,” *Pattern Recognition*, vol. 44, no. 10–11, pp. 2287–2296, Oct. 2011. [1]
- H. Lee, C. Ekanadham, and A. Ng, “Sparse deep belief net model for visual area V2,” *Advances in neural information processing systems*, vol. 20, pp. 873–880, 2008. [2]
- G. E. Hinton and R. R. Salakhutdinov, “Reducing the dimensionality of data with neural networks,” *Science*, vol. 313, no. 5786, pp. 504–507, 2006. [3]
- V. Nair and G. Hinton, “3D object recognition with deep belief nets,” *Advances in Neural Information Processing Systems*, vol. 22, pp. 1339–1347, 2009. [4]
- R. Salakhutdinov and G. E. Hinton, “Deep boltzmann machines,” in *Proceedings of the international conference on artificial intelligence and statistics*, 2009, vol. 5, pp. 448–455. [5]
- C. M. Bishop, *Pattern Recognition and Machine Learning*, 1st ed. 2006. Corr. 2nd printing. Springer, 2007. [6]
- K. Swersky, B. Chen, B. Marlin, and N. de Freitas, “A tutorial on stochastic approximation algorithms for training Restricted Boltzmann Machines and Deep Belief Nets,” in *Information Theory and Applications Workshop (ITA), 2010*, 2010, pp. 1–10. [7]
- M. A. Carreira-Perpinan and G. E. Hinton, “On contrastive divergence learning,” in *Artificial Intelligence and Statistics*, 2005, vol. 2005, p. 17. [8]
- H. Lee, “Unsupervised Feature Learning Via Sparse Hierarchical Representations,” Stanford University, 2010. [9]
- T. Tieleman and G. Hinton, “Using fast weights to improve persistent contrastive divergence,” in *Proceedings of the 26th Annual International Conference on Machine Learning*, New York, NY, USA, 2009, pp. 1033–1040. [10]
- O. Breuleux, Y. Bengio, and P. Vincent, “Quickly Generating Representative Samples from an RBM-Derived Process,” *Neural Computation*, vol. 23, no. 8, pp. 2058–2073, Apr. 2011. [11]
- G. E. Hinton, S. Osindero, and Y.-W. Teh, “A Fast Learning Algorithm for Deep Belief Nets,” *Neural Computation*, vol. 18, no. 7, pp. 1527–1554, 2006. [12]
- Y. Bengio, “Learning Deep Architectures for AI,” *Found. Trends Mach. Learn.*, vol. 2, no. 1, pp. 1–127, Jan. 2009. [13]
- T. Tieleman, “Training restricted Boltzmann machines using approximations to the likelihood gradient,” in *Proceedings of the 25th international conference on Machine learning*, New York, NY, USA, 2008, pp. 1064–1071. [14]
- Y. Bengio, A. Courville, and P. Vincent, “Unsupervised Feature Learning and Deep Learning: A Review and New Perspectives,” *arXiv:1206.5538*, Jun. 2012. [15]
- G. Hinton, “A practical guide to training restricted boltzmann machines,” Machine Learning Group, University of Toronto, Technical report, 2010. [16]
- R. Salakhutdinov, “Learning deep generative models,” University of Toronto, 2009. [17]
- M. A. Ranzato and G. E. Hinton, “Modeling pixel means and covariances using factorized third-order boltzmann machines,” in *2010 IEEE Conference on Computer Vision and Pattern Recognition (CVPR)*, 2010, pp. 2551–2558. [18]
- B. A. Olshausen and others, “Emergence of simple-cell receptive field properties by learning a sparse code for natural images,” *Nature*, vol. 381, no. 6583, pp. 607–609, 1996. [19]
- N.-N. Ji, J.-S. Zhang, and C.-X. Zhang, “A sparse-response deep belief network based on rate distortion theory,” *Pattern Recognition*, vol. 47, no. 9, pp. 3179–3191, Sep. 2014. [20]
- M. A. Keyvanrad and M. M. Homayounpour, “Effective Sparsity Control in Deep Belief Networks using Normal Regularization Term,” *submitted to Neural Networks*, 2015. [21]
- H. Lee, Y. Largman, P. Pham, and A. Y. Ng, “Unsupervised feature learning for audio classification using convolutional deep belief networks,” *Advances in neural information processing systems*, vol. 22, pp. 1096–1104, 2009. [22]

- Y. Bengio, N. Chapados, O. Delalleau, H. Larochelle, X. Saint-Mleux, C. Hudon, and J. [23]  
 Louradour, “Detonation Classification from Acoustic Signature with the Restricted Boltzmann  
 Machine,” *Computational Intelligence*, vol. 28, no. 2, pp. 261–288, May 2012.
- R. Salakhutdinov, A. Mnih, and G. Hinton, “Restricted Boltzmann machines for collaborative [24]  
 filtering,” in *Proceedings of the 24th international conference on Machine learning*, 2007, pp.  
 791–798.
- G. E. Hinton, “To recognize shapes, first learn to generate images,” in *Progress in Brain [25]  
 Research*, vol. Volume 165, T. D. and J. F. K. Paul Cisek, Ed. Elsevier, 2007, pp. 535–547.
- H. Larochelle and Y. Bengio, “Classification using discriminative restricted Boltzmann [26]  
 machines,” in *Proceedings of the 25th international conference on Machine learning*, New  
 York, NY, USA, 2008, pp. 536–543.
- H. Larochelle, M. Mandel, R. Pascanu, and Y. Bengio, “Learning Algorithms for the [27]  
 Classification Restricted Boltzmann Machine,” *J. Mach. Learn. Res.*, vol. 13, pp. 643–669,  
 Mar. 2012.
- K. Swersky, “Inductive principles for learning Restricted Boltzmann Machines,” University of [28]  
 Alberta, 2010.
- B. Mélykúti, “The mixing rate of Markov Chain Monte Carlo methods and some applications of [29]  
 MCMC simulation in bioinformatics,” MSc thesis, 2006.
- H. Lee, R. Grosse, R. Ranganath, and A. Y. Ng, “Convolutional deep belief networks for [30]  
 scalable unsupervised learning of hierarchical representations,” in *Proceedings of the 26th  
 Annual International Conference on Machine Learning*, New York, NY, USA, 2009, pp. 609–  
 616.
- R. Grosse, R. Raina, H. Kwong, and A. Y. Ng, “Shift-Invariance Sparse Coding for Audio [31]  
 Classification,” presented at the Twenty-Third Conference on Uncertainty in Artificial  
 Intelligence (UAI2007), Vancouver, BC, Canada, 2007.
- M. Elad, *Sparse and Redundant Representations: From Theory to Applications in Signal and [32]  
 Image Processing*, 1st Edition. Springer, 2010.
- Y. LeCun and C. Cortes, “MNIST handwritten digit database,” *AT&T Labs [Online]*. Available: [33]  
<http://yann.lecun.com/exdb/mnist>, 1998.
- V. Nair, “Visual Object Recognition Using Generative Models of Images,” University of [34]  
 Toronto, 2010.
- Y. Lecun, L. Bottou, Y. Bengio, and P. Haffner, “Gradient-based learning applied to document [35]  
 recognition,” *Proceedings of the IEEE*, vol. 86, no. 11, pp. 2278–2324, Nov. 1998.
- M. A. Fandy and R. A. Cole, “Spoken Letter Recognition,” presented at the Advances in Neural [36]  
 Information Processing Systems, 1991, pp. 220–226.

### ۱-۵ اصلاحات دیگر انجام شده بر روی ماشین بولتزمن محدود

در این قسمت بعضی از اصلاحات دیگر مربوط به ماشین‌های بولتزمن محدود که در گزارش به آنها اشاره نشده بود، آورده شده است.

#### ۱-۱-۵ استفاده از دسته‌های کوچک<sup>۵۰</sup>

بر اساس روابط لازم برای اصلاح وزن‌های ماشین بولتزمن محدود، محاسبه گرادیان می‌تواند با یک نمونه آموزشی انجام شود اما معمولاً بهتر است تا داده آموزشی به دسته‌هایی با ۱۰ تا ۱۰۰ نمونه تقسیم شده و از این گروه‌های کوچک برای اصلاح وزن‌ها استفاده نماییم [۱۶]. این کار امکان استفاده از مزایای ضرب ماتریسی را فراهم می‌کند. بدین ترتیب از میانگین گرادیان مربوط به هر دسته برای اصلاح پارامترها استفاده می‌شود. نکته دیگر آن است که نباید اندازه این دسته‌ها را بزرگ در نظر گرفت چرا که هر چند تخمین پایدارتری از گرادیان را می‌دهد اما سرعت اصلاح وزنه‌ها را نیز کاهش می‌دهد. یک ایده مناسب برای ساخت دسته‌ها آن است که اگر دسته کلاس‌ها مشخص و هر کلاس دارای احتمال یکنواختی است، دسته‌ها به تعداد کلاس‌ها بوده و در هر دسته یک نمونه از هر کلاس موجود باشد.

#### ۲-۱-۵ مقداردهی اولیه وزن‌ها و بایاس

وزن‌ها معمولاً به یک مقدار کوچک تصادفی از یک گوسی با میانگین صفر و انحراف معیار ۰,۰۱ مقداردهی اولیه می‌شوند [۱۶]. استفاده از مقادیر تصادفی بزرگتر، آموزش اولیه را سرعت می‌دهد اما ما را به مدلی نسبتاً نامناسب هدایت خواهد کرد. باید مطمئن بود که مقادیر اولیه وزن‌ها باعث نشوند تا بردارهای مشاهدات موجب شوند تا احتمال واحدهای مخفی نزدیک صفر یا یک باشند چراکه این کار سرعت یادگیری را به شدت کاهش می‌دهد.

معمولاً یک مقدار مناسب برای بایاس در واحدهای مشاهده‌پذیر برای واحد  $i$  مقدار  $\ln\left[\frac{p_i}{1-p_i}\right]$  است که در آن  $p_i$  نسبت فعال بودن واحد  $i$  در بردارهای مشاهدات است. با توجه به روابط زیر مشخص است که این کار موجب می‌شود تا در مراحل اولیه آموزش، واحدهای مخفی واحد  $i$  را با همان احتمال  $p_i$  فعال نمایند.

$$P(v_i = 1|h) = \sigma\left(a_i + \sum_j h_j w_{ij}\right) \xleftrightarrow{w \approx 0, a_i = \ln\left[\frac{p_i}{1-p_i}\right]} \sigma(a_i) = p_i \quad (1-5)$$

<sup>۵۰</sup> Mini-batch

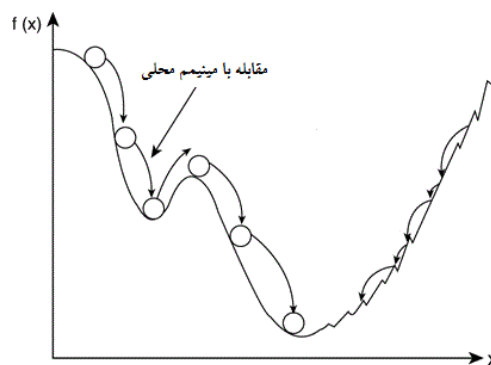
اما اگر از احتمال تنک بودن هدف  $t$  (یعنی بخواهیم واحدهای مخفی دارای احتمال فعال شدن  $1 \ll t$  باشند) استفاده نماییم (که توضیح بیشتر آن در بخش ماشین بولتزن تنک آمده است)، بهتر است مقادیر اولیه بایاس برای واحدهای مخفی را  $\ln\left[\frac{t}{1-t}\right]$  در نظر بگیریم که با این مقدار، در مراحل اولیه آموزش، مشابه بایاس در نظر گرفته شده برای واحدهای مشاهده‌پذیر، احتمال فعال شدن واحدهای مخفی همان مقدار دلخواه خواهد بود. در غیر این صورت و اگر تنک بودن مد نظر ما نباشد، می‌توانیم از مقدار اولیه صفر برای این بایاس استفاده نماییم.

### ۳-۱-۵ به کارگیری ممتم<sup>۵۱</sup>

ممتم یک روش ساده برای افزایش سرعت یادگیری و همچنین جلوگیری از مینیمم‌های محلی است. روش ممتم مطابق شکل ۱-۵ حرکت رو به پایین یک توپ سنگین به سمت یک دره را شبیه‌سازی می‌کند. در روش ممتم، مشابه حرکت توپ در دره، پارامتری به نام سرعت تعریف می‌شود که در واقع برابر همان میزان تغییر در اصلاح پارامترها (یا  $\Delta\theta$ ) است. در این روش سرعت جدید برابر جمع ضربی از سرعت قبلی و میزان گرادیان در نقطه جدید است. بدین ترتیب می‌توان به هر یال یک جمع وزندهی شده از میزان اصلاح در این مرحله و مقدار بدست آمده در مرحله قبل، جمع کرد.

$$\Delta\theta(t) = m \Delta\theta(t-1) - \epsilon (\langle v_i h_j \rangle_{data} - \langle v_i h_j \rangle_{model}) \quad (۲-۵)$$

که در آن  $\theta$  پارامتر مدل،  $\epsilon$  نرخ یادگیری و  $m$  ضریب ممتم می‌باشد. بدین ترتیب اگر مقدار گرادیان نسبتاً ثابت بماند، موجب می‌شود تا سرعت تغییر در آن جهت افزایش یافته و سرعت یادگیری بالا رود. مقدار معمول برای ضریب  $m$  برابر 0.9 است. اما از آنجا که معمولاً در ابتدای یادگیری در ماشین بولتزن محدود، به سبب مقادیر تصادفی اولیه پارامترهای مدل مقدار اندازه گرادیان بالا است، لذا بهتر است مقدار اولیه ضریب ممتم را 0.5 در نظر گرفته و زمانی که سرعت کاهش خطای بازسازی نمونه‌ها کاهش یافت، مقدار آن را به 0.9 تنظیم نماییم [۱۶].



شکل ۱-۵: نحوه حرکت در اصلاح وزن‌ها با کمک ممتم

<sup>۵۱</sup> Momentum

تضعیف وزن با اضافه کردن یک عنصر اضافه به گرادیان معمولی صورت می‌گیرد. عنصر اضافه مشتق تابعی است که وزن‌های بزرگ را جریمه می‌کند. ساده‌ترین تابع جریمه  $L_2$  نام دارد که نصف جمع توان دوم مقادیر وزن است که به آن هزینه وزن<sup>۵۳</sup> می‌گویند.

چهار دلیل برای استفاده از تضعیف وزن در RBM وجود دارد [۱۶]. اول آنکه تعمیم را برای داده جدید با کاهش بیش‌آموزش<sup>۵۴</sup> در داده آموزشی، افزایش می‌دهد. دوم آنکه موجب می‌شود تا میدان‌های دریافتی<sup>۵۵</sup> (یعنی وزن‌های متصل به یک واحد مخفی [۷]) برای واحدهای مخفی نرم‌تر بوده و با کوچک کردن وزن‌های بدون استفاده، بیشتر قابل تفسیر باشد. سوم آنکه واحدهای مخفی با وزن‌های زیاد در یادگیری که تقریباً همیشه فعال یا غیر فعال هستند را از بین می‌برد. البته یک روش مناسب‌تر برای جلوگیری از این مشکل استفاده از تنک‌سازی در RBM است.

اما دلیل چهارم، بهبود نرخ همگرایی (یعنی تعداد گام‌هایی که زنجیره مارکوف برای رسیدن به توزیع نسبتاً پایدار لازم دارد [29]) در زنجیره مارکوف گیبز است. با وزن‌های کوچکتر، زنجیره مارکوف سریع‌تر همگرا می‌شود. روش یادگیری CD مبتنی بر حذف مشتقاتی است که از گام‌های آخر در زنجیره مارکوف بدست می‌آید [۱۲]. لذا تضعیف وزن موجب می‌شود تا تخمین بهتری با این نرخ همگرایی سریعتر بدست آید و مشتقات حذف شده مقدار کمی داشته باشند.

البته روش ساده‌تر دیگر آن است که یک مقدار بیشینه برای جمع قدرمطلق وزن‌های ورودی در هر واحد در نظر گرفته و در صورتی که از این مقدار تجاوز کرد، وزن‌ها را مجدداً مقیاس‌بندی نماییم.

همانطور که بیان گردید، تضعیف وزن تنها موجب جلوگیری از بیش‌آموزش نمی‌شود بلکه نرخ همگرایی در یادگیری CD را نیز بالا برده و تخمین بهتری از بیشترین درست‌نمایی به ما می‌دهد. لذا حتی اگر به دلیل داشتن نمونه‌های آموزشی زیاد، مشکل بیش‌آموزش وجود نداشته باشد، همچنان استفاده از تضعیف وزن می‌تواند مفید باشد.

---

<sup>۵۲</sup> Weight-decay

<sup>۵۳</sup> Weight cost

<sup>۵۴</sup> Overfitting

<sup>۵۵</sup> Receptive field



به دو دلیل استفاده از ماشین‌های بولتزمن محدود در کاربرد پردازش تصویر برای تصاویری با اندازه واقعی (مثلاً ۲۰۰\*۲۰۰ پیکسل) یک مساله چالش‌برانگیز است. اول آنکه در تصاویر بزرگ، شبکه باید بتواند خود را با اندازه تصویر تنظیم نماید. دوم آنکه شیء مورد نظر ممکن است در هر جایی از تصویر واقع شود و لذا ارائه یک بازنمایی از تصویر که مستقل از جابجایی‌های کم در ورودی باشد نیز از اهداف مهم است.

در روش مورد نظر در این بخش سعی می‌شود تا با به اشتراک‌گذاری تشخیص‌دهنده‌های ویژگی<sup>۵۷</sup> (همان واحدهای مخفی) در تمام موقعیت‌ها به هدف مورد نظر یعنی مستقل بودن از جابجایی رسید [۳۰]. این کار از آن جهت است که یک تشخیص‌دهنده ویژگی که اطلاعات مفیدی را از یک بخش تصویر استخراج می‌کند، می‌تواند اطلاعات مشابهی را از مکان‌های دیگر هم بدست بیاورد. لذا مدل می‌تواند تصاویر بزرگ را با استفاده از فقط تعداد کمی تشخیص‌دهنده ویژگی بازنمایی کند. روش ماشین بولتزمن محدود کانولوشنال نام روشی است که سعی می‌کند تا برای تصاویر با اندازه واقعی و به صورت مستقل از جابجایی، به نتایج مناسبی برسد.

در این بخش برای سادگی چند فرض در نظر گرفته شده است. اول آنکه فرض می‌شود تمام ورودی‌ها تصاویری با ابعاد  $N_V \times N_V$  باشد هرچند که در عمل نیازی به وجود این شرط نیست. همچنین فرض می‌گردد که همه واحدها باینری باشند. از علامت \* برای کانولوشن استفاده کرده و علامت • برای ضرب داخلی به کار گرفته می‌شود. همچنین در بالای یک آرایه مد قرار داده شده ( $\vec{A}$ ) تا نشان داده شود که آرایه به صورت افقی و عمودی معکوس شده است.

یک CRBM شبیه RBM است اما وزن‌های بین لایه مخفی و مشاهده‌پذیر آن در تمام موقعیت‌های تصویر به اشتراک گذاشته شده است. یک CRBM دارای دو لایه است: یک لایه ورودی  $V$  و یک لایه مخفی  $H$ . لایه ورودی دارای  $N_V \times N_V$  واحد باینری است. لایه مخفی نیز شامل  $K$  گروه است که هر گروه دارای  $N_H \times N_H$  واحد مخفی است که در کل می‌توان گفت که دارای  $N_H^2 \times K$  واحد مخفی می‌باشد. هر یک از  $K$  گروه به یک فیلتر  $N_W \times N_W$  ( $N_W \triangleq N_V - N_H + 1$ ) متعلق است که وزن‌های فیلتر در بین واحدهای مخفی در گروه به اشتراک گذاشته شده است. بعلاوه هر گروه مخفی دارای یک بایاس  $b_k$  است و تمام واحدهای مشاهده‌پذیر نیز دارای یک بایاس  $a$  مشترک هستند. بدین ترتیب تابع انرژی  $E(v, h)$  به صورت زیر تعریف می‌شود [۹]:

$$E(v, h) = - \sum_{k=1}^K \sum_{i,j=1}^{N_H} \sum_{r,s=1}^{N_W} h_{ij}^k W_{rs}^k v_{i+r-1, j+s-1} - \sum_{k=1}^K b_k \sum_{i,j=1}^{N_H} h_{ij}^k - a \sum_{i,j=1}^{N_V} v_{ij} \quad (3-5)$$

<sup>۵۶</sup> Convolutional RBM (CRBM)

<sup>۵۷</sup> Feature detector

$$P(v, h) = \frac{1}{Z} \exp(-E(v, h)) \quad (4-5)$$

با استفاده از عملگرهای تعریف شده می توان تابع انرژی را به صورت زیر بازنویسی کرد:

$$E(v, h) = - \sum_{k=1}^K h^k \cdot (\tilde{W}^k * v) - \sum_{k=1}^K b_k \sum_{i,j=1}^{N_H} h_{ij}^k - a \sum_{i,j=1}^{N_V} v_{ij} \quad (5-5)$$

همانند RBM استاندارد، در اینجا نیز می توان نمونه برداری گیبز را با کمک روابط زیر داشت.

$$P(h_{ij}^k = 1|v) = \mathcal{G} \left( (\tilde{W}^k * v)_{ij} + b_k \right) \quad (6-5)$$

$$P(v_{ij} = 1|h) = \mathcal{G} \left( \left( \sum_k W^k * h^k \right)_{ij} + a \right)$$

که در آن  $\mathcal{G}$  تابع لاجستیک است.

### ادغام احتمالاتی پیشینه<sup>۵۸</sup>

برای یادگیری بازنمایی های سطح بالا، CRBMها همانند شبکه باور عمیق به صورت پشته در می آیند. معماری استفاده شده در این نوع ترکیب، استفاده از یک عملیات به نام ادغام پیشینه احتمالاتی است [۹].

در حالت کلی تشخیص دهنده های ویژگی سطح بالاتر، نیاز به اطلاعات ناحیه های بزرگتری از ورودی دارند. روش های موجود در بازنمایی مستقل از جابجایی مانند شبکه های کانولوشنال، معمولاً شامل دو لایه کنار هم هستند. "لایه تشخیص"<sup>۵۹</sup> که خروجی آن با کانوالو تشخیص دهنده ویژگی با لایه قبل محاسبه می شود و "لایه ادغام"<sup>۶۰</sup> که بازنمایی لایه تشخیص را با یک فاکتور ثابت فشرده می کند. به طور دقیقتر هر واحد در لایه ادغام، پیشینه فعالیت واحدها در یک محدوده کوچک از لایه تشخیص را محاسبه می کند. فشرده سازی بازنمایی با ادغام پیشینه اجازه می دهد تا بازنمایی های لایه بالاتر نسبت به جابجایی های کم در ورودی مستقل بوده و بار محاسباتی کم شود.

روش ادغام پیشینه فقط برای معماری های قطعی<sup>۶۱</sup> و روبه جلو<sup>۶۲</sup> پیشنهاد شده است و از آنجا که ادغام پیشینه یک عملگر قطعی است، اجرای استنتاج احتمالاتی (مثلاً محاسبه احتمال های پسین) در آن سخت است. از طرفی ما

<sup>۵۸</sup> Probabilistic max-pooling

<sup>۵۹</sup> Detection layer

<sup>۶۰</sup> Pooling layer

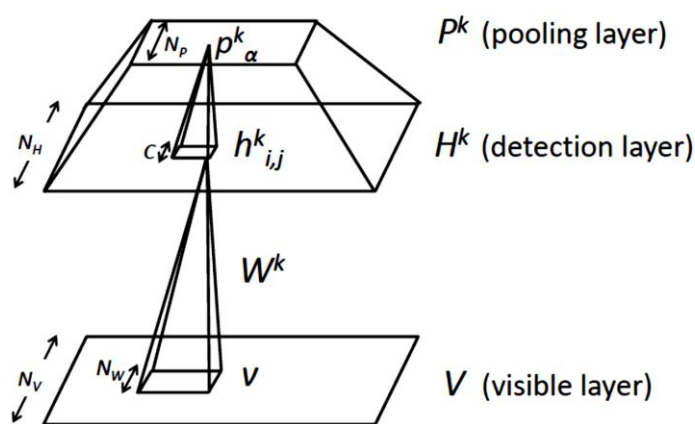
<sup>۶۱</sup> Deterministic

با یک مدل مولد<sup>۶۳</sup> از داده‌ها سروکار داریم که استنتاجی کاملاً احتمالاتی دارد و لذا این مدل مولد طوری طراحی خواهد شد که استنتاج در آن شامل رفتاری مشابه ادغام بیشینه باشد.

برای سادگی در علائم استفاده شده، یک مدل با لایه مشاهده‌پذیر  $V$ ، یک لایه تشخیص  $H$  و یک لایه ادغام  $P$  مطابق شکل ۵-۲ در نظر گرفته می‌شود. لایه‌های ادغام و تشخیص هر دو دارای  $K$  گروه از واحدها هستند و هر گروه از لایه ادغام دارای  $N_p \times N_p$  واحد باینری است. به ازای هر  $k \in \{1, \dots, K\}$ ، لایه ادغام  $P^k$  بازنمایی لایه تشخیص  $H^k$  را با فاکتور  $C$  در هر بعد فشرده می‌کند، که  $C$  یک عدد صحیح کوچک مثل ۲ یا ۳ است. به عبارت دیگر لایه تشخیص  $H^k$  به بلوک‌های  $C \times C$  تقسیم می‌شود و هر بلوک  $\alpha$  به دقت یک واحد باینری  $p_{\alpha}^k$  در لایه ادغام وصل می‌شود. بدین ترتیب می‌توان یک بلوک در واحدهای مخفی را به این صورت تعریف نمود:

$$B_{\alpha} \triangleq \{(i, j): h_{ij} \text{ belongs to the block } \alpha\} \quad (7-5)$$

واحدهای تشخیص در بلوک  $B_{\alpha}$  و واحد ادغام  $p_{\alpha}^k$  به صورتی به هم وصل‌اند که این شرط را ایجاب می‌کند که حداکثر یکی از واحدهای تشخیص می‌تواند روشن باشد و واحد ادغام در صورتی روشن خواهد بود که یک واحد تشخیص روشن باشد. با اضافه شدن این شرط، می‌توان به صورت کارآمد از شبکه نمونه‌برداری کرد بدون اینکه نیاز باشد تا تمام  $2^{c^2}$  حالت را بررسی نماییم که در ادامه خواهد آمد.



شکل ۵-۲: ماشین بولتزمن محدود کانولوشنال با ادغام بیشینه احتمالاتی. برای سادگی، تنها گروه  $k$  ام از لایه تشخیص و لایه ادغام نمایش داده شده است. یک CRBM استاندارد متناظر با ساختاری است که تنها دارای لایه مشاهده‌پذیر و لایه تشخیص (یا لایه مخفی) می‌باشد [۹].

با این شرط می‌توان این  $c^2 + 1$  واحد را به عنوان یک متغیر تصادفی در نظر گرفت که یکی از  $c^2 + 1$  مقدار ممکن را می‌تواند بگیرد: یک مقدار به ازای روشن شدن هر یک از واحدهای تشخیص و یک مقدار نشاندهنده خاموش بودن همه واحدها.

<sup>۶۲</sup> Feed-forward

<sup>۶۳</sup> Generative

می‌توان به طور رسمی تابع انرژی این ادغام بیشینه احتمالاتی ساده شده را برای CRBM به صورت زیر نوشت:

$$E(v, h) = - \sum_{k=1}^K \sum_{i,j=1}^{N_H} (h_{ij}^k (\tilde{W}^k * v)_{ij} + b_k h_{ij}^k) - a \sum_{i,j=1}^{N_V} v_{ij} \quad (۸-۵)$$

$$\text{subject to } \sum_{(i,j) \in B_\alpha} h_{ij}^k \leq 1, \quad \forall k, \alpha$$

اکنون به سراغ نمونه‌برداری از لایه تشخیص  $H$  و لایه ادغام  $P$  به شرط لایه مشاهده‌پذیر  $V$  می‌رویم. گروه  $k$  سیگنال زیر را از لایه  $V$  دریافت می‌کند:

$$I(h_{ij}^k) \triangleq b_k + (\tilde{W}^k * v)_{ij} \quad (۹-۵)$$

اکنون هر بلوک به طور مستقل به صورت یک تابع چندجمله‌ای از ورودی‌ها، نمونه‌برداری می‌شود. فرض کنید  $h_{ij}^k$  یک واحد مخفی است که در بلوک  $\alpha$  قرار دارد (یعنی  $(i, j) \in B_\alpha$ ) و افزایش انرژی که موجب روشن شدن واحد  $h_{ij}^k$  می‌گردد برابر  $-I(h_{ij}^k)$  باشد، آنگاه می‌توان احتمال شرطی را به صورت زیر تعریف نمود:

$$P(h_{ij}^k = 1 | v) = \frac{\exp(I(h_{ij}^k))}{1 + \sum_{(i',j') \in B_\alpha} \exp(I(h_{i',j'}^k))} \quad (۱۰-۵)$$

$$P(p_\alpha^k = 0 | v) = \frac{1}{1 + \sum_{(i',j') \in B_\alpha} \exp(I(h_{i',j'}^k))} \quad (۱۱-۵)$$

نمونه‌برداری از لایه مشاهده‌پذیر  $V$  به شرط لایه مخفی  $H$  مشابه آنچه قبلاً گفته شد، انجام می‌شود.

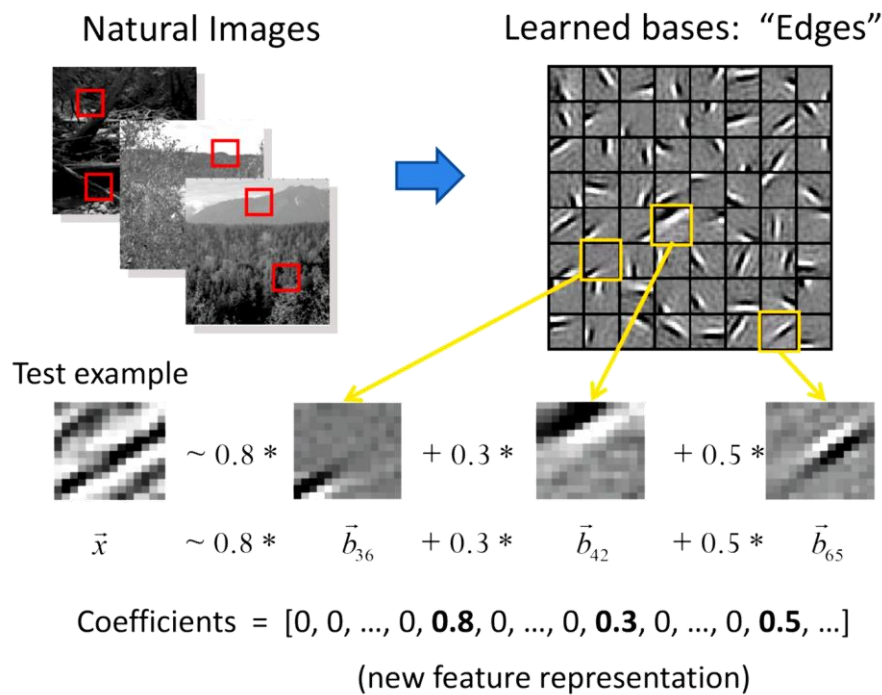
در حالت کلی مدل‌هایی مانند این مدل که بیش تکمیل<sup>۶۴</sup> هستند یعنی بازنمایی آن از سائز ورودی خیلی بیشتر است، خطر رسیدن به راه حل‌های بدیهی<sup>۶۵</sup> در آن‌ها وجود دارد. مثل اینکه تشخیص دهنده‌های ویژگی، یک پیکسل را بازنمایی نمایند. یک راه حل رایج آن است که به اجبار بازنمایی را تنگ نمود تا تنها نسبت کمی از واحدها فعال باشند [۳۰]. بدین ترتیب در [۳۰]، [۹] با کمک روش اول تنک‌سازی [۲] که در ۲-۱-۴ مطرح نمودیم، سعی شده تا از این مشکل اجتناب نماید.

<sup>۶۴</sup> Overcomplete

<sup>۶۵</sup> Trivial

## ۲-۵ کدینگ تنک

روش کدینگ تنک<sup>۶۶</sup> می‌تواند به عنوان روشی برای آموزش ویژگی‌ها به کار برده شود. در این روش سعی می‌شود تا در یک فرآیند بهینه‌سازی با ساختن یک دیکشنری از روی داده‌های برچسب نخورده، داده‌های جدید بعدی را با ترکیب خطی این دیکشنری بسازد. در واقع ضرایب این عناصر دیکشنری برای هر داده می‌تواند به عنوان ویژگی استفاده شود. یک ویژگی مهم که در این روش استفاده می‌شود، تنک بودن کدینگ بدست آمده است. یعنی سعی می‌شود تا عناصر دیکشنری به نحوی انتخاب شوند که بیشتر ضرایب در حین یافتن یک ترکیب خطی برای هر داده، مقدار صفر بگیرند. در شکل ۳-۵ نمونه‌ای از استفاده از یک دیکشنری ساخته شده، نشان داده می‌شود.

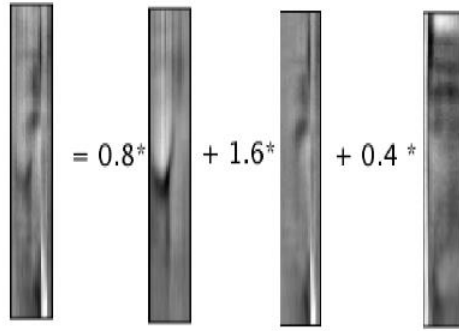


شکل ۳-۵: استفاده از یک دیکشنری ساخته شده برای ارائه تنک یک قسمت از تصویر [9]

برای فهم بهتر این روش می‌توان آن را با روش تبدیل فوریه سریع<sup>۶۷</sup> مقایسه نمود. در تبدیل فوریه سریع ما سعی می‌کنیم تا یک سیگنال را بر اساس ترکیب خطی از توابع سینوسی و کسینوسی بیان کنیم. اما شاید لزوماً سینوس و کسینوس توابع پایه خوبی برای داده‌های ما نباشند. لذا با روش کدینگ تنک، عناصر پایه بهتری را خواهیم یافت. این روش برای کاربردهای تصویری و صوتی استفاده می‌شود. در کاربردهای تصویری، عناصر دیکشنری خود تصویر و یا قسمت‌هایی از آن هستند. در صوت و گفتار نیز ابتدا آن را مثلاً به حوزه فرکانس برده و مورد استفاده قرار می‌گیرند [31]. در شکل ۴-۵ نمونه‌ای از اسپکتروگرام و عناصر دیکشنری که برای ساخته شدن آن در نظر گرفته شده مشاهده می‌شود.

<sup>۶۶</sup> Sparse Coding

<sup>۶۷</sup> Fast Fourier Transform (FFT)



شکل ۵-۴: نمونه‌ای از یک اسپکتروگراف که به صورت ترکیب خطی از عناصر یک دیکشنری بیان شده است [31].

در کدینگ تنک، مساله اصلی حل رابطه بهینه‌سازی زیر است:

$$\min_{\alpha} \|\alpha\|_0 \text{ subject to } x = D\alpha \quad (12-5)$$

که در آن  $x$  ماتریس مشاهدات،  $D$  دیکشنری و  $\alpha$  ضرایب لازم برای این دیکشنری جهت رسیدن به بردار مشاهدات است. البته گاهی اوقات نیز هدف در مساله بهینه‌سازی به صورت کمینه کردن  $\|x - D\alpha\|$  مطرح می‌شود.

در حالت کلی مساله یادگیری دیکشنری را هم می‌توان به این صورت بیان نمود [۳۲]. فرض کنید خطای مدل یا  $\epsilon$  را می‌دانیم و هدف رسیدن به تخمین  $D$  می‌باشد. مساله بهینه‌سازی به صورت زیر تعریف می‌شود:

$$\min_{D, \{\alpha\}_{i=1}^M} \sum_{i=1}^M \|\alpha_i\|_0 \text{ subject to } \|X_i - D\alpha_i\|_2 \leq \epsilon, 1 \leq i \leq M \quad (13-5)$$

این مساله بیان می‌کند که در سیگنال  $X_i$  با تنک‌ترین بازنمایی  $\alpha_i$  بر روی دیکشنری ناشناخته  $D$ ، می‌خواهیم بازنمایی‌ها و دیکشنری مناسب را بیابیم. اما جایگاه قیود و تابع جریمه در رابطه (۱۳-۵) می‌تواند جابجا شود و شرط را تنک بودن گرفته و بهترین تطبیق را برای آن پیدا کنیم.

$$\min_{D, \{\alpha\}_{i=1}^M} \sum_{i=1}^M \|X_i - D\alpha_i\|_2 \text{ subject to } \|\alpha_i\|_0 \leq k_0, 1 \leq i \leq M \quad (14-5)$$

### ۳-۵ دادگان

در این بخش دادگان‌های ISOLET، MINIST و 20Newsgroups معرفی شده است.

#### ۱-۳-۵ دادگان MNIST

دادگان MNIST [33] شامل تصاویر دیجیتالی از ارقام دستنویس است که متعلق به ده دسته (۰ تا ۹) می‌باشد. اندازه ارقام، نرمال‌سازی شده و در مرکز تصاویر  $28 \times 28$  قرار گرفته‌اند. نمونه‌هایی از آن در شکل ۵-۵ مشاهده می‌شود. نمونه‌های تست و آموزشی توسط سازنده آن از قبل تعیین و تقسیم شده است. مجموعه آموزشی در

مجموع شامل ۶۰۰۰۰ تصویر و مجموعه تست شامل ۱۰۰۰۰ تصویر می‌باشد. پیکسل‌ها دارای مقادیر حقیقی در بازه [0,1] هستند که البته بیشتر مقادیر آنها در لبه‌های بازه واقع می‌شوند [34].

```

3 6 8 / 7 9 6 6 9 1
6 7 5 7 8 6 3 4 8 5
2 1 7 9 7 / 2 8 4 6
4 8 1 9 0 1 8 8 9 4
7 6 1 8 6 4 / 5 6 0
7 5 9 2 6 5 8 1 9 7
2 2 2 2 2 3 4 4 8 0
0 2 3 8 0 7 3 8 5 7
0 1 4 6 4 6 0 2 4 3
7 / 2 8 1 6 9 8 6 /

```

شکل ۵-۵: نمونه‌های نرمال‌سازی شده در دادگان MNIST [35]

### ۵-۳-۲ دادگان ISOLET

دادگان ISOLET [۳۶] شامل گفتار ۱۵۰ گوینده است که هر یک از حروف زبان انگلیسی را ۲ بار تکرار کرده و ۶۱۷ ویژگی از هر نمونه استخراج شده است. در کل این دادگان شامل ۶۲۳۸ نمونه آموزشی و ۱۵۵۹ نمونه تست است. از آنجا که هدف این دادگان تشخیص صوتی حروف زبان انگلیسی است، لذا شامل ۲۶ دسته مختلف برای دسته بندی است.

### ۵-۳-۳ دادگان 20Newsgroups

دادگان 20Newsgroups<sup>۶۸</sup> یک دادگان متنی است که شامل ۲۰ موضوع خبری مختلف می‌باشد که هر یک از نمونه‌ها به یکی از این ۲۰ موضوع برچسب خورده‌اند. این دادگان یکی از رایجترین دادگان‌ها در کاربرد متنی برای تکنیک‌های یادگیری ماشین مانند دسته‌بندی و یا خوشه‌بندی متون است.

ما در آزمایشات خود ورژنی از این دادگان را با ۱۸۷۷۴ سند استفاده نمودیم<sup>۶۹</sup> که در آن دادگان آموزشی و تست ( ۶۰٪ داده آموزشی و ۴۰٪ داده تست) در زمان‌های مختلفی جمع‌آوری شده‌اند. همچنین ما در آزمایشات از ۵۰۰۰ کلمه پرکاربرد مورد استفاده در این متون، به عنوان ویژگی‌های باینری استفاده نمودیم.

<sup>۶۸</sup> <http://qwone.com/~jason/20Newsgroups/>

<sup>۶۹</sup> <http://qwone.com/~jason/20Newsgroups/20news-bydate-matlab.tgz>

## واژه نامه

Auto Encoder	کدگذار خودکار
backpropagation	انتشار خطای رو به عقب
Boltzmann Machine (BM)	ماشین بولتزمن
Contrastive Divergence (CD)	واگرایی متقابل
Convolutional Deep Belief Network (CDBN)	شبکه باور عمیق کانولوشنال
Convolutional RBM (CRBM)	ماشین بولتزمن محدود کانولوشنال
Deep Belief Network (DBN)	شبکه باور عمیق
Deep Learning	یادگیری عمیق
Detection layer	لایه تشخیص
Deterministic	قطعی
Discriminative Deep Belief Network	شبکه باور عمیق تمایزی
Discriminative RBM (DRBM)	ماشین بولتزمن محدود تمایزی
Discriminative training	آموزش تمایزی
Fantasy Particle	ذره خیالی
Fast Persistent Contrastive Divergence (FPCD)	واگرایی متقابل پایدار سریع
Fast weight	وزن سریع
Feature detector	تشخیص دهنده ویژگی
Feed-forward	روبه جلو
Firing rate	نرخ فعالیت
Fitness function	تابع برازندگی
Fixed size	سایز ثابت
Free energy	انرژی آزاد
Gaussian RBM	ماشین بولتزمن محدود گوسی
Generalized RBM	<b>RBM عمومی</b>
Generative	مولد
Generative training	آموزش از نوع مولد
Gibbs sampling	نمونه برداری گیبز
Hybrid discriminative\generative training	آموزش ترکیبی تمایزی/مولد
Independent Component Analysis (ICA)	آنالیز مولفه های مستقل
Markov Random Field (MRF)	میدان تصادفی مارکوف
Maximum A Posteriori probability estimate (MAP)	تخمین احتمال پسین بیشینه



Mini-batch	دسته کوچک
Momentum	ممنتوم
Negative phase	فاز منفی
Neural Network (NN)	شبکه عصبی
Persistent Contrastive Divergence (PCD)	واگرایی متقابل پایدار
Persistent Contrastive Divergence with Partial Smoothing (PCD PS)	واگرایی متقابل پایدار با هموارسازی جزئی
Pooling layer	لایه ادغام
Positive phase	فاز مثبت
posterior distribution of underlying explanatory factors	توزیع پسین فاکتورهای توصیف‌گر اصلی
Principal Component Analysis (PCA)	آنالیز مولفه‌های اصلی
Probabilistic max-pooling	ادغام احتمالاتی بیشینه
Raw data	داده خام
Receptive field	میدان دریافتی
Restricted Boltzmann Machine (RBM)	ماشین بولتزمن محدود
Softmax units	واحدهای نرم بیشینه
Sparse Coding	کدگذاری تنک
Sparsifying	تنک‌سازی
Stack	پشته
Stochastic Maximum Likelihood (SML)	درست‌نمایی بیشینه احتمالاتی
Support Vector Machines (SVM)	ماشین بردار پشتیبان
Trivial	بدیهی
Weight cost	هزینه وزن
Weight decay	تضعیف وزن